

**STUDI DINAMIKA MOLEKULAR KOMPLEKS GLIBENKLAMID SUR SEL  $\beta$  PANGKREAS  
DALAM AKTIVITASNYA SEBAGAI OBAT ANTIDIABETES**

**SKRIPSI**

Oleh:  
**HANY'ATUL MUFLIHAH**  
**NIM. 200603110100**



**PROGRAM STUDI KIMIA  
FAKULTAS SAINS DAN TEKNOLOGI  
UNIVERSITAS ISLAM NEGERI MAULANA MALIK IBRAHIM  
MALANG  
2025**



**STUDI DINAMIKA MOLEKULAR KOMPLEKS GLIBENKLAMID SUR  $\beta$  PANGKREAS  
DALAM AKTIVITASNYA SEBAGAI OBAT ANTIDIABETES**

**SKRIPSI**

**Oleh:  
HANY'ATUL MUFLIHAH  
NIM. 200603110100**

**Diajukan Kepada:  
Fakultas Sains dan Teknologi  
Universitas Islam Negeri (UIN) Maulana Malik Ibrahim Malang  
Untuk Memenuhi Salah Satu Persyaratan dalam  
Memperoleh Gelar Sarjana Sains (S.Si)**

**PROGRAM STUDI KIMIA  
FAKULTAS SAINS DAN TEKNOLOGI  
UNIVERSITAS ISLAM NEGERI MAULANA MALIK IBRAHIM  
MALANG  
2025**



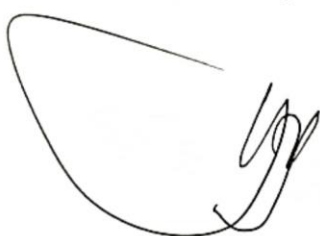
STUDI DINAMIKA MOLEKULAR KOMPLEKS GLIBENKLAMID SUR  $\beta$  PANGKREAS  
DALAM AKTIVITASNYA SEBAGAI OBAT ANTIDIABETES

SKRIPSI

Oleh:  
**HANY'ATUL MUFLIHAH**  
NIM. 200603110100

Telah Diperiksa dan Disetujui untuk Diuji  
Tanggal: 25 Juni 2025

Pembimbing I



Himmatal Baroroh, M.Si  
NIP. 19750730 200312 2 001

Pembimbing II



Oky Bagas Prasetyo, M.Pd.I  
NIP. 19890113 202321 1 028

Mengetahui,  
Ketua Program Studi





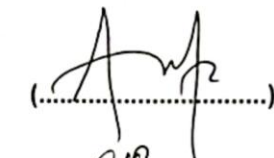
**STUDI DINAMIKA MOLEKULAR KOMPLEKS GLIBENKLAMID SUR SEL  $\beta$  PANGKREAS  
DALAM AKTIVITASNYA SEBAGAI OBAT ANTIDIABETES**

**SKRIPSI**

Oleh:  
**HANY'ATUL MUFLIHAH**  
NIM. 200603110100

Telah Dipertahankan di Depan Dewan Pengaji Skripsi  
Dan Dinyatakan Diterima Sebagai Salah Satu Persyaratan  
Untuk Memperoleh Gelar Sarjana Sains (S.Si)  
Tanggal: 25 Juni 2025

Ketua Pengaji : Dr. Suci Amalia, M.Sc  
NIP. 19821104 200901 2 007



Anggota Pengaji I : Liliik Miftahul Khoiroh, M.Si  
NIP. 19831226 201903 2 008



Anggota Pengaji II : Himmatul Baroroh, M.Si  
NIP. 19750730 200312 2 001



Anggota Pengaji III : Oky Bagas Prasetyo, M.Pd.I  
NIP. 19890113 202321 1 028





## PERNYATAAN KEASLIAN TULISAN

Saya yang bertanda tangan di bawah ini:

Nama : Hany'atul Muflihah  
NIM : 200603110100  
Program Studi : Kimia  
Fakultas : Sains dan Teknologi  
Judul Penelitian : Studi Dinamika Molekular Kompleks Glibenklamid SUR Sel β Pangreas dalam Aktivitasnya sebagai Obat Antidiabetes

Menyatakan dengan sebenarnya bahwa skripsi yang saya tulis ini benar-benar merupakan hasil karya saya sendiri, bukan merupakan pengambilan data, tulisan, atau pikiran orang lain yang saya akui sebagai hasil tulisan atau pikiran saya sendiri, kecuali dengan mencantumkan sumber cuplikan pada daftar pustaka. Apabila dikemudian hari terbukti atau dapat dibuktikan skripsi ini hasil jiplakan, maka saya menerima sanksi atas perbuatan tersebut.

Malang, 26 Mei 2025  
Yang membuat pernyataan,



Hany'atul Muflihah  
NIM. 200603110100



## MOTTO

إِنَّ اللَّهَ لَا يُغَيِّرُ مَا بِقَوْمٍ حَتَّىٰ يُغَيِّرُوا مَا بِأَنفُسِهِمْ

“Sesungguhnya Allah tidak mengubah keadaan suatu kaum hingga mereka merubah apa yang ada pada diri mereka” (QS. Ar-Ra’d:11)

Allah tidak akan mengubah keadaan suatu kaum jika mereka tidak mau berusaha mengubah keadaan diri mereka sendiri. Perbaiki apa yang mampu kamu perbaiki, ubah apa yang mampu kamu ubah, dan jangan memikirkan hasil yang bukan tanggung jawab kamu, biarlah Rabbmu yang mengaturnya untukmu dan selalu libatkan Allah dalam segala urusanmu.



## HALAMAN PERSEMPAHAN

*Alhamdulillahirobbil'alamin*, rasa syukur tiada henti kehadirat Allah SWT yang telah menitikkan takdir terbaik dari do'a-do'a yang senantiasa dipanjatkan sehingga tugas akhir saya yang jauh dari kata sempurna ini dapat terselesaikan dengan baik. Alunan Al-Fatihah, disertai dengan shalawat, dan do'a tanpa henti, saya persembahkan karya sederhana ini kepada:

- Kedua orang tua saya tercinta, Bapak Achmad Rabu dan ibu Suharti yang doa dan ridanya menjadi jembatan menuju ridha Ilahi, yang cinta dan ketulusannya tak pernah pudar, yang tanpa lelah memberikan dukungan materi maupun non-materi, motivasi, semangat, dan do'a yang selalu mustajab untuk saya sehingga saya bisa menyelesaikan perkuliahan ini dari awal hingga akhir. semoga Allah membalas segala kebaikan kalian dengan surga-Nya. Aamiin.
- Adik Muhammad Adib Ulin Ni'am yang aku sayangi, yang selalu ada dalam suka dan duka, terima kasih atas doa dan dukungan yang menguatkan, dan menjadi motivasi untuk menyelesaikan tugas akhir ini.
- Sahabat terbaikku selama di Malang, Uswatun Hasanah dan Nila Cantika Pangesti yang selalu memberi dukungan, doa dan berbagi kegemberian kepada saya.
- Teman-teman El-Fath 2021 Mahmiyah, Pradina, Firoh, Diva, Zakiyyah, Ica, dek Chorida, Nabila dan teman-teman BPH El-Fath batch'4 dengan kerandomannya. Terimakasih telah memberi semangat, dan berbagi candaan kepada saya.
- Teman-teman Santri Lembaga Tinggi Pesantren Luhur Malang terkhusus Dila, Ella, teman-teman kesejahteraan santri, sanusa dan soul. Terimakasih atas banyaknya pengalaman yang berharga. Terimakasih atas tindakan baik serta dukungannya.
- Teman-teman kimia 2020 (AURUM) yang telah memberikan pengalaman dan perjalanan hidup bagi saya.
- Untuk seseorang yang belum bisa ditulis disini, namun sudah tertulis jelas di *Lauhul Mahfudz*. Terimakasih sudah menjadi salah satu motivasi saya dalam menyelesaikan tugas akhir ini sebagai bentuk saya memantaskan diri. Walaupun saat ini saya tidak mengetahui keberadaannya entah di belahan bumi bagian mana. Sampai bertemu di titik terbaik menurut takdir, di waktu yang tepat, dan di tempat terbaik dengan penjagaan terbaik.
- *Last but not least*. Terimakasih untuk Hany'atul Muflighah, diri saya sendiri yang telah bekerja keras dan berjuang sejauh ini. Terimakasih sudah mau mengendalikan diri dari berbagai tekanan dan tidak pernah menyerah dalam situasi sesulit apapun. Berbahagialah selalu, kamu berharga, kamu hebat. *Proud of myself*.



## KATA PENGANTAR

Puji syukur kehadirat Allah Swt. yang telah memberikan rahmat dan hidayahnya sehingga penulis dapat menyelesaikan skripsi yang berjudul "**Studi Dinamika Molekular kompleks Glibenklamid SUR Sel  $\beta$  Pangreas dalam Aktivitasnya Sebagai Obat Antidiabetes**" ini tepat pada waktunya. Selawat serta salam tak lupa kita curahkan kepada Nabi Muhammad saw. yang telah menunjukkan jalan kebenaran di dunia dan akhirat kepada umat manusia. Skripsi ini dapat diselesaikan berkat uluran tangan dan bantuan dari berbagai pihak. Untuk itu penulis mengucapkan banyak terima kasih yang setulusnya kepada:

1. Bapak Prof. Dr. H.M. Zainuddin, MA. selaku Rektor Universitas Islam Negeri Maulana Malik Ibrahim Malang.
2. Ibu Prof. Dr. Sri Harini, M.Si, selaku Dekan Fakultas Sains dan Teknologi Universitas Islam Negeri Maulana Malik Ibrahim Malang.
3. Ibu Rachmawati Ningsih, M.Si. selaku ketua Program Studi Kimia Fakultas Sains dan Teknologi Universitas Islam Negeri Maulana Malik Ibrahim Malang.
4. Ibu Himmatal Baroroh, M.Si. selaku Dosen Pembimbing yang telah memberikan pengarahan dan bimbingan selama proses penyusunan proposal penelitian sampai dengan skripsi.
5. Bapak Oky Bagas Prasetyo, M.Pd.I. selaku Pembimbing yang telah memberikan pengarahan dan bimbingan selama proses penyusunan proposal penelitian sampai dengan skripsi.
6. Ibu Dr.Suci Amalia, M.Sc dan Ibu Lilik Miftahul Khoiroh, M.Si yang telah memberikan saran dan pemahaman tentang penelitian saya.
7. Ibu Nur Aini, M.Si selaku dosen wali yang memberikan motivasi kepada penulis untuk selalu berusaha dan berdo'a dalam menyelesaikan pendidikan ini.

Akhir, hanya ucapan maaf yang dapat penulis sampaikan. Penulis menyadari bahwa skripsi yang ditulis ini masih jauh dari kata sempurna. Oleh karena itu, kritik dan saran yang membangun akan penulis nanti demi kesempurnaan skripsi ini.

Malang, 26 Mei 2025

Penulis



## DAFTAR ISI

<b>HALAMAN JUDUL .....</b>	<b>i</b>
<b>HALAMAN PERSETUJUAN.....</b>	Error! Bookmark not defined.
<b>HALAMAN PENGESAHAN .....</b>	Error! Bookmark not defined.
<b>PERNYATAAN KEASLIAN TULISAN.....</b>	Error! Bookmark not defined.
<b>MOTTO .....</b>	<b>ix</b>
<b>HALAMAN PERSEMBAHAN .....</b>	<b>xi</b>
<b>KATA PENGANTAR.....</b>	<b>xiii</b>
<b>DAFTAR ISI .....</b>	<b>xv</b>
<b>DAFTAR GAMBAR.....</b>	<b>xvii</b>
<b>DAFTAR LAMPIRAN .....</b>	<b>xix</b>
<b>ABSTRAK.....</b>	<b>xxi</b>
<b>ABSTRACT.....</b>	<b>xxiii</b>
<b>مستخلص البحث .....</b>	<b>xxv</b>
 <b>BAB I PENDAHULUAN .....</b>	 <b>1</b>
1.1 Latar Belakang .....	1
1.2 Rumusan Masalah .....	3
1.3 Tujuan .....	3
1.4 Batasan Masalah .....	4
1.5 Manfaat Penelitian .....	4
 <b>BAB II TINJAUAN PUSTAKA.....</b>	 <b>5</b>
2.1 Diabetes Melitus.....	5
2.2 Antidiabetes Oral Golongan Sulfonilurea .....	6
2.3 Sulfonylurea Receptor (SUR).....	7
2.4 Simulasi Dinamika Molekul .....	8
2.4.1 Medan Gaya .....	9
2.4.2 Ansambel NVT .....	9
2.4.3 Ansembel NPT .....	10
2.5 Teknik Studi Dinamika Molekular .....	11
2.5.1 Kotak Studi .....	11
2.5.2 PBC .....	11
2.6 Analisis.....	12
2.6.1 RMSD .....	12
2.6.2 RMSF .....	12
2.7 Aplikasi Komputasi.....	13
2.7.1 PyMol .....	13
2.7.2 UCSF Chimera .....	13
2.7.3 YASARA Dynamics .....	13
 <b>BAB III METODE PENELITIAN .....</b>	 <b>15</b>
3.1 Pelaksanaan Penelitian.....	15
3.2 Alat dan Bahan.....	15
3.2.1 Alat .....	15
3.2.2 Bahan .....	15
3.2.3 Rancangan Penelitian.....	15
3.3 Tahapan penelitian .....	15
3.4 Prosedur Penelitian.....	16
3.4.1 Persiapan Struktur Protein dan Ligand .....	16
3.4.2 Pembuatan Sistem Simulasi.....	16
3.4.3 Minimisasi Energi.....	16
3.4.4 Ekuilibrasi Sistem .....	16
3.4.5 Simulasi Dinamika Molekuler .....	16
3.4.6 Analisis Data.....	16

<b>BAB IV HASIL DAN PEMBAHASAN.....</b>	<b>17</b>
4.1 Preparasi Makromolekul Sel $\beta$ Pangreas.....	17
4.2 Simulasi Dinamika Molekuler .....	18
4.3 Analisis Hasil Simulasi Dinamika Molekuler .....	19
4.3.1 Dinamika Ikatan Hidrogen terhadap Waktu.....	19
4.3.2 Root Mean Square Deviation (RMSD).....	20
4.3.3 Root Mean Square Fluctuation (RMSF) .....	24
<b>BAB V PENUTUP .....</b>	<b>27</b>
5.1 Kesimpulan .....	27
5.2 Saran .....	27
<b>DAFTAR PUSTAKA .....</b>	<b>29</b>
<b>LAMPIRAN .....</b>	<b>33</b>

## DAFTAR GAMBAR

Gambar 2. 1	Struktur senyawa glibenklamid .....	6
Gambar 2. 2	subunit kir6 dan 4 subunit SUR .....	7
Gambar 2. 3	Algoritma dasar MD .....	9
Gambar 2. 4	PBC dalam dua dimensi .....	11
Gambar 4. 1	Struktur kompleks sulfonylurea dan Glibenklamid .....	17
Gambar 4. 2	Simulasi sistem.....	18
Gambar 4. 3	Grafik Jumlah Ikatan Hidrogen .....	19
Gambar 4. 4	Visualisasi kompleks sulfonylurea pada (A) 0 ns dan (B) 100 ns .....	20
Gambar 4. 5	Nilai RMSD Kompleks Sulfonylurea-Glibenklamid .....	22
Gambar 4. 6	Nilai RMSD Ligan Glibenklamid.....	23
Gambar 4. 7	Grafik RMSF.....	24



## **DAFTAR LAMPIRAN**

Lampiran 1. Rancangan Penelitian.....	33
Lampiran 2. Diagram Alir .....	34
Lampiran 3. Script YASARA .....	36
Lampiran 4. Data.....	85
Lampiran 5. Risk Assesment .....	90



## ABSTRAK

Mufliah, Hany'atul. 2025. **Studi Dinamika Molekular Kompleks Glibenklamid SUR Sel  $\beta$  Pangreas Dalam Aktivitasnya Sebagai Obat Antidiabetes.** Skripsi. Program Studi Kimia, Fakultas Sains dan Teknologi, Universitas Islam Negeri Maulana Malik Ibrahim Malang. Pembimbing I: Himmatal Baroroh, M.Si; Pembimbing II: Oky Bagas Prasetyo, M.Pd.I

---

**Kata Kunci:** Diabetes Mellitus, Glibenklamid, Dinamika Molekular, YASARA Dynamics

Diabetes mellitus (DM) adalah penyakit yang disebabkan oleh gangguan metabolisme yang terjadi pada pankreas yang ditunjukkan dengan peningkatan gula darah atau kondisi hiperglikemia yang disebabkan oleh penurunan jumlah insulin yang diproduksi pankreas. Glibenklamid adalah obat antidiabetes oral untuk pasien hiperglikemik yang meningkatkan pelepasan insulin endogen dan menurunkan kadar glikogen serum. Tujuan dari penelitian ini adalah perubahan struktur 3D dan stabilitas kompleks-GBM Sel  $\beta$  pangreas. Metode yang digunakan dalam penelitian ini adalah dinamika molekuler yang dilakukan menggunakan perangkat lunak YASARA Dynamics dengan simulasi membran selama 100 ns. Parameter yang dijelaskan meliputi Root Mean Square Deviation (RMSD), Root Mean Square Fluctuation (RMSF), serta analisis ikatan hidrogen. Dari penelitian yang telah dilakukan, memperoleh hasil RMSD sebesar 1.36 nm selama simulasi 100 ns yang menunjukkan kestabilan struktural relatif dengan fluktuasi yang dapat diterima untuk sistem biomolekuler. Analisis RMSF menunjukkan bahwa sebagian besar residu memiliki nilai RMSF di bawah 3 Å. Secara keseluruhan, ini menunjukkan bahwa protein kompleks SUR dan senyawa antidiabetes tetap stabil dan mampu mempertahankan interaksi penting yang diperlukan untuk merangsang pelepasan insulin. Penemuan ini membuka peluang untuk merancang dan menguji senyawa baru yang memiliki struktur atau cara kerja serupa dengan glibenklamid sebagai alternatif atau pengembangan lebih lanjut dari terapi antidiabetes.



## ABSTRACT

Mufliah, Hany'atul. 2025. **Study of the Molecular Dynamics of the Glibenclamide SUR Complex in Pancreatic  $\beta$  Cells in Its Activity as an Antidiabetic Drug.** Thesis. Departement of Chemistry, Department of Chemistry, Faculty of Science and Technology, State Islamic University, Maulana Malik Ibrahim Malang. Supervisor I: Himmatal Baroroh, M.Si; Supervisor II: Oky Bagas Prasetyo, M.Pd.I

**Keywords:** Diabetes Mellitus, Glibenclamide, Molecular Dynamics, YASARA Dynamics

Diabetes mellitus (DM) is a disease caused by metabolic disorders in the pancreas, characterized by elevated blood sugar levels or hyperglycemia, resulting from reduced insulin production by the pancreas. Glibenclamide is an oral antidiabetic drug for hyperglycemic patients that increases the release of endogenous insulin and reduces serum glycogen levels. The objective of this study was to investigate changes in the 3D structure and stability of the GBM- $\beta$  cell complex of the pancreas. The method used in this study was molecular dynamics performed using YASARA Dynamics software with membrane simulations over 100 ns. The parameters described include Root Mean Square Deviation (RMSD), Root Mean Square Fluctuation (RMSF), and hydrogen bond analysis. From the study conducted, an RMSD value of 1.36 nm was obtained during the 100 ns simulation, indicating relative structural stability with acceptable fluctuations for a biomolecular system. RMSF analysis showed that most residues had RMSF values below 3 Å. Overall, this indicates that the SUR complex protein and antidiabetic compound remain stable and capable of maintaining the important interactions required to stimulate insulin release. This discovery opens up opportunities to design and test new compounds that have a structure or mode of action similar to glibenclamide as an alternative or further development of antidiabetic therapy.



## مستخلص البحث

هنية المفلحة. ٢٠٢٥. دراسة الديناميكا الجزيئية لمركب غلبيينكلاميد SUR في خلايا  $\beta$  البنكرياس في نشاطه كدواء مضاد لمرض السكري. قسم الكيمياء، كلية العلوم والتكنولوجيا، جامعة إسلام نيجيري مولانا مالك إبراهيم مالانج. المشرف الأول: هنول بارورو، م. سي؛ المشرف الثاني: أوكى باغاس براسيتيو، م. د. إ.

الكلمة الرئيسية: داء السكري، غلبيينكلاميد، ديناميكا الجزيئية، YASARA Dynamics

داء السكري (DM) هو مرض ناتج عن اضطراب في التمثيل الغذائي يحدث في البنكرياس، ويتميز بارتفاع مستوى السكر في الدم أو حالة فرط سكر الدم الناتجة عن انخفاض كمية الأنسولين التي ينتجهما البنكرياس. غلبيينكلاميد هو دواء مضاد للسكري عن طريق الفم لمرضى فرط سكر الدم، يعمل على زيادة إفراز الأنسولين الداخلي وخفض مستوى الجليكوجين في الدم. الهدف من هذا البحث هو تغيير هيكل ثلاثي الأبعاد واستقرار مركب GBM في خلايا  $\beta$  البنكرياس. الطريقة المستخدمة في هذا البحث هي الديناميكا الجزيئية التي أجريت باستخدام برنامج YASARA Dynamics مع محاكاة الغشاء لمدة ١٠٠ نانو ثانية. المعلومات الموضحة تشمل الانحراف المربع المتوسط الجندي (RMSD) والتذبذب المربع المتوسط الجندي (RMSF) وتحليل الروابط الهيدروجينية. من الدراسة التي أجريت، تم الحصول على نتيجة RMSD تبلغ ٦٣.١ نانومتر خلال محاكاة ١٠٠ نانو ثانية، مما يدل على استقرار هيكل نسيجي مع تقلبات مقبولة للنظام الجزيئي الحيوي. أظهر تحليل RMSF أن معظم البقايا لها قيمة أقل من ٣ Å. بشكل عام، هذا يشير إلى أن البروتين المركب SUR والمركب المضاد لمرض السكري يظلان مستقرتين وقدرين على الحفاظ على التفاعلات المهمة اللازمة لتحفيز إفراز الأنسولين. هذا الاكتشاف يفتح الباب لتصميم واختبار مركبات جديدة ذات بنية أو طريقة عمل مشابهة للغلبيينكلاميد كبديل أو تطوير إضافي للعلاج المضاد لمرض السكري.



## **BAB I**

### **PENDAHULUAN**

#### **1.1 Latar Belakang**

Masyarakat Indonesia mengalami transformasi besar dalam gaya hidup dan pola makan sebagai salah satu negara berkembang (Tandi, 2017). Gaya hidup yang tidak sehat seperti kurangnya aktivitas fisik, diet yang tidak sehat dan pola makan yang tidak seimbang dapat menyebabkan obesitas. Gaya hidup yang tidak sehat ini menyebabkan banyak penyakit di dalam tubuh, salah satunya adalah diabetes melitus (DM) (Ardiani, 2001). Diabetes mellitus (DM) adalah penyakit yang disebabkan oleh gangguan metabolisme yang terjadi pada pankreas yang ditunjukkan dengan peningkatan gula darah atau kondisi hiperglikemia yang disebabkan oleh penurunan jumlah insulin yang diproduksi pankreas. Indonesia adalah negara keempat dengan pasien diabetes terbanyak dibelakang Amerika Serikat, China, dan India. Dari data WHO (*World Health Organization*) menunjukkan bahwa ada 171 juta penderita DM di seluruh dunia saat ini, dan diperkirakan akan meningkat dua kali lipat hingga 366 juta pada tahun 2030, dibandingkan tahun 2000 (Lestari *et al.*, 2021).

Sindroma klinik diabetes mellitus terdiri dari poliuria, polidipsia, dan polifagia, ditambah peningkatan kadar glukosa darah atau hiperglikemia (kadar glukosa puasa harus lebih dari 126 mg/dl, kadar glukosa postprandial harus lebih dari 200 mg/dl, atau kadar glukosa sewaktu harus lebih dari 200 mg/dl) (Kurniawaty, 2014). Peningkatan kadar glukosa yang beredar dalam darah merupakan salah satu tanda diabetes mellitus. Ini terjadi karena penghancuran sel pankreas yang tidak mencukupi untuk menghasilkan insulin atau ketika sel-sel tubuh tidak menanggapi insulin dengan baik. Penyakit DM ini sangat berbahaya dan tidak dapat disembuhkan. Pilihan utama untuk pengobatan DM adalah penggunaan obat sulfonylurea generasi kedua yaitu glibenklamid.

Glibenklamid adalah obat antidiabetes oral untuk pasien hiperglikemik yang meningkatkan pelepasan insulin endogen dan menurunkan kadar glikogen serum. Menurut Sistem Klasifikasi Biofarmasi (BCS), Glibenklamid diklasifikasikan sebagai kelas II dengan kelarutan rendah dalam air dengan permeabilitas yang baik (Ali *et al.*, 2011). Glibenklamid memiliki waktu paruh plasma ( $t_{1/2}$ ) sekitar 4-6 jam, dengan metabolisme silang pertama di hati sebanyak 50% (Mutalik dan Udupa, 2004). Kepatuhan pasien menjadi sangat penting dalam menggunakan Glibenklamid karena masa konsumsinya yang lama.

Glibenklamid, obat oral yang termasuk dalam golongan sulfonilurea generasi II, memiliki kemampuan untuk menurunkan kadar glukosa darah dengan merangsang sekresi insulin dari granul sel beta pankreas. Hal ini dicapai melalui interaksinya dengan kanal K yang sensitif terhadap ATP pada membran, yang memungkinkan ion masuk ke dalam sel beta pankreas. Mekanisme kerja glibenklamid pada sel beta pankreas dapat meningkatkan sekresi insulin melalui penutupan kanal K+, yang menyebabkan depolarisasi, dan insulin dapat dikeluarkan melalui eksositosis (Alinu & Malau., 2022).

Pengujian awal antidiabetes dapat dilakukan secara komputasi. Penemuan dan penelitian obat baru dapat dilakukan melalui kemajuan teknologi seperti komputer. Meskipun metode *in silico* yang digunakan untuk menemukan obat baru yang belum ditemukan di zaman nabi, Allah SWT memberi kita perintah untuk selalu berpikir dan belajar agar kita dapat memahami pengetahuan baru. Allah berfirman dalam surah Al-Ankabut ayat 43:

وَتِلْكَ الْأُمَّةُ أَنَّهُمْ نَصَرُهَا لِلْكَافِرِ وَمَا يَعْلَمُهَا إِلَّا الْعِلْمُونَ

Artinya: “*Dan perumpamaan-perumpamaan itu Kami buat untuk manusia. Namun, tidak ada yang memahaminya, kecuali orang-orang yang berilmu.*”

Ayat di atas dalam Tafsir Al-Misbah menjelaskan bahwa maksud firman Allah tentang *amtsal* Al-Qur'an menjelaskan bahwa tidak ada yang memahaminya kecuali orang-orang 'alim (Quraish Shihab, 2002). Menurut Tafsir Ibnu Katsir, Imam Ahmad diberitahu oleh Ishaq ibnu Isa dan Ibnu Lahi'ah dari Abu Qubail, dari Amr ibnu As ra yang mengatakan bahwa dia hafal seribu tamsil dari Rasulullah saw. Ini adalah keutamaan besar bagi Amr ibnu As, karena Allah berfirman, “*Dan perumpamaan-perumpamaan ini Kami buatkan untuk manusia, dan tiada yang memahaminya kecuali orang-orang yang berilmu*” (Ibnu Katsir, 2000).

Target pengujian ini adalah *reseptor sulfonylurea* (SUR) pada sel beta pankreas. SUR1 menunjukkan sensitivitas tinggi terhadap obat sulfonilurea, seperti glibenklamid, glipizid, dan glimepirid, karena adanya situs pengikatan khusus yang memiliki afinitas tinggi terhadap molekul-molekul tersebut. Ketika obat sulfonilurea berikatan dengan SUR1, hal ini menyebabkan inhibisi saluran  $K_{ATP}$ , yang pada akhirnya menginduksi depolarisasi membran sel beta, membuka saluran kalsium ( $Ca^{2+}$ ), dan meningkatkan sekresi insulin. SUR bekerja dengan mengikat obat golongan sulfonilurea, yang menyebabkan sekresi insulin dari sel beta pankreas (Oh et al., 2012).

Penelitian terdahulu yang dilakukan oleh Ramadhan (2021) menunjukkan bahwa uji awal ditargetkan pada SUR karena diketahui bekerja spesifik terhadap obat oral golongan sulfonilurea. Metode penambatan molekul (*molecular docking*) adalah sistem komputasi pada skrining biologi, yang dapat digunakan untuk menyelidiki mekanisme interaksi antara SUR dan glibenklamid. *Molecular docking* dapat memberikan fleksibilitas tinggi untuk ligan, protein disimpan kurang tetap atau memiliki fleksibilitas terbatas untuk sisa yang ada di dalam atau di dekat situs aktif. Hal ini meningkatkan secara eksponensial kompleksitas ruang dan waktu komputasi. Meskipun demikian, membuat inhibitor struktur tunggal yang kaku atau molekul obat dapat menghasilkan hasil yang tidak tepat. Maka dari itu, pada penelitian ini menggunakan metode *dinamika molekular* sebagai alat pasca pemrosesan untuk memvalidasi dan menyempurnakan solusi *docking* karena metode tersebut memiliki kekurangan.

Dinamika molekular adalah simulasi komputer yang mengamati pergerakan interaksi molekul-molekul dengan saling menarik, mendorong, dan menabrak molekul satu sama lain. Karena masing-masing protein memiliki karakteristik stabilitas termal yang unik, teknik ini

dapat digunakan untuk mempelajari struktur protein, stabilitas enzim atau protein, perubahan konformasi, pelipatan protein, pengangkutan ion, dan sebagainya. Terdapat beberapa fungsi dari dinamika molekuler mempelajari interaksi antar atom dan molekul, memahami perubahan struktur molekul, menganalisis stabilitas kompleks molekul, mengamati reaksi kimia secara mikroskopik, menghitung properti termodinamika dan kinetika, menggantikan atau melengkapi eksperimen fisik, desain dan optimasi material atau obat (Prayoga *et al.*, 2018). Penelitian mengenai dinamika molekuler pernah dilakukan oleh Mazyadi (2023) pada kompleks FGF2-FGFR1 heparin 8 dan 12, setelah dilakukan simulasi dinamika molekuler menghasilkan bahwa heparin 12 lebih stabil dari pada heparin 8.

Simulasi dinamika molekular menghasilkan data berupa hasil analisis yang tersimpan dalam file *report.html* berisi RMSD, RMSF, dan interaksi hidrogen. Nilai RMSD memiliki fungsi mengamati bagaimana konformasi berubah selama simulasi. Nilai RMSF memiliki fungsi mengidentifikasi bagian molekul yang fleksibel untuk membedakan bagian molekul peptida yang fleksibel dan residu dengan nilai RMSF rendah yang dianggap memiliki kestabilan yang lebih baik (Fakih *et al.*, 2020).

Penelitian sebelumnya yang dilakukan oleh Ramadhan (2021) pada senyawa glibenklamid sebagai antidiabetes menjelaskan bahwa proses *redocking* menghasilkan nilai energi sebesar -9,44 kkal/mol dan menghasilkan interaksi intermolekular ikatan hidrogen, van der Waals, interaksi nonkovalen dan unfavorable donor-donor. Berdasarkan uraian diatas, maka dalam penelitian ini akan dilakukan studi dinamika molekular kompleks-SUR sel  $\beta$  pangreas dalam aktivitasnya sebagai obat antidiabetes untuk mengetahui stabilitas dan konformasi selama simulasi sebagai obat antidiabetes.

## 1.2 Rumusan Masalah

Adapun rumusan masalah dalam penelitian ini adalah:

1. Bagaimana perubahan struktur 3D kompleks glibenklamid SUR sel  $\beta$  pangreas selama waktu simulasi studi dinamika molecular 100 ns?
2. Bagaimana stabilitas interaksi kompleks glibenklamid SUR sel  $\beta$  pangreas ditinjau dari interaksinya selama simulasi dinamika molekuler sebagai obat antidiabetes?

## 1.3 Tujuan

Adapun tujuan dalam penelitian ini adalah:

1. Mengetahui perubahan struktur 3D kompleks glibenklamid SUR sel  $\beta$  pangreas selama waktu simulasi?
2. Mengetahui stabilitas interaksi kompleks glibenklamid SUR sel  $\beta$  pangreas ditinjau dari parameter energi interaksinya selama simulasi dinamika molekuler sebagai obat antidiabetes?

**1.4 Batasan Masalah**

1. Sampel berasal dari PDB (*Protein Data Bank*).
2. Metode yang digunakan adalah studi dinamika molekular dengan running 100ns.

**1.5 Manfaat Penelitian**

Manfaat dari penelitian ini adalah memberikan pengetahuan mengenai glibenklamid untuk obat antidiabetes dan berkontribusi dalam pengembangan ilmu sains, agama, dan bidang kimia.

## BAB II

### TINJAUAN PUSTAKA

#### 2.1 Diabetes Melitus

Diabetes mellitus (DM) adalah penyakit yang disebabkan oleh gangguan metabolisme yang terjadi pada pankreas yang ditunjukkan dengan peningkatan gula darah atau kondisi hiperglikemia yang disebabkan oleh penurunan jumlah insulin yang diproduksi pankreas. Indonesia adalah negara keempat dengan pasien diabetes terbanyak dibelakang Amerika Serikat, China, dan India. Dari data WHO (*World Health Organization*) menunjukkan bahwa ada 171 juta penderita DM di seluruh dunia saat ini, dan diperkirakan akan meningkat dua kali lipat hingga 366 juta pada tahun 2030, dibandingkan tahun 2000 (Lestari *et al.*, 2021).

Diabetes melitus (DM) adalah kelainan metabolismik yang ditunjukkan secara klinis. Kondisi hiperglikemia, yang dikenal sebagai gula darah tinggi dalam tubuh manusia, adalah tanda penyakit ini. Kondisi tersebut dapat disebabkan oleh kesalahan dalam sekresi insulin, kesalahan dalam kerja insulin, atau salah satunya. Salah satu tanda diabetes melitus adalah kadar gula darah tinggi atau hiperglikemia. Beberapa orang dengan diabetes juga mungkin menunjukkan tanda-tanda lain (Sudoyo *et al.*, 2014). Poliuria, polidipsia, dan polifagia, disertai dengan peningkatan glukosa darah atau hiperglikemia, adalah sindroma klinik yang sering terjadi pada diabetes mellitus. Kira-kira setengah dari glukosa yang dikonsumsi dalam keadaan normal dimetabolisme sepenuhnya menjadi karbon dioksida dan air, 5% diubah menjadi glikogen, dan 30-40% diubah menjadi lemak. Pada DM, semua proses tersebut terhambat. Glukosa tidak dapat masuk ke sel sampai metabolisme protein dan lemak menghasilkan sebagian besar energi (Kurniawaty, 2014). Menurut *American Diabetes Association* (ADA) 2010 diabetes mellitus terbagi menjadi 4 jenis, yaitu:

- a. Diabetes Melitus tipe 1 atau *Insulin dependent Diabetes Mellitus* (IDDM). DM tipe 1 disebabkan oleh kerusakan sel beta pankreas yang disebabkan oleh sistem kekebalan. Pada kondisi ini, sekresi insulin rendah atau sama sekali tidak ditemukan, dan tingkat protein C-peptida rendah atau sama sekali tidak ditemukan. Ketoasidosis adalah gejala klinis pertama dari penyakit ini.
- b. Diabetes Melitus Tipe 2 atau *Insulin Non-dependent Diabetes Mellitus/NIDDM*. DM tipe 2 ini terjadi resistensi insulin yang merupakan penurunan kemampuan insulin untuk merangsang pengambilan glukosa oleh jaringan perifer dan menghambat produksi glukosa oleh hati, menghalangi insulin untuk membawa glukosa ke dalam jaringan. Karena terjadinya resistensi insulin (reseptor insulin yang tidak aktif karena kadarnya masih tinggi dalam darah) dapat menyebabkan defisiensi relatif insulin. Ini dapat menyebabkan sekresi insulin berkurang pada adanya glukosa dan bahan sekresi insulin lain, sehingga sel beta pankreas menjadi desensitisasi terhadap adanya glukosa.
- c. Diabetes Mellitus Tipe Lain. Jenis DM ini dapat disebabkan oleh berbagai sumber lain. Misalnya, kelainan fungsi sel beta, kelainan kerja insulin, penyakit eksokrin pankreas,

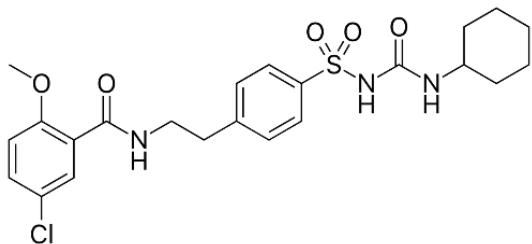
penyakit metabolismik endokrin lainnya, iatrogenik, infeksi virus, penyakit autoimun, dan kelainan genetik lainnya.

- d. Diabetes Gestasional. DM gestasional terjadi selama masa kehamilan. Pada masa tersebut intoleransi glukosa didapati pertama kali pada masa kehamilan, biasanya pada trimester kedua dan ketiga. Selama kehamilan, diabetes gestasional dikaitkan dengan peningkatan risiko komplikasi. Penderita diabetes gestasional memiliki risiko lebih tinggi untuk menderita diabetes menetap selama lima hingga sepuluh tahun setelah melahirkan.

## 2.2 Antidiabetes Oral Golongan Sulfonilurea

Sulfonilurea (SUs) memiliki kemampuan untuk merangsang sekresi insulin endogen dengan menghalangi saluran potassium adenosin triposfat-sensitif (KATP) pada sel beta pankreas. Ini terjadi dengan pengikatan unit Sulfonylurea receptor (SUR) pada sel beta pankreas, yang menghentikan masuknya ion K<sup>+</sup> dan menyebabkan terjadi depolarisasi membran dan ion Ca<sup>2+</sup> masuk ke dalam sel (Kalra dan Ghupta, 2015).

Glibenklamid adalah obat yang sering digunakan untuk mengobati diabetes mellitus (DM) tipe 2, yang merupakan penyakit dengan kondisi serius yang membutuhkan pengawasan teratur. Fungsi glibenklamid sendiri adalah untuk menstimulasi sel β pankreas untuk mengeluarkan insulin, yang merupakan cara yang serius untuk mengobati diabetes. Sediaan tablet antidiabetes dapat berupa glibenklamid tunggal atau campuran dari beberapa obat (Tresnawati dan Saputri, 2016).



**Gambar 2. 1** Struktur senyawa glibenklamid

Glibenklamid (Gambar 2.1) salah satu obat oral golongan sulfonilurea yang paling populer, memiliki efek antidiabetes yang kuat. Namun, jika dikonsumsi berlebihan, glibenklamid memiliki efek samping hipoglikemik yang sangat parah. Oleh karena itu, konsumsi glibenklamid harus dilakukan setiap satu kali sehari. Jika glibenklamid dikonsumsi terlalu lama, efektivitasnya akan berkurang (Husyanti, 2016; Nugroho, 2006; Putra, dkk, 2017). Glibenklamid bekerja untuk meningkatkan sekresi insulin dengan menutup kanal kalium yang sensitif pada ATP, reseptor 1 sulfonilurea (SUR1) di sel beta pankreas. Penutupan SUR1 menyebabkan potensial membran sel menjadi kurang negatif, yang menyebabkan kanal kalsium terbuka (Alinu Mulki & Malau, 2022).

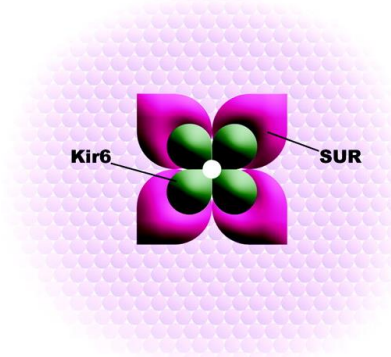
Mekanisme kerja glibenklamid yaitu merangsang sekresi hormon insulin dari granula sel-sel β pulau-pulau Langerhans pankreas. Interaksinya dengan ATP - *sensitive* K channel

pada membran sel-sel  $\beta$  menimbulkan depolarisasi membran dan keadaan ini akan membuka kanal Ca. Setelah terbukanya kanal Ca, maka ion Ca<sup>2+</sup> akan masuk ke dalam sel  $\beta$  kemudian merangsang granula yang berisi insulin dan akan terjadi sekresi insulin (Suherman, 2007).

### 2.3 Sulfonylurea Receptor (SUR)

Target utama obat oral golongan sulfonilurea adalah kanal kalium, yang bertanggung jawab secara signifikan untuk mengontrol potensi membran sel beta pankreas. Konsumsi obat ini menyebabkan penutupan K<sub>ATP</sub>, yang mengakibatkan depolarisasi membran sel beta pankreas. Dalam proses depolarisasi membran ini, kanal Ca<sup>2+</sup> (kalsium) terbuka, yang memungkinkan ion kalsium ekstraseluler masuk, dan meningkatkan konsentrasi ion kalsium dalam sel. Ini menyebabkan pembentukan granul yang mengandung insulin, yang kemudian dilepaskan ke darah.

Saluran K<sub>ATP</sub> memiliki fungsi sebagai sensor keadaan metabolisme sel dan memasangkan metabolisme sel dengan potensial membran. K<sub>ATP</sub> merupakan suatu kompleks hetero-oktamerik yang terdiri dari 4 jenis subunit Kir6.x dan 4 reseptor sulfonilurea (SUR) ditunjukkan pada gambar 2.1. Kir6.x mengatur pengangkatan kalium (K+) yang kuat secara internal dan mirip dengan tetramer yang dapat membentuk suatu lubang kanal. Kir6.x memiliki dua macam isoform yaitu Kir6.1 dan Kir6.2, yang keduanya diekspresikan dalam jantung, dengan Kir6.2 sebagai bentuk dominan di sarkolema (Nichols, 2006).



**Gambar 2. 2** subunit kir6 dan 4 subunit SUR

SUR adalah protein ABC atipikal yang berikatan dengan subunit Kir6 untuk membentuk saluran KATP fungsional. Terdapat dua isoform SUR, SUR1 dan SUR2, yang terakhir ini memiliki dua varian sambungan utama, SUR2A dan SUR2B. Pada tikus, terdapat 2 varian sambungan tambahan. Yang pertama mengkodekan transkrip tanpa ekson 14 dan hanya ditemukan di jantung. Yang kedua ditandai dengan penyambungan ekson, yang mengkodekan wilayah di sebelah situs Walker A dari NBD1 dan mengubah gerbang saluran. SUR1 dan -2 adalah produk dari gen ABCC8 dan ABCC9, masing-masing. SUR2A sangat diekspresikan di jaringan jantung, sedangkan SUR1 paling banyak diekspresikan di otak dan pankreas.

Ketika obat golongan sulfonilurea berinteraksi dengan SUR, mereka akan terikat dengan afinitas yang sangat tinggi, yang dapat menyebabkan penutupan kanal K+. Studi sebelumnya juga menunjukkan bahwa obat golongan sulfonilurea berinteraksi dengan Kir6.2, tetapi dengan afinitas ikatan yang lemah. Semua obat yang dapat merangsang penutupan kanal K+ dapat meningkatkan sekresi insulin, tetapi hanya obat yang berinteraksi dengan SUR yang dapat digunakan dalam pengobatan diabetes (Gribble *et al.*, 1998).

Allah berfirman dalam surah Asy-Syu'ara ayat 80:

وَلَدَا مَرْضُتْ فَهُوَ يَشْفِيْنْ

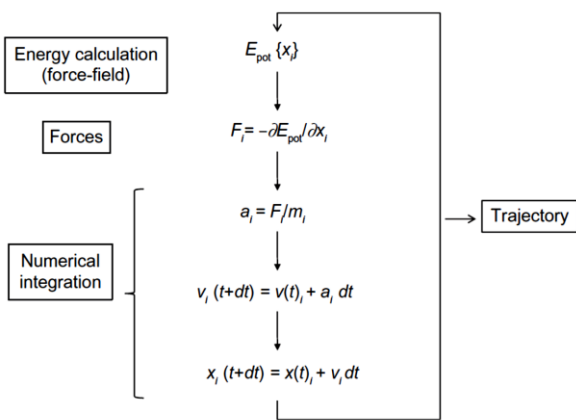
Artinya: "Dan apabila aku sakit, Dialah yang menyembuhkanku."

Menurut tafsir klasik dengan menggunakan *Tafsir Jalalain*, "Dan apabila aku sakit, Dialah yang menyembuhkan aku" menunjukkan bahwa Allah memiliki otoritas untuk menyembuhkan hamba-hambanya yang sakit. Allah memiliki keputusan untuk memilih menyembuhkan penyakit manusia atau tidak. Namun, manusia juga dituntut untuk mencari tahu bagaimana cara memperoleh kesembuhan. Ayat ini juga menunjukkan bagaimana manusia berperilaku sebagai hamba Allah kepada khaliknya karena ulah dan perbuatan manusia terkadang menyebabkan penyakit. Salah satu contohnya adalah perilaku manusia yang melanggar norma dan protokol kesehatan, yang dapat disebabkan oleh pola hidup dan pola makan yang dilakukan seseorang dalam kehidupan sehari-hari. Sebaliknya, jika manusia dapat berterima kasih atas penyakit yang mereka alami, maka ketika Allah menyembuhkan penyakit manusia, mereka akan benar-benar merasakan dan menikmati kesejahteraan saat mereka sakit (Sismanto & Hamidah, 2022).

## 2.4 Simulasi Dinamika Molekul

*Molecular Dynamic* (MD) digunakan untuk menunjukkan gerakan, interaksi, dan dinamika pada tingkat atom dengan memilih ruang tekanan untuk menunjukkan semua interaksi antar atom. Ini dilakukan dengan mengintegrasikan persamaan Newton, yang dapat menunjukkan posisi dan kecepatan atom setiap saat (Sharma *et al.*, 2019).

Data pemodelan komparatif atau struktur eksperimental dapat digunakan untuk menghasilkan model awal sistem. Sistem simulasi dapat digambarkan dalam berbagai tingkat detail. Ketika sistem besar atau simulasi panjang diperlukan, representasi kasar menjadi sangat populer. Namun, representasi atomistik adalah yang mengarah pada representasi terbaik dari sistem aktual. Representasi pelarut sangat penting untuk menentukan sistem. (Filipe & Loura, 2022).



**Gambar 2. 3** Algoritma dasar MD

Dinamika molekuler bekerja dengan menghitung gaya antar atom menggunakan medan gaya (*force field*), kemudian memprediksi posisi dan kecepatan atom selanjutnya menggunakan integrasi numerik. Langkah dasar simulasi dinamika molekuler (Hollingsworth & Dror, 2018):

1. Persiapan struktur: Molekul target (protein, ligan, dll.) dimuat.
2. Penambahan pelarut: Sistem dicelupkan dalam air (atau pelarut lain).
3. Minimisasi energi: Menghilangkan tekanan struktural (strain).
4. *Equilibration*: Sistem distabilkan secara termodinamika.
5. Simulasi produksi: Jalannya simulasi utama untuk mengumpulkan data.
6. Analisis: Meliputi analisis RMSD, RMSF, *radius of gyration*, dan energi ikatan.

#### 2.4.1 Medan Gaya

Penghitungan gaya-gaya antar molekul yang membutuhkan waktu lama biasanya diberi nilai *cutoff*. Interaksi antar atom yang jauh dari nilai *cutoff* diabaikan (Gang, 2008). Fungsi medan gaya dan set parameter diturunkan dari pekerjaan eksperimental dan perhitungan mekanika kuantum tingkat tinggi. Medan gaya "*United-Atom*" berfokus pada atom hidrogen dan karbon dalam gugus metil dan metilen sebagai pusat interaksi, sedangkan medan gaya "*All-Atom*" memberikan parameter untuk setiap jenis atom yang ada dalam suatu sistem, termasuk hidrogen. Untuk meningkatkan efisiensi komputasi, medan gaya "*Coarse-Grained*" digunakan dalam simulasi protein jangka panjang. (Sharma *et al.*, 2019). YASARA memiliki medan gaya internal bernama YASARA2 dan juga mendukung medan gaya eksternal populer seperti AMBER (biasa digunakan untuk sistem biologis), OPLS, CHARMM, dan YAMBER (versi yang lebih ringan dan cepat, turunan dari AMBER)(Krieger & Vriend, 2015).

#### 2.4.2 Ansambel NVT

Ansambel adalah kumpulan dari semua sistem yang mungkin, yang memiliki kondisi mikroskopik berbeda, namun kondisi fisiknya. Jenis-jenis ensemble antara lain yaitu mikrokanonikal (NVE), kanonikal (NVT), isobarik-isotermal (NPT), dan makrokanonikal ( $\mu$ VT) (Stote, 2011). Dalam ansambel kanonik, volume sistem tetap, dan energi dapat bergerak

melalui batas sistem-lingkungan, tetapi materi tidak. Sistem dapat digambarkan terendam dalam penangas panas pada suhu ( $T$ ), di mana penangas panas jauh lebih besar daripada sistem. Tidak ada panas yang dilepaskan oleh sistem yang akan meningkatkan suhu lingkungan secara signifikan. Ansambel kanonik berlaku untuk sistem ukuran apa pun; meskipun kita harus menganggap bahwa penangas panas memiliki ukuran relatif yang sangat besar, sistem itu sendiri mungkin kecil atau besar. Sampai sistem dan lingkungan berada dalam kesetimbangan termal, panas ( $q$ ) akan ditransfer oleh sistem ke dan dari lingkungan karena keduanya berada dalam kontak termal. Oleh karena itu, suhu unit kanonik dapat ditetapkan sebagai konstanta ( $T$ ), tidak seperti unit mikrokanonik. (Satoh, 2003).

#### 2.4.3 Ansembel NPT

Dalam ansambel isotermal-isobarik, energi dapat berpindah melintasi batas, tetapi materi tidak. Volume sistem dapat diubah sedemikian rupa sehingga tekanan internal sistem sebanding dengan tekanan lingkungannya. Sistem isotermal-isobarik direndam dalam penangas panas, mirip dengan ansambel kanonik. Pada suhu ( $T$ ), di mana panas penangas jauh lebih tinggi daripada system. Ketika tidak ada panas yang dilepaskan oleh sistem yang akan meningkatkan suhu lingkungan secara signifikan. Ensembel isotermal-isobarik adalah kumpulan mekanik statistik yang mempertahankan jumlah total partikel ( $T$ ) dan suhu ( $p$ ) yang konstan. Biasanya disingkat NPT, kumpulan ini sangat membantu dalam mengelola sistem fisik di mana volume sistem berubah meskipun tekanan tetap konstan (Satoh, 2003).

## 2.5 Teknik Studi Dinamika Molekular

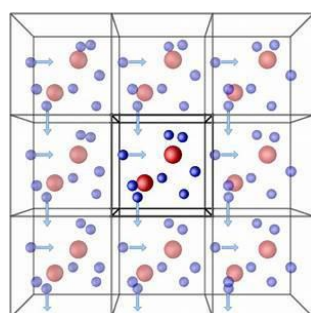
### 2.5.1 Kotak Studi

Kotak simulasi merupakan suatu proses peniruan dari sesuatu yang nyata beserta keadaan sekelilingnya dalam suatu kotak. Dalam mekanika klasik, atom atau molekul dianggap sebagai titik massa dalam batas tertentu yang masih dapat digunakan. Konsep partikel-partikel berbentuk bola didasarkan pada model paling sederhana untuk menjelaskan materi dan kemudian diberi nama atom. Pasangan atom berinteraksi dengan cara yang memenuhi dua kriteria utama. Yang pertama adalah bahwa interaksi harus mampu menahan tekanan yang disebabkan oleh interaksi lain, yang berarti bahwa pasangan yang saling mendekat akan mengalami gaya tolak-menolak. Kriteria kedua adalah bahwa interaksi harus mengikat pasangan atom satu sama lain sehingga pasangan tersebut akan menarik-menarik satu sama lain jika mereka menjauh. Dalam YASARA, kotak simulasi dapat ditentukan secara otomatis atau manual. Proses umum melibatkan(Hauser *et al.*, 2018):

- Mengelilingi molekul target dengan pelarut (biasanya air) menggunakan perintah seperti *AddSolvent*
- YASARA kemudian membuat kotak simulasi di sekitar sistem berdasarkan parameter seperti margin dari molekul utama.
- Pengguna dapat melihat atau menyesuaikan ukuran kotak melalui GUI atau skrip yas.

### 2.5.2 PBC

*Periodic Boundary Conditions* (PBC) memungkinkan simulasi dilakukan dengan menggunakan jumlah partikel yang relatif kecil, sedemikian rupa sehingga partikel mengalami gaya seolah-olah berada dalam fluida. Sistem yang terdiri dari beberapa puluh hingga beberapa ribu atom dengan elektron biasanya digunakan untuk simulasi dinamika molekul. Efek permukaan, yaitu interaksi antara atom dengan dinding, akan mendominasi sistem yang lebih kecil ini. Syarat batas periodik (SBP) dapat digunakan untuk simulasi yang tidak mengutamakan efek ini (Dipojono, 2001). Bayangkan sebuah kotak kubik partikel yang direplikasi ke segala arah untuk memberikan susunan periodik. Sebuah kotak dua dimensi ditunjukkan pada **Gambar 2.4**.



**Gambar 2. 4** PBC dalam dua dimensi

Dalam keadaan ini, sel satuan menduplikasi pada simulasi sehingga molekul di setiap sisi sel berinteraksi secara molekuler satu sama lain. Ini memungkinkan sistem simulasi yang lebih kecil untuk berfungsi.mewakili keadaan sebenarnya (**Gambar 2.4**).

Ada dua kriteria utama yang diperlukan untuk mendefinisikan sel satuan periodik, yaitu :

- a. Pembebaan yang terjadi pada batas berlawanan yang sesuai mengikuti pergerakan relatif elemen pada batas sel simulasi.
- b. Terlepas dari jumlah unit berulang / sel satuan yang digunakan untuk menentukan sel yang disimulasikan, profil deformasi dan sifat mekanik sistem harus tetap (Mizzi *et al.*, 2020)

## 2.6 Analisis

### 2.6.1 RMSD

RMSD adalah perubahan konformasi kompleks antara protein ligan. RMSD protein yang dihitung berdasarkan perbedaan tulang punggung protein, digunakan untuk mengetahui apakah ada perubahan konformasi protein karena tulang punggung protein dapat mewakili konformasi protein tersebut. Hal ini menunjukkan stabilitas konformasi keseluruhan protein dalam keadaan dinamis selama simulasi. Ketika sistem mencapai tingkat RMSD yang rendah dengan fluktuasi yang konsisten selama seluruh simulasi, sistem diseimbangkan dan distabilkan. Sebaliknya, tingkat fluktuasi yang lebih tinggi menunjukkan stabilitas yang lebih rendah. Selain itu, grafik RMSD yang sangat menyimpang dapat menunjukkan transisi konformasi utama protein menuju konformasi yang stabil dengan ligan (Sharma *et al.*, 2021). Menurut Brooijmans (2009) nilai RMSD dianggap baik jika nilainya kurang dari 2 Å. Jika hasil docking suatu ligan memiliki nilai RMSD lebih dari 2 Å, maka kesalahan prediksi interaksi antara ligan tersebut dengan protein targetnya semakin besar.

### 2.6.2 RMSF

Sebagai parameter, residu protein (RMSF) menganalisis segmen tertentu protein yang menyimpang dari struktur rata-ratanya, yang umumnya terjadi pada interaksi ligan. Residu protein memainkan peran penting dalam mencapai konformasi yang stabil untuk kompleks protein-ligan. Fluktuasi yang diamati untuk setiap residu menunjukkan tingkat fleksibilitas yang dimilikinya. Oleh karena itu, residu atau sekelompok residu dengan fluktuasi RMSF yang lebih tinggi menunjukkan fleksibilitas yang lebih besar, yang berarti mereka memiliki potensi untuk berinteraksi dengan molekul ligan yang lebih besar. Di sisi lain, residu dengan fluktuasi RMSF yang lebih rendah menunjukkan fleksibilitas yang lebih rendah, yang berarti mereka memiliki potensi untuk berinteraksi dengan molekul ligan yang lebih (Sharma *et al.*, 2021).

## 2.7 Aplikasi Komputasi

### 2.7.1 PyMol

Warren Lyford DeLano menciptakan sistem visualisasi molekuler sumber terbuka PyMOL, yang pertama kali dikomersialkan oleh DeLano *Scientific* LLC. Pada tahun 2010, Schrödinger Inc. mengakuisisi PyMOL dan sejak saat itu bertanggung jawab atas pengembangan, perawatan, dan penjualan PyMOL, termasuk semua langganan saat ini. PyMOL menggunakan OpenGL *Extension Wrangler Library* (GLEW) dan *Free OpenGL Utility Toolkit* (*Freeglut*) untuk widget GUI. Selain itu, PyMOL menggunakan *widget toolkit* (Tk) lintas platform. PyMOL adalah salah satu alat visualisasi makromolekul yang paling banyak digunakan saat ini karena dapat menghasilkan film dan gambar molekul makro berkualitas tinggi dalam berbagai representasi, seperti kartun, tulang rusuk, titik, permukaan, bola, tongkat, dan garis. Karena PyMOL ditulis dalam Python, salah satu bahasa pemrograman paling populer, PyMOL dapat membahas plugin Python dengan mudah. Selain membahas visualisasi dan fungsi analisis yang ditingkatkan dalam PyMOL, topik kami juga meluas ke pemodelan protein-ligan, simulasi molekuler (MS), dan penyaringan virtual (VS) dalam PyMOL (Yuan, 2017).

### 2.7.2 UCSF Chimera

UCSF Chimera adalah sebuah program visualisasi dan analisis molekuler interaktif yang dikembangkan oleh *Resource for Biocomputing, Visualization, and Informatics* (RBVI) di *University of California, San Francisco* (UCSF). Sejak rilis publik pertama Chimera pada Maret 2000, unduhan Chimera telah meningkat secara stabil, mencapai sekitar 1000 per bulan pada saat ini dan jumlah total lebih dari 12.000. Program ini dirancang untuk memungkinkan pengguna menampilkan dan memanipulasi struktur biomolekul, data mikroskopi *cryo-electron*, peta medan potensial, serta berbagai jenis data lainnya yang berhubungan dengan biologi struktural dan kimia komputasi. UCSF Chimera digunakan secara luas dalam bidang bioinformatika, biologi struktural, dan kimia untuk visualisasi struktur 3D protein, DNA, RNA, dan kompleks molekul lainnya, analisis interaksi antar molekul, penyajian data eksperimen seperti X-ray *crystallography* dan *cryo-EM*, dan pembuatan animasi dan gambar berkualitas publikasi (Pettersen *et al.*, 2004).

### 2.7.3 YASARA Dynamics

YASARA Dynamics (*Yet Another Scientific Artificial Reality Application*) adalah salah satu perangkat lunak yang dirancang khusus untuk melakukan simulasi dinamika molekul dengan efisien dan akurat. YASARA dikembangkan oleh Elmar Krieger dan timnya, dan menjadi populer di kalangan peneliti karena menggabungkan antarmuka grafis yang ramah pengguna dengan kemampuan perhitungan berkualitas tinggi, termasuk integrasi berbagai *force field* seperti AMBER, CHARMM, dan YAMBER. Tidak seperti perangkat lunak lain yang memerlukan pengetahuan pemrograman tingkat lanjut, YASARA menawarkan visualisasi 3D

interaktif dan scripting berbasis bahasa Python yang memungkinkan automasi simulasi dalam skala besar. Selain itu, YASARA mendukung simulasi pada sistem protein besar, DNA/RNA, membran lipid, dan kompleks protein-ligan, baik dalam lingkungan vakum maupun larutan air (solvasi eksplisit) (Krieger & Vriend, 2015).

Salah satu keunggulan utama YASARA *Dynamics* adalah kemampuannya dalam melakukan simulasi dengan akurasi tinggi menggunakan langkah waktu kecil, pengolahan GPU (*Graphics Processing Unit*), dan fitur-fitur canggih seperti *energy minimization*, *binding energy calculation* (MM/PBSA), dan *in-silico* mutagenesis. YASARA juga sangat fleksibel dalam analisis post-simulasi, seperti menghitung *Root Mean Square Deviation* (RMSD), *Root Mean Square Fluctuation* (RMSF), *radius of gyration*, serta analisis *hydrogen bonding* dan kontak hidrofobik. Dalam konteks penelitian modern, penggunaan YASARA *Dynamics* semakin luas, mulai dari desain obat berbasis struktur (*structure-based drug design*), analisis efek mutasi genetik, hingga pemodelan struktur protein yang belum diketahui secara eksperimen. Oleh karena itu, pemahaman terhadap prinsip kerja YASARA serta kemampuannya menjadi sangat penting bagi peneliti di bidang bioteknologi, bioinformatika, dan ilmu farmasi (Krieger & Vriend, 2014).

## **BAB III**

### **METODE PENELITIAN**

#### **3.1 Pelaksanaan Penelitian**

Penelitian ini akan dilakukan pada bulan Agustus 2024 - Maret 2025 di Laboratorium Kimia Komputasi Program Studi Kimia Fakultas Sains dan Teknologi Universitas Islam Negeri Maulana Malik Ibrahim Malang.

#### **3.2 Alat dan Bahan**

##### **3.2.1 Alat**

Perangkat keras yang digunakan dalam penelitian ini adalah LENOVO Laptop 18EQK02A dengan spesifikasi AMD 3020e dengan grafik radeon 12 CPU 1.20 GHz RAM 4,00 GB.

Perangkat lunak yang digunakan yaitu sistem operasi Windows 11 Home Single Language 64-bit 10.0 Build 22000, PyMol (TM) 2.5.7, Chimera 1.17.3, YASARA Dynamics.

##### **3.2.2 Bahan**

Bahan yang digunakan dalam penelitian ini berupa molekul tiga dimensi reseptor sulfonylurea dengan kode 6baa dengan format .pdb.

##### **3.2.3 Rancangan Penelitian**

Penelitian ini dilakukan secara *in silico* menggunakan komputer. Struktur tiga dimensi protein PDB ID 6BAA di unduh dari RCSB. Struktur tersebut kemudian dibersihkan dari molekul air, ion, atau ligan yang tidak diperlukan dan diperbaiki *missing* residunya menggunakan PyMol. Jika terdapat ligan atau kofaktor, parameterisasi dilakukan menggunakan AutoSMILES atau plugin parameterisasi lain di YASARA. Selanjutnya, sistem ditempatkan dalam kotak simulasi 3D dan dikelilingi oleh molekul air (TIP3P) menggunakan perintah AddSolvent dengan ukuran margin 117 Å dan kemudian dinetralkan dengan ion Na<sup>+</sup> dan Cl<sup>-</sup> menggunakan AddIons. Setelah itu, energi sistem diminimisasi hingga gradien energi mencapai di bawah 0,239 kcal/mol/Å. Minimisasi energi dilakukan untuk menghilangkan tegangan struktural awal menggunakan algoritma seperti *steepest descent* atau *conjugate gradient*, pada penelitian ini yang digunakan *steepest descent*. Hal ini penting sebelum menjalankan simulasi dinamika molekuler. Lalu, sistem di-ekuilibrasikan secara termodinamika untuk menstabilkan suhu dan tekanan menggunakan kondisi NVT (*isothermal*) dan/atau NPT (*isothermal-isobaric*). Pada penelitian ini system diekuilibrasi selama 250 ps pada suhu 300 K. Simulasi dijalankan selama 100 ns menggunakan medan gaya AMBER14 dalam YASARA Dynamics.

#### **3.3 Tahapan penelitian**

Tahapan dalam penilitian ini adalah:

1. Persiapan Struktur Awal
2. Penambahan Pelarut dan Ion
3. Minimisasi Energi
4. Ekuilibrasi
5. Simulasi Produksi
6. Analisis Hasil

### **3.4 Prosedur Penelitian**

#### **3.4.1 Persiapan Struktur Protein dan Ligan**

Struktur protein target (reseptor  $\beta$  sel pankreas) diperoleh dari Protein Data Bank (PDB). Struktur ligan dan protein dibersihkan dari air, ion, dan ligan bawaan menggunakan YASARA Structure. Memperbaiki *missing* residu protein menggunakan PyMol.

#### **3.4.2 Pembuatan Sistem Simulasi**

Sistem kompleks ditempatkan dalam kotak simulasi 3D dengan margin 10 Å dari permukaan molekul yaitu, 117 Å. Molekul air (TIP3P) ditambahkan untuk solvasi. Ion  $\text{Na}^+$  dan  $\text{Cl}^-$  ditambahkan untuk menetralkan muatan sistem dan meniru kondisi fisiologis.

#### **3.4.3 Minimisasi Energi**

Dilakukan untuk menghilangkan tegangan struktural awal menggunakan algoritma *steepest descent*. Tujuannya adalah mencapai konfigurasi energi rendah sebelum simulasi dinamis.

#### **3.4.4 Ekuilibrasi Sistem**

Sistem diekuilibrasi pada suhu 298 K dan tekanan 1 atm menggunakan algoritma *Berendsen thermostat*. Simulasi ekuilibrasi dijalankan selama 250 ps (pikodetik).

#### **3.4.5 Simulasi Dinamika Molekuler**

Simulasi produksi dilakukan selama 100 ns (nanodetik). Menggunakan medan gaya AMBER14 yang telah dioptimasi untuk protein dan ligan. Simulasi dijalankan dalam kondisi *Periodic Boundary Conditions* (PBC) untuk meniru lingkungan biologis realistik.

#### **3.4.6 Analisis Data**

Hasil simulasi dianalisis menggunakan fitur analisis YASARA md\_analyze.mcr. Parameter yang dianalisis antara lain:

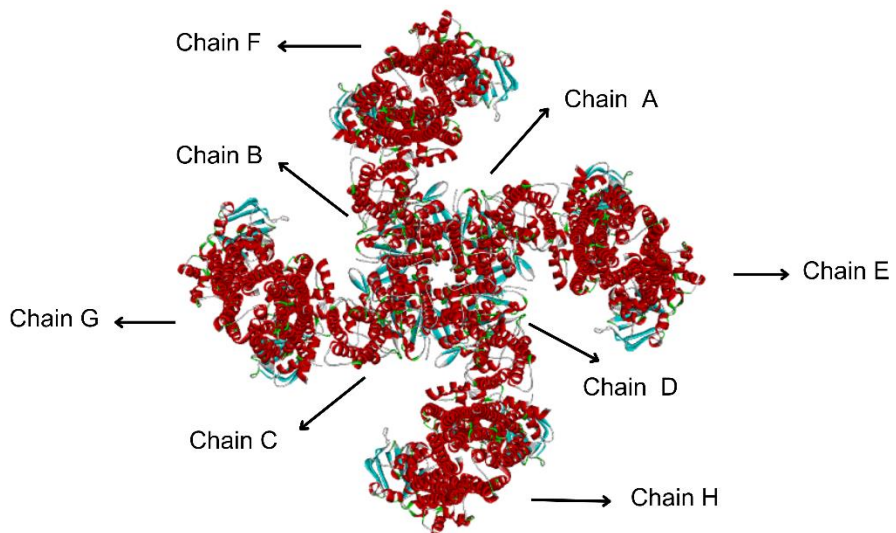
- RMSD (*Root Mean Square Deviation*): Menilai kestabilan kompleks selama simulasi.
- RMSF (*Root Mean Square Fluctuation*): Menilai fleksibilitas residu.
- Energi interaksi dan ikatan hidrogen: Mengevaluasi kekuatan dan konsistensi interaksi ligan-protein.

## BAB IV

### HASIL DAN PEMBAHASAN

#### 4.1 Preparasi Makromolekul Sel $\beta$ Pangkreas

Makromolekul sel  $\beta$  pangkreas didapat dari Protein Data Bank RCSB dengan kode 6BAA dalam format .pdb. (**Gambar 4.1**) adalah protein  $K_{ATP}$  yang terdiri dari Kir6.x dan SUR (*Sulfonylurea Receptor*). Makromolekul tersebut diperoleh dari metode *Cryo-Em* yang terikat dengan glibenklamid (GBC) dan ATP pada resolusi 3,63 Å. Protein ini tersusun dari 8 chain yaitu A, B, C, D, E, F, G, dan H. Hanya ada 4 chain yang terikat dengan subunit SUR1 yaitu E, F, G dan H, yang secara sekuens dan struktur adalah identik. Pada penelitian ini, hanya digunakan rantai H (chain H) sebagai objek untuk simulasi dinamika molekuler. Pemilihan chain H dilakukan karena alasan praktis, seperti modelnya yang lengkap, posisinya yang mewakili struktur keseluruhan, dan bentuknya yang stabil. Tidak ada perbedaan fungsi atau kekuatan ikatan antara chain H dan rantai SUR1 lainnya, karena semuanya memiliki bentuk yang simetris dan menjalankan fungsi biologis yang sama dalam kompleks protein. Oleh karena itu, penggunaan chain H saja sudah cukup untuk mewakili perilaku umum dari subunit SUR1 ketika dipelajari secara terpisah.



**Gambar 4. 1** Struktur kompleks *sulfonylurea* dan Glibenklamid

Selanjutnya makromolekul dipreparasi, fungsi dari preparasi struktur adalah untuk memisahkan makromolekul yang diinginkan dari residu-residu yang lain. Proses preparasi dilakukan menggunakan perangkat lunak PyMol yang digunakan untuk memperbaiki missing residu makromolekul. Setelah itu, menggunakan Chimera 1.17.3 untuk penambahan hydrogen dan muatan.

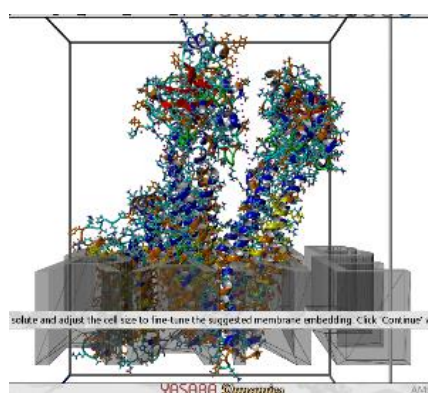
Langkah awal yang dilakukan adalah penambahan hidrogen yang berfungsi untuk reaksi molekuler yang terjadi selama penambatan, seperti ikatan hidrogen dan mengubah kondisi penambatan agar dapat mendekati pH tubuh. Metode AMBER ff14SB standar, bersama dengan metode AM1-BCC lainnya, dipilih sebagai metode penambahan muatan

yang ditambahkan ke dalam atom. Ilmuwan telah mempelajari metode ini secara komputasi dengan menggunakan pelarut model eksplisit untuk simulasi dinamika molekuler. Metode ini memungkinkan mereka menghitung sifat dan gerakan banyak molekul seperti protein , asam nukleat, dan molekul organik (Cieplak et al., 1995).

Dalam penelitian ini, digunakan glibenklamid yang sudah menempel pada makromolekulnya. Jadi, tidak perlu dipisahkan atau dipasang lagi (docking). Sehingga, setelah struktur dipersiapkan, langsung dilakukan simulasi dinamika molekuler dengan program YASARA.

#### 4.2 Simulasi Dinamika Molekuler

Simulasi dinamika molekuler (MD) dilakukan menggunakan perangkat lunak YASARA Structure untuk mengetahui kestabilan kompleks antara glibenklamid dengan protein target *sulfonylurea* pada kondisi fisiologis. Simulasi dijalankan selama 100 ns, durasi ini dipilih karena sudah cukup untuk melihat pergerakan dan perubahan struktur kompleks protein ligan. Dalam waktu ini, kita bisa menilai kestabilan interaksi, perubahan bentuk protein, serta pembentukan atau pelepasan ikatan hydrogen. Durasi ini juga sering digunakan dalam penelitian karena seimbang antara akurasi hasil dan efisiensi waktu komputasi. Durasi 100 ns dalam simulasi dinamika molekuler banyak digunakan karena dianggap cukup untuk menggambarkan kestabilan struktur dan interaksi protein-ligan secara menyeluruh (Kumari et al., 2014; Hollingsworth & Dror, 2018; Hospital et al., 2015). Oleh karena itu, penggunaan durasi 100 ns dalam penelitian ini sudah sesuai dengan praktik yang umum dilakukan dalam kajian dinamika molekuler. Menggunakan *force field* AMBER14 dan penyimpanan *snapshot* setiap 101 pikodetik. Kompleks 6BAA di tempatkan dalam *box* solvasi (**Gambar 4.2**) dengan molekul air TIP3P yang diberi ionisasi Na<sup>+</sup> dan Cl<sup>-</sup> untuk menetralkan muatan sistem.



**Gambar 4. 2** Simulasi sistem

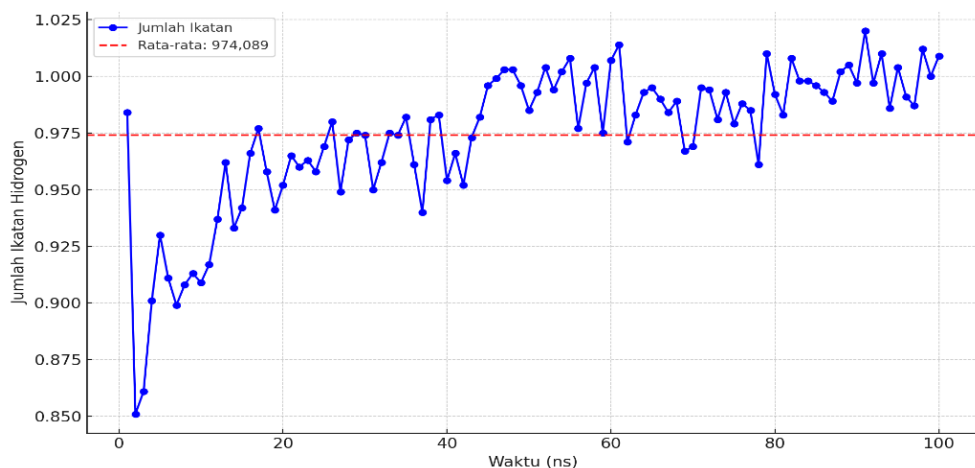
Proses simulasi diawali dengan mempersiapkan *script* md\_runmembrane.mcr yang berisi durasi, suhu dan tekanan. Selanjutnya mengoptimasi geometri dan minimisasi energi untuk memastikan bahwa kompleks berada dalam konformasi energi yang stabil. Setelah tahap ini, sistem dijalankan pada suhu konstan 300 K (sesuai dengan suhu tubuh manusia),

dengan tekanan atmosfer 1 bar, dan periode waktu integrasi 2 fs. Penggunaan kondisi batas periodik dan ansambel NPT menjaga keseimbangan tekanan dan suhu selama simulasi berlangsung. Setelah proses simulasi selesai, selanjutnya adalah analisa hasil dinamika molekuler dengan menjalankan md\_analyze.mcr. Hasil analisis akan tersimpan dalam file report.html yang berisi interaksi hidrogen, RMSD, dan RMSF.

### 4.3 Analisis Hasil Simulasi Dinamika Molekuler

#### 4.3.1 Dinamika Ikatan Hidrogen terhadap Waktu

Jumlah ikatan hidrogen merupakan indikator penting dalam stabilitas dan kekuatan interaksi antara ligan dan protein target. Semakin banyak ikatan hidrogen yang terbentuk secara stabil, semakin besar kemungkinan ligan tersebut efektif dalam mengikat target dan menimbulkan efek biologis (Sari et al., 2023).



**Gambar 4.3** Grafik Jumlah Ikatan Hidrogen

**Gambar 4.3** memperlihatkan perubahan jumlah ikatan hidrogen antara ligan dan reseptor *Sulfonylurea Receptor* (SUR) dalam sel beta pankreas selama simulasi dinamika molekuler selama 100 nanodetik (ns). Grafik ini memberikan informasi penting tentang seberapa stabil interaksi antara ligan dan reseptor selama waktu simulasi. Ikatan hidrogen adalah salah satu gaya tarik-menarik yang tidak melibatkan ikatan kovalen, tetapi tetap sangat penting untuk menjaga kekuatan dan kestabilan hubungan antara protein dan ligan.

Pada awal simulasi (antara 0 hingga 50 ns), jumlah ikatan hidrogen tampak berfluktuasi atau berubah-ubah cukup banyak. Hal ini kemungkinan disebabkan oleh proses penyesuaian sistem (disebut fase *equilibration*), dimana semua komponen dalam simulasi masih mencari keseimbangan. Setelah lewat dari 50 ns, jumlah ikatan hidrogen mulai stabil dan cenderung meningkat, lalu tetap stabil hingga akhir simulasi di 100 ns. Hal ini menunjukkan bahwa interaksi antara ligan dan reseptor menjadi lebih stabil seiring berjalananya waktu.

Fenomena ini menunjukkan bahwa ligan yang diuji mampu membentuk dan mempertahankan ikatan hidrogen yang kuat dan stabil dengan reseptor SUR selama simulasi.

Stabilitas ini menunjukkan bahwa ligan kemungkinan dapat tetap menempel pada bagian aktif dari reseptor SUR dalam waktu yang cukup lama secara biologis. Ikatan hidrogen adalah satu jenis interaksi non-kovalen yang penting dalam menjaga kestabilan kompleks antara molekul. Interaksi ini juga membantu menentukan seberapa kuat (afinitas) dan seberapa spesifik (selektivitas) ligan mengenali dan berikatan dengan targetnya (Pantsar & Poso, 2018).

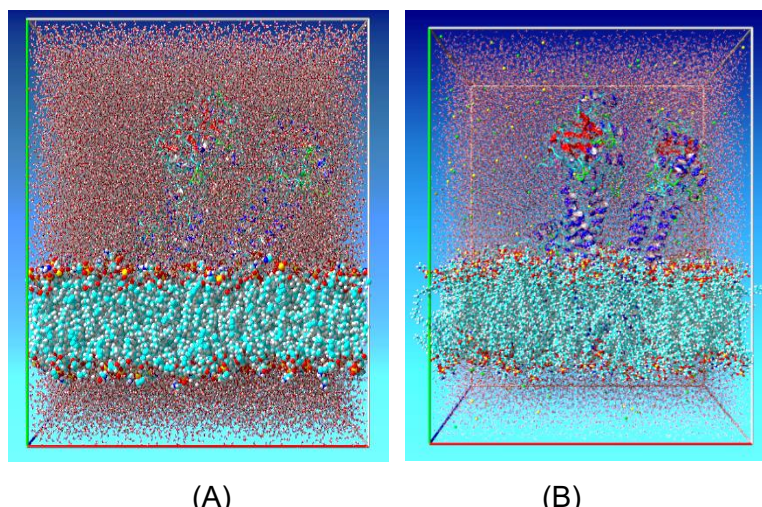
Hal ini menunjukkan tren stabil menandakan bahwa kompleks antara reseptor SUR dan ligan membentuk ikatan hidrogen yang cukup konsisten selama simulasi berlangsung. Hal ini merupakan tanda positif bahwa ligan memiliki kemampuan berikatan dengan kuat pada situs aktif reseptor SUR, sehingga mendukung dugaan bahwa molekul tersebut berpotensi menjadi obat antidiabetes yang efektif.

Jika terjadi peningkatan atau penurunan tajam jumlah ikatan hidrogen di titik-titik tertentu, itu bisa menunjukkan adanya perubahan bentuk (konformasi) atau penataan ulang ikatan akibat interaksi dinamis antar molekul. Fluktuasi semacam ini penting untuk diteliti lebih lanjut, misalnya dengan melihat gerakan molekul secara visual, agar kita bisa memahami bagaimana peran residu-residu penting dalam proses pengikatan ligan.

Secara keseluruhan, data ini memperkuat bahwa ikatan hidrogen adalah salah satu faktor kunci yang perlu diperhatikan dalam menilai standar suatu obat berdasarkan simulasi dinamika molekuler. Jika ikatan ini stabil, maka besar kemungkinan ligan dapat terus berinteraksi kuat dengan targetnya dalam lingkungan biologis.

#### 4.3.2 Root Mean Square Deviation (RMSD)

*Root Mean Square Deviation (RMSD)* merupakan salah satu metode penting dalam evaluasi kestabilan struktur protein atau kompleks protein-ligan selama simulasi dinamika molekular. Analisis RMSD kompleks-GBM didapatkan dengan `md_analyze.mcr` pada perangkat lunak YASARA. Dalam simulasi ini, nilai RMSD dihitung dengan membandingkan struktur pada setiap waktu dengan struktur awal sebagai acuan.



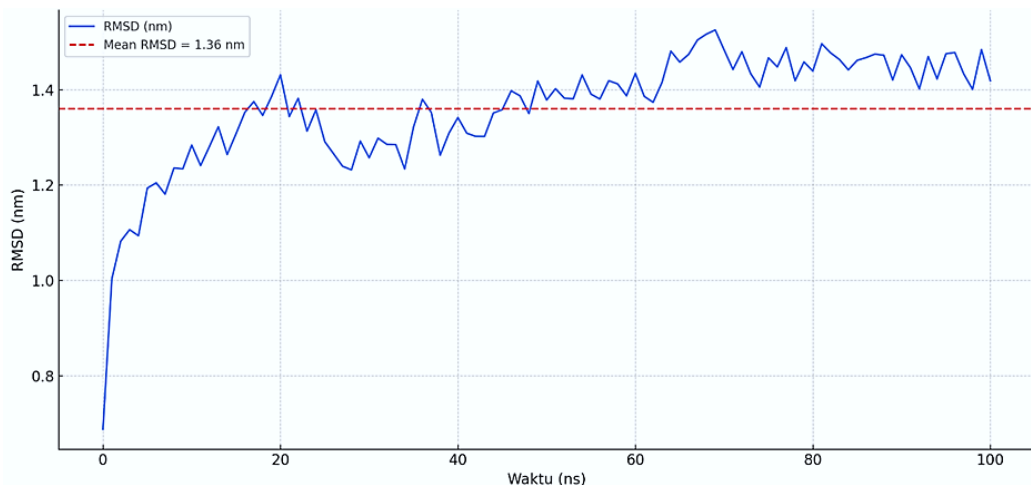
**Gambar 4. 4** Visualisasi kompleks 3D sulfonylurea pada (A) 0 ns dan (B) 100 ns

Nilai RMSD menunjukkan seberapa besar perubahan atau pergeseran struktur sistem selama simulasi berlangsung. **Gambar 4.4** merupakan representasi visual dari sistem simulasi dinamika molekuler kompleks antara protein SUR dan ligan di dalam lingkungan membran. Gambar (A) menunjukkan kondisi sistem pada awal simulasi dinamika molekuler, yaitu pada waktu 0 nanodetik (ns), sedangkan gambar (B) menunjukkan kondisi sistem setelah simulasi dijalankan selama 100 ns. Simulasi ini bertujuan untuk mempelajari bagaimana struktur protein, membran, dan molekul di sekitarnya berubah atau berinteraksi seiring waktu di lingkungan biologis yang disimulasikan secara virtual.

Pada Gambar 4.4 (A) dan 4.4 (B), warna merah kecil banyak yang tersebar di sekeliling sistem adalah molekul air, warna hijau kebiruan menunjukkan membran lipid bilayer, warna ungu menunjukkan transmembrane protein helix, yaitu bagian dari protein yang menembus membran lipid dan biasanya berbentuk  $\alpha$ -helix. Pada waktu 0 ns gambar (A), sistem baru saja melalui proses minimisasi energi menggunakan metode *steepest descent*, tanpa mempertimbangkan gaya elektrostatik. Tahap ini dilakukan untuk menghilangkan gaya tolak-menolak yang ekstrem akibat posisi awal atom-atom yang terlalu dekat, sebelum sistem dijalankan dalam simulasi dinamis (Oostenbrink, 2011).

Struktur pada kondisi ini masih terlihat kaku, terorganisir, dan belum mengalami perubahan konformasi signifikan. Membran lipid terlihat padat dan rata, sementara protein dan molekul air tersusun dalam posisi awal yang ditentukan secara sistematik. Ini menandakan bahwa sistem belum menerima pengaruh lingkungan seperti suhu, tekanan, dan interaksi antar-molekul. Setelah simulasi dijalankan selama 100 ns gambar (B), sistem menunjukkan perubahan yang signifikan. Struktur protein mulai menunjukkan perubahan konformasi, yaitu pergerakan dan fleksibilitas alami seperti yang terjadi dalam lingkungan biologis nyata (Karplus & McCammon, 2002).

Protein yang awalnya berada dalam keadaan statis kini mulai berinteraksi dengan membran lipid dan molekul air di sekitarnya, dan terlihat lebih menyebar. Membran lipid pun tidak lagi datar sempurna, melainkan menunjukkan fleksibilitas struktural akibat interaksi dengan molekul sekitarnya. Molekul air dan ion juga tersebar lebih alami mengikuti pergerakan termal dan interaksi molekul. Perbedaan antara kedua Gambar 4.4 (A) dan 4.4 (B) ini memperlihatkan pentingnya menjalankan simulasi dinamika molekuler dalam jangka waktu tertentu. Pada awal simulasi, sistem masih dalam bentuk “ideal” dan belum mencerminkan kondisi biologis yang sesungguhnya. Namun setelah proses simulasi dijalankan selama waktu tertentu (100 ns), sistem mulai menunjukkan perilaku nyata dari molekul biologis, seperti pergerakan, interaksi, dan perubahan konformasi.

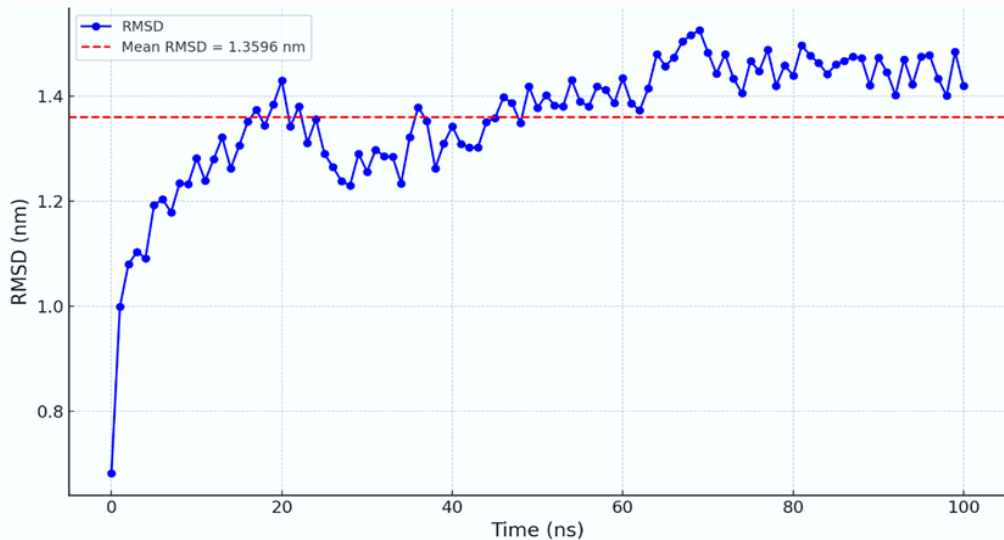


**Gambar 4. 5** Nilai RMSD Kompleks Sulfonylurea-Glibenklamid

Berdasarkan **Gambar 4.5**, diperoleh bahwa nilai RMSD pada waktu awal (0 ns) adalah 0,6884 nm. Seiring berjalannya waktu simulasi hingga 100 ns, nilai RMSD mengalami peningkatan dari 0 ns ke 4 ns dan kemudian mengalami kestabilan hingga akhir simulasi. Dilihat dari **Gambar 4.5**, terdapat tiga fase utama selama simulasi. Pada fase awal (0–10 ns), terjadi kenaikan tajam RMSD dari 0,69 nm menjadi lebih dari 1,2 nm. Peningkatan ini umum terjadi karena sistem sedang menyesuaikan diri dari struktur kristal ke kondisi simulasi yang melibatkan pelarut dan suhu tertentu, yang dikenal sebagai fase *equilibration*. Selanjutnya, pada fase transisi (10–30 ns), nilai RMSD mulai berfluktuasi namun tidak menunjukkan kenaikan yang tajam. Nilai RMSD cenderung stabil di sekitar 1,3 nm, yang mengindikasikan bahwa sistem sedang mencari bentuk struktur (konformasi) yang lebih stabil secara energi.

Kemudian, pada fase stabil (30–100 ns), nilai RMSD relatif konstan di antara 1,35 hingga 1,45 nm. Hal ini menunjukkan bahwa struktur kompleks telah mencapai kestabilan. Fase ini merupakan periode ideal untuk dilakukan analisis lebih lanjut, seperti interaksi antar molekul, energi ikatan, dan dinamika residu. Secara keseluruhan, nilai rata-rata RMSD selama simulasi adalah 1,36 nm, yang mencerminkan kestabilan struktur kompleks protein-ligan sepanjang waktu simulasi. Nilai ini termasuk dalam kisaran yang masih dianggap stabil untuk kompleks protein-ligan. Menurut Hospital *et al.* (2015), nilai RMSD hingga 2 nm masih tergolong stabil selama tidak menunjukkan tren peningkatan terus-menerus.

Ketika nilai RMSD meningkat, itu menunjukkan bahwa struktur protein mulai terbuka, dan ligan mulai mencari sisi ikatan atau koordinat yang sesuai pada protein. Sebaliknya, nilai RMSD yang mulai stabil menunjukkan bahwa protein telah mencapai konformasi maksimal setelah terikat dengan ligan, yang memungkinkan protein untuk mempertahankan posisinya. Selain itu, interaksi antar residu pada ligan memungkinkan protein untuk mempertahankan strurnya (Sari *et al.*, 2023).



**Gambar 4. 6** Nilai RMSD Ligan Glibenklamid

**Gambar 4.6** pada awal simulasi, nilai RMSD mengalami peningkatan yang cukup tajam. Hal ini menunjukkan bahwa ligan sedang mengalami penyesuaian terhadap lingkungan simulasi dan mencoba mencapai kestabilan struktur. Setelah beberapa nanodetik, nilai RMSD mulai menunjukkan pola yang lebih stabil, yang mengindikasikan bahwa sistem mulai mencapai kondisi kesetimbangan struktural. Garis merah putus-putus pada grafik menunjukkan nilai rata-rata RMSD selama simulasi, yaitu sebesar 1,3596 nm. Nilai ini menggambarkan deviasi rata-rata posisi struktur ligan terhadap struktur awalnya. Stabilitas nilai RMSD yang mendekati nilai rata-rata menunjukkan bahwa ligan telah mencapai kestabilan struktural.

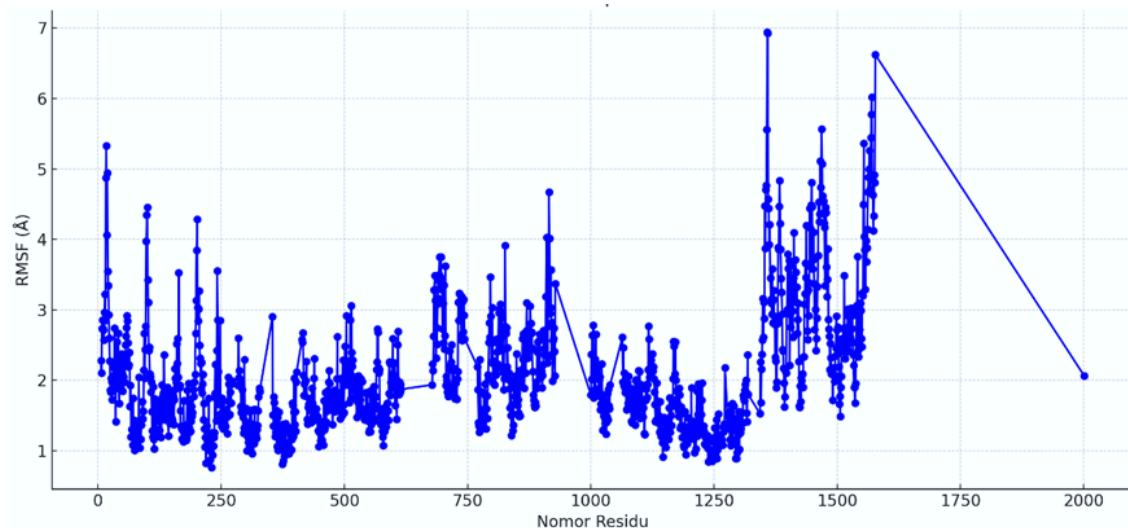
Menurut Hollingsworth dan Dror (2018), kestabilan ini penting sebagai indikator bahwa simulasi berjalan dengan baik dan tidak terjadi perubahan konformasi yang drastis. Jika selama simulasi nilai RMSD tetap berada di sekitar nilai rata-rata dan tidak menunjukkan fluktuasi besar, maka dapat disimpulkan bahwa struktur ligan relatif stabil. Sebaliknya, jika terdapat fluktuasi yang besar dan berulang, hal ini dapat menandakan adanya perubahan konformasi signifikan atau simulasi yang belum mencapai kondisi kesetimbangan. Secara keseluruhan, kestabilan nilai RMSD pada ligan glibenklamid menunjukkan bahwa ligan tersebut mampu mempertahankan bentuk dan konformasi awalnya ketika berinteraksi dengan protein target, dalam hal ini sel  $\beta$  pankreas. Hal ini memberikan indikasi bahwa interaksi yang terbentuk antara ligan dan protein cukup kuat dan stabil secara struktural sepanjang jalannya simulasi.

Hubungan antara RMSD dan jumlah ikatan hidrogen dalam simulasi ini juga saling mendukung. Nilai RMSD yang cenderung stabil pada kisaran 1,36 nm memperlihatkan bahwa struktur kompleks protein-ligan tidak mengalami perubahan besar selama simulasi. Hal ini selaras dengan tren jumlah ikatan hidrogen yang juga menunjukkan kestabilan setelah fase awal simulasi. Konsistensi ikatan hidrogen yang terbentuk memperkuat dugaan bahwa ligan tetap berada di dalam kantong aktif reseptor SUR dan mempertahankan interaksinya selama

waktu simulasi. Durrant & McCammon (2011) menyatakan bahwa kestabilan RMSD sering kali berkorelasi dengan terjadinya interaksi penting seperti ikatan hidrogen, yang merupakan indikator bahwa kompleks tetap berada dalam kondisi optimal secara struktural. Oleh karena itu, RMSD dan ikatan hidrogen dapat digunakan secara komplementer untuk menggambarkan kestabilan struktural dan interaksi spesifik dalam sistem simulasi dinamika molekuler ini.

#### 4.3.3 Root Mean Square Fluctuation (RMSF)

*Root Mean Square Fluctuation* (RMSF) adalah parameter dalam analisis simulasi dinamika molekuler yang digunakan untuk mengukur fluktuasi rata-rata dari posisi atom (biasanya atom C-alpha) dari tiap residu dalam struktur protein terhadap posisi rata-ratanya selama periode simulasi. RMSF memberikan informasi mengenai fleksibilitas atau kestabilan lokal struktur protein. RMSF mengukur seberapa besar atom dalam suatu residu berpindah dari posisi rata-ratanya selama waktu simulasi, sehingga menjadi indikator penting untuk mengetahui bagian protein yang bersifat kaku atau fleksibel (Grant et al., 2006)



**Gambar 4.7** Grafik RMSF

**Gambar 4.7** menunjukkan seberapa besar gerakan (fluktuasi) setiap bagian kecil (residu) dari protein selama simulasi dinamika molekuler. Simulasi ini dilakukan pada kompleks antara sel beta pankreas dan protein SUR, yang berperan penting sebagai target obat diabetes. Dari grafik terlihat bahwa sebagian besar bagian protein tidak banyak bergerak (nilai RMSF-nya rendah, sekitar 1 sampai 3 Å), artinya struktur protein cukup stabil selama simulasi berlangsung. Ini menunjukkan bahwa sebagian besar wilayah penting dari protein tetap dalam keadaan baik dan tidak berubah banyak.

Namun, ada juga beberapa bagian yang bergerak lebih bebas (nilai RMSF-nya lebih dari 5 Å), residu yang memiliki nilai RMSF paling tinggi (sekitar 1450–1600) menunjukkan bahwa bagian tersebut merupakan area paling fleksibel dari protein SUR1, khususnya pada rantai H di bagian ujung C-terminal. Bagian ini kemungkinan adalah loop atau penghubung

antar domain pada area TMD (*Transmembrane Domain*)/NBD (*Nucleotide-Binding Domain*), yang berperan penting dalam proses pengikatan ligan atau pembukaan saluran ion. Adanya fluktuasi besar di daerah ini mendukung dugaan bahwa di sinilah terjadi penyesuaian bentuk protein saat berinteraksi dengan glibenklamid dan ATP.

Dalam sistem kanal ion K<sub>ATP</sub>, protein SUR berperan penting dalam mengatur buka-tutupnya kanal sebagai respons terhadap keberadaan ligan. Fleksibilitas pada bagian tertentu dari protein sangat dibutuhkan agar perubahan bentuk (konformasi) bisa terjadi dengan lancar. Perubahan ini penting untuk menjalankan fungsi kanal dengan baik. Keseimbangan antara stabilitas dan fleksibilitas sangatlah penting. Struktur utama protein yang stabil menjaga agar kompleks tetap utuh dan tidak berubah bentuk secara keseluruhan, sementara bagian yang fleksibel memungkinkan penyesuaian bentuk yang diperlukan saat ligan berikatan atau lepas dari protein (Nussinov & Tsai, 2013).

Wilayah dengan nilai RMSF yang tinggi menunjukkan bagian yang lebih fleksibel. Bagian ini penting untuk diperhatikan dalam pengembangan obat, karena bisa menjadi area yang mengatur bagaimana protein berubah bentuk saat bekerja. Oleh karena itu, memahami bagian yang fleksibel dapat membantu merancang obat yang lebih efektif. Secara keseluruhan, hasil analisis RMSF menunjukkan bahwa kompleks antara sel beta dan protein SUR memiliki struktur yang cukup stabil, namun tetap menyisakan fleksibilitas di beberapa bagian. Fleksibilitas lokal ini bisa menjadi target pengembangan dalam desain obat, untuk meningkatkan kekuatan ikatan (afinitas) dan efektivitas kerja obat (efikasi), baik pada situs aktif maupun pada bagian lain dari protein yang juga memengaruhi aktivitasnya.

Secara keseluruhan, hasil ini menunjukkan bahwa kompleks senyawa antidiabetes dan protein SUR bersifat stabil secara dinamis dan mampu mempertahankan interaksi penting yang diperlukan untuk merangsang pelepasan insulin. Hal ini membuka peluang untuk merancang dan menguji senyawa baru yang memiliki struktur atau cara kerja serupa dengan glibenklamid sebagai alternatif atau pengembangan lebih lanjut dari terapi antidiabetes.

Ilmu pengetahuan dan teknologi merupakan bagian penting dalam ajaran Islam. Al-Qur'an mendorong manusia untuk berpikir, meneliti, dan memahami tanda-tanda kebesaran Allah melalui ciptaan-Nya, baik yang makro seperti langit dan bumi, maupun yang mikro seperti struktur tubuh manusia dan sel-selnya. Dalam konteks biokimia dan bioinformatika, dinamika molekuler merupakan pendekatan ilmiah yang digunakan untuk mempelajari pergerakan atom dan molekul dalam suatu sistem biologis. Salah satu ayat yang menjadi dasar spiritual dan filosofis bagi eksplorasi ilmiah adalah surah Ali-Imran ayat 190:

إِنَّ فِي خَلْقِ الْسَّمَاوَاتِ وَالْأَرْضِ وَاحْتِلَافِ الْأَيَّلِينَ وَالنَّهَارِ لَكَيْتُ لِأُولَئِكُو لِأَنَّهُمْ بِ

*Artinya: "Sesungguhnya dalam penciptaan langit dan bumi, dan pergantian malam dan siang terdapat tanda-tanda (kebesaran Allah) bagi orang yang berakal"*

Ayat di atas dalam tafsir Al-Mishbah menunjukkan bahwa Allah memerintahkan manusia untuk menggunakan akal dan pikirannya untuk menyelidiki alam semesta. Dalam hal ini, penelitian biomolekuler dan dinamika molekuler dapat dipandang sebagai bentuk tafakur terhadap struktur ciptaan-Nya pada tingkat mikroskopis. Selanjutnya, Al-Qur'an juga memberikan petunjuk mengenai proses biologis penciptaan manusia, yang secara tidak langsung relevan dengan bidang biokimia dan dinamika molekuler (Quraish Shihab, 2002). Allah berfirman dalam surah Al-Mu'minun ayat 12-14:

وَلَقَدْ خَلَقْنَا الْإِنْسَانَ مِنْ سُلَالَةٍ مِّنْ طِينٍ (۱۲) ثُمَّ جَعَلْنَاهُ نُطْفَةً فِي قَرَارٍ مَّكِينٍ (۱۳) ثُمَّ خَلَقْنَا الْتُّنْطُفَةَ عَلَقْمَةً فَخَلَقْنَا الْعَلَقَةَ مُضْعِعَةً فَخَلَقْنَا الْمُضْعِعَةَ عِظَمًا فَكَسَوْنَا الْعِظَمَ لَهُمَا ثُمَّ أَنْشَأْنَاهُ خُلْفًا إِعْلَمَ فَبَارَكَ اللَّهُ أَحْسَنُ الْحَلِيقَيْنَ (۱۴)

Artinya: "Dan sungguh, Kami telah menciptakan manusia dari saripati (berasal) dari tanah (12) Kemudian Kami menjadikannya air mani (yang disimpan) dalam tempat yang kokoh (rahim) (13) Kemudian, air mani itu Kami jadikan sesuatu yang melekat, lalu sesuatu yang melekat itu Kami jadikan segumpal daging, dan segumpal daging itu Kami jadikan tulang belulang, lalu tulang belulang itu Kami bungkus dengan daging. Kemudian, Kami menjadikannya makhluk yang (berbentuk) lain. Mahasuci Allah, Pencipta yang paling baik (15)"

Dalam Tafsir Al-Maraghi dijelaskan bahwa ayat ini menunjukkan proses biologis bertahap dari zat paling kecil (sperma) hingga menjadi manusia yang sempurna. Hal ini sejalan dengan pendekatan biologi molekuler modern, di mana struktur dan dinamika molekul seperti protein, enzim, dan DNA mempengaruhi perkembangan dan fungsi biologis (Al-Maraghi, 1993). Dalam pemikiran ilmuwan Muslim klasik, seperti Ibn Sina (Avicenna) dalam karyanya *Al-Qanun fi al-Tibb* (*Canon of Medicine*), ditegaskan bahwa penelitian terhadap struktur tubuh dan zat penyusun makhluk hidup penting untuk memahami kesehatan dan pengobatan. Walau belum menggunakan istilah molekul seperti saat ini, pendekatan filosofis dan observasional Ibn Sina sangat mendekati prinsip analisis struktural dan fungsional, yang menjadi dasar dinamika molekuler saat ini (Ibn Sina, 2005)

Dalam Tafsir Ibnu Katsir ayat-ayat ini dijelaskan sebagai bentuk keagungan Allah dalam menciptakan manusia secara bertahap dan sangat detail, dari setetes air mani hingga menjadi makhluk hidup yang sempurna. Ibnu Katsir menegaskan bahwa setiap tahapan ini bukanlah terjadi secara kebetulan, tetapi dengan ketetapan dan ilmu Allah yang sempurna, yang dalam pandangan sains modern bisa dimaknai sebagai proses biologis dan molekuler yang sangat kompleks dan teratur (Ibnu Katsir, 2000).

Dari ayat-ayat Al-Qur'an, tafsir, dan pemikiran ulama klasik, jelas bahwa Islam sangat mendorong pengembangan ilmu pengetahuan yang berbasis pada pengamatan dan penelitian mendalam. Penelitian dalam bidang dinamika molekuler tidak hanya menjadi upaya akademik, tetapi juga merupakan bagian dari ibadah ilmiah dan bentuk tafakur terhadap keagungan ciptaan Allah SWT.

## **BAB V**

### **PENUTUP**

#### **5.1 Kesimpulan**

Berdasarkan hasil simulasi dinamika molekuler yang telah dilakukan terhadap kompleks antara ligan dan reseptor *Sulfonylurea Receptor* (SUR) pada sel beta pankreas, dapat disimpulkan bahwa:

1. Analisis *Root Mean Square Deviation* (RMSD) kompleks menunjukkan nilai rata-rata RMSD sebesar 1,36 nm selama simulasi 100 ns, yang mencerminkan kestabilan struktural relatif dengan fluktuasi yang dapat diterima untuk sistem biomolekuler. Demikian juga visualisasi secara 3D tampak kestabilan struktur.
2. Analisis *Root Mean Square Fluctuation* (RMSF) menunjukkan bahwa sebagian besar residu memiliki nilai RMSF di bawah 3 Å, yang menunjukkan bahwa fluktuasi atom per residu cukup rendah, kecuali pada beberapa area domain terminal atau loop yang memang secara alami lebih fleksibel. Pola ini menunjukkan bahwa kompleks tidak mengalami perubahan konformasi besar yang dapat mengganggu fungsi biologisnya. Stabilitas ini juga didukung oleh pembentukan jumlah ikatan hidrogen yang tinggi dan stabil, yaitu berkisar di sekitar 1 juta ikatan hidrogen selama periode simulasi 100 ns. Hal ini mengindikasikan bahwa interaksi intermolekul antara ligan dan reseptor kuat dan bertahan dalam waktu lama.

#### **5.2 Saran**

Disarankan untuk melakukan analisis lanjutan berupa perhitungan energi bebas ikatan (misalnya dengan metode MM-PBSA atau MM-GBSA) untuk mengetahui informasi kuantitatif mengenai afinitas ligan terhadap reseptor SUR secara lebih mendalam.



## DAFTAR PUSTAKA

- ADA (American Diabetes Association)., (2010). *Diagnosis and Classification of Diabetes Mellitus. Diabetes Care* Vol.33: S62-9
- Alinu Mulki, M., & Malau, J. (2022). REVIEW: Mekanisme Molekuler Obat Glibenklamid (Obat Anti Diabetes TIPE-2) Sebagai Target Aksi Obat Kanal Ion Kalsium. <https://www.researchgate.net/publication/366302541>
- Ali A, Trehan A, Ullah Z, Aqil M, Sultana Y. (2011). *Matrix type transdermal therapeutic systems of glibenclamide: formulation, ex vivo and in vivo characterization*. Drug Discov Ther. 5(1):53-9. doi: 10.5582/ddt. v5.1.53
- Al-Maraghi, A. M. (1993). *Tafsir Al-Maraghi* (Terj. Soebianto). Jakarta: Pustaka Azzam.
- Ardiani HE, Permatasari TAE, Sugiatmi S. (2021). *Obesitas, Pola Diet, dan Aktifitas Fisik dalam Penanganan Diabetes Melitus pada Masa Pandemi Covid-19*. Muhammadiyah J Nutr Food Sci. 2(1): Hal 1.
- Ariesto, M., Widiyatmoko, R., Dinamika, S., Reaktif, M., Amorfisasi, P., & Kristal, S. (2017). Proses Amorfisasi Silikon Kristal. *Jurnal Sains Materi Indonesia*, 18, 123–128.
- Astuti, A. D., dan Mutiara, A. B. 2011. Simulasi dinamika molekuler protein dengan aplikasi gromacs. *Teknik Informatika dan Industri*, 1(2), 1–9.
- Az-Zuhaili, & Wahbah. (2011). *At-Tib an-Nabawi (Pengobatan Nabi)*. Pustaka Al-Kautsar.
- Brooijmans, N., & Kuntz, ID. (2003). *Molecular Recognition and Docking Algorithms*. *Annu Rev Biophys Biomol Struct*. 32:335-373.
- Burke, M. A., Mutharasan, R. K., & Ardehali, H. (2008). The sulfonylurea receptor, an atypical ATP-binding cassette protein, and its regulation of the KATP channel. Dalam *Circulation Research* (Vol. 102, Nomor 2, hlm. 164–176). <https://doi.org/10.1161/CIRCRESAHA.107.165324>
- Cieplak, P., Cornell, W. D., Bayly, C., & Kollman, P. A. (1995). *Multiconformational RESP Methodology to Biopolymers : Charge Derivation for*. 16(1).
- Dailey G. (2004). *New strategies for basal insulin treatment in type 2 diabetes mellitus*. Clin. Ther 26: 6, 889-901
- Dipojono, H. K. (2001). *Simulasi Dinamika Molekul (Sebuah Pengantar)*. Prosiding Seminar Nasional Hamburan Neutron Dan Sinar X Ke-4, 1–12.
- Filipe, H. A. L., dan Loura, L. M. S. (2022). Molecular Dynamics Simulations: Advances and Applications. *Molecules*, 27(7), 37–47.
- Gang, C. (2008). *Transpor dan Konversi Energi Nanoskala*. Penerbit: ITB Bandung.
- Gribble, F., Tucker, S. J., Seino, S., & Ashcroft, F. (1998). Tissue Specificity of Sulphonylureas: Studies On Cloned Cardiac and Beta-Cell KATP Channels. *Diabetes*, 47(9), 1412-1418.
- Grant, B. J., Rodrigues, A. P. C., ElSawy, K. M., McCammon, J. A., & Caves, L. S. D. (2006). Bio3d: An R package for the comparative analysis of protein structures. *Bioinformatics*, 22(21), 2695–2696. <https://doi.org/10.1093/bioinformatics/btl461>

- Hauser, A. S., Chavali, S., Masuho, I., Jahn, L. J., Martemyanov, K. A., Gloriam, D. E., & Babu, M. M. (2018). Pharmacogenomics of GPCR Drug Targets. *Cell*, 172(1–2), 41–54.e19. <https://doi.org/10.1016/j.cell.2017.11.033>
- Hollingsworth, S. A., & Dror, R. O. (2018). Molecular Dynamics Simulation for All. *Neuron*, 99(6), 1129–1143. <https://doi.org/10.1016/j.neuron.2018.08.011>
- Hospital, A., Goñi, J. R., Orozco, M., & Gelpí, J. L. (2015). Molecular dynamics simulations: Advances and applications. Dalam *Advances and Applications in Bioinformatics and Chemistry* (Vol. 8, Nomor 1, hlm. 37–47). Dove Medical Press Ltd. <https://doi.org/10.2147/AABC.S70333>
- Humphrey, W., Dalke, A., dan Schulten, K. (1996). *VMD: Visual Molecular Dynamics. Journal of Molecular Graphics*, 122, 694–701.
- Husyanti, R. L. (2016). Efektivitas Taurin Terhadap Penurunan Kadar Glukosa Darah Mencit Jantan (*Mus musculus*) yang Diinduksi Aloksan. Skripsi. Lampung: Jurusan Biologi Fakultas Mipa Universitas Lampung.
- Ibn Sina. (2005). *Al-Qanun fi al-Tibb* (Canon of Medicine). Beirut: Dar al-Kutub al-Ilmiyyah. (Atau versi lain jika kamu pakai terjemahan/versi Indonesia.)
- Ibnu Katsir. (2000). *Tafsir Ibnu Katsir* (Terj. M. Abdul Ghoffar et al.). Pustaka Imam Syafi'i.
- Kalra, S., & Gupta, Y. (2015). Letter to The Editor: Comment On “The Impact of Chronic Liraglutide Therapy on Glucagon Secretion in Type 2 Diabetes: Insight from The LIBRA Trial” by Kramer, C. K, et al. *The Journal of Clinical Endocrinology & Metabolism*, 100(11), 116–117.
- Karplus, M., & McCammon, J. A. (2002). Molecular dynamics simulations of biomolecules. *Nature Structural Biology*, 9(9), 646–652. <https://doi.org/10.1038/nsb0902-646>
- Kurniawaty, E. (2014). Diabetes Mellitus. Dalam *Evi Kurniawaty JUKE* (Vol. 4, Nomor 7).
- Krieger, E., & Vriend, G. (2014). YASARA View - molecular graphics for all devices - from smartphones to workstations. *Bioinformatics (Oxford, England)*, 30(20), 2981–2982. <https://doi.org/10.1093/bioinformatics/btu426>
- Krieger, E., & Vriend, G. (2015). New ways to boost molecular dynamics simulations. *Journal of Computational Chemistry*, 36(13), 996–1007. <https://doi.org/10.1002/jcc.23899>
- Kumari, R., Kumar, R., & Lynn, A. (2014). G-mmPbsa -A GROMACS tool for high-throughput MM-PBSA calculations. *Journal of Chemical Information and Modeling*, 54(7), 1951–1962. <https://doi.org/10.1021/ci500020m>
- Leach, Andrew R., (2001). *Molecular Modelling: Principles and Applications*. 2<sup>nd</sup> edition. Pearson Education Limited.
- Lee, S. Y., Park, S. L., Hwang, J. T., Yi, S. H., Young-DoNam, & Lim, S. I. (2012). Antidiabetic Effect of Morinda citrifolia (Noni) Fermented by *Cheonggukjang* in KK-Ay Diabetic Mice. *Evidence-Based Complementary and Alternative Medicine*, 2012(2012), 1–8.
- Lemkul J. (2015). Molecular Simulation Methods with Gromacs. Gromacs. org. 1–14. Available from: <http://www.gromacs.org/@api/deki/files/198/=gmx-tutorial.pdf>
- Lestari, Zulkarnain, & ST Sijid. Aisyah. (2021). Diabetes melitus: Review Etiologi, Patofisiologi, Gejala, Penyebab, Cara Pemeriksaan, Cara Pengobatan dan Cara Pencegahan.

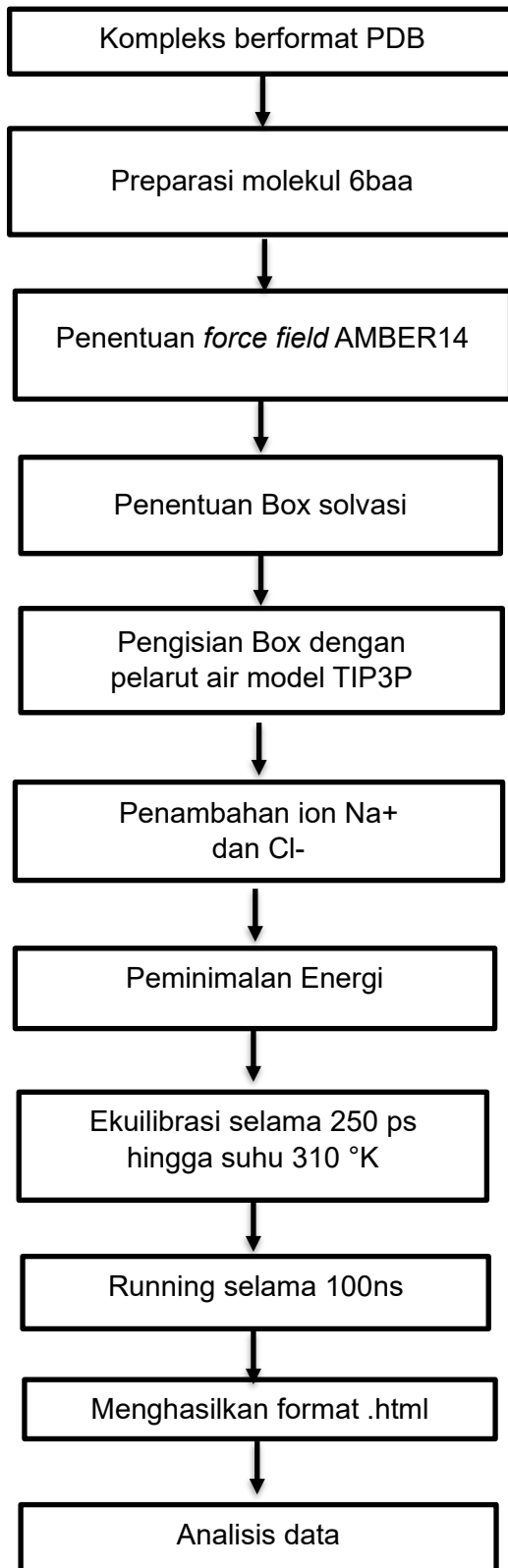
- Prosiding Biologi Achieving the Sustainable Development Goals with Biodiversity in Confronting Climate Change. <http://journal.uin-alauddin.ac.id/index.php/psb>
- Martin, G. M., Kandasamy, B., DiMaio, F., Yoshioka, C., & Shyng, S-L. (2017).
- Nussinov, R., & Tsai, C. J. (2013). Allostery in disease and in drug discovery. *Cell*, 153(2), 293–305.
- Title: Anti-Diabetic Drug Binding Site in KATP Channels Revealed by Cryo-EM. *Biophysics and Structural Biology*, (2017). 1-27.
- Makarewicz, T., dan Kaźmierkiewicz, R. (2013). Molecular dynamics simulation by GROMACS using GUI plugin for PyMOL. *Journal of Chemical Information and Modeling*, 53(5), 1229–1234.
- Mizzi, L., Attard, D., Gatt, R., Dudek, K. K., Ellul, B., & Grima, J. N. (2020). Implementation of periodic boundary conditions for loading of mechanical metamaterials and other complex geometric microstructures using finite element analysis. *Engineering with Computers*, (0123456789). <https://doi.org/10.1007/s00366-019-00910-1>
- Mutalik S, Udupa N. (2004). Glibenclamide transdermal patches: physicochemical, pharmacodynamic, and pharmacokinetic evaluations. *J Pharm Sci*. 93(6):1577-94. doi: 10.1002/jps.20058, PMID 15124215
- Nichols CG. (2006). *KATP channels as molecular sensors of cellular metabolism*. Nature. 440: 470–476. Crossref. PubMed.
- Nugroho, A. E. (2006). Review: Hewan Percobaan Diabetes Mellitus: Patologi dan Mekanisme Aksi Diabetogenik. *Biodiversitas*, 7(4), 378-382.
- Oh, C-S., Kohanim, S., Kong, F-L., Song, H-C., Huyah, N., Mendez, R., Chanda, M., Kim, E-E., & Yang, D. J. (2012). Sulfonylurea Receptor as A Target for Molecular Imaging of Pncreatic Beta Cells with 99mTc- DTPA-glipizide. *Annals of Nuclear Medicine*, 26(2012), 253-261.
- Oostenbrink, C. (2011). Molecular dynamics simulations. In *Encyclopedia of Biophysics* (pp. 1474–1477). Springer. [https://doi.org/10.1007/978-3-642-16712-6\\_941](https://doi.org/10.1007/978-3-642-16712-6_941)
- Ozougwu, J.C., Obimba, K.C., Belonwu, C.D., & Unakalamba, C.B. (2013). The pathogenesis and pathophysiology of type 1 and type 2 diabetes mellitus. *Journal of Physiology and Pathophysiology*. vol. 4(4): 6-14. doi: 10.5897/JPAP2013.0001 ISSN 2141-260X.
- Prayoga, H., Yulianti, Y., & Riyanto, A. (2018). Analisis Dinamika Molekul Protein Lysozyme Putih Telur Dengan Model Potensial Lennard-Jones Menggunakan Aplikasi Gromacs. Dalam Jurnal Teori dan Aplikasi Fisika (Vol. 06, Nomor 02).
- Ramadhan R. A. K. (2021). Studi Docking Senyawa-Senyawa Aktif Buah Pare (*Momordica charantia* L.) Golongan Charantoside Pada Reseptor Sulfonylurea Sel Beta Pangreas. Skripsi. Program Studi Kimia, Fakultas Sains dan teknologi UIN Maulana Malik Ibrahim Malang.
- Pettersen, E. F., Goddard, T. D., Huang, C. C., Couch, G. S., Greenblatt, D. M., Meng, E. C., & Ferrin, T. E. (2004). UCSF Chimera - A visualization system for exploratory research and analysis. *Journal of Computational Chemistry*, 25(13), 1605–1612. <https://doi.org/10.1002/jcc.20084>
- Quraish Shihab, M. (2002). *Tafsir Al-Mishbah: Pesan, Kesan dan Keserasian al-Qur'an* (Vol.

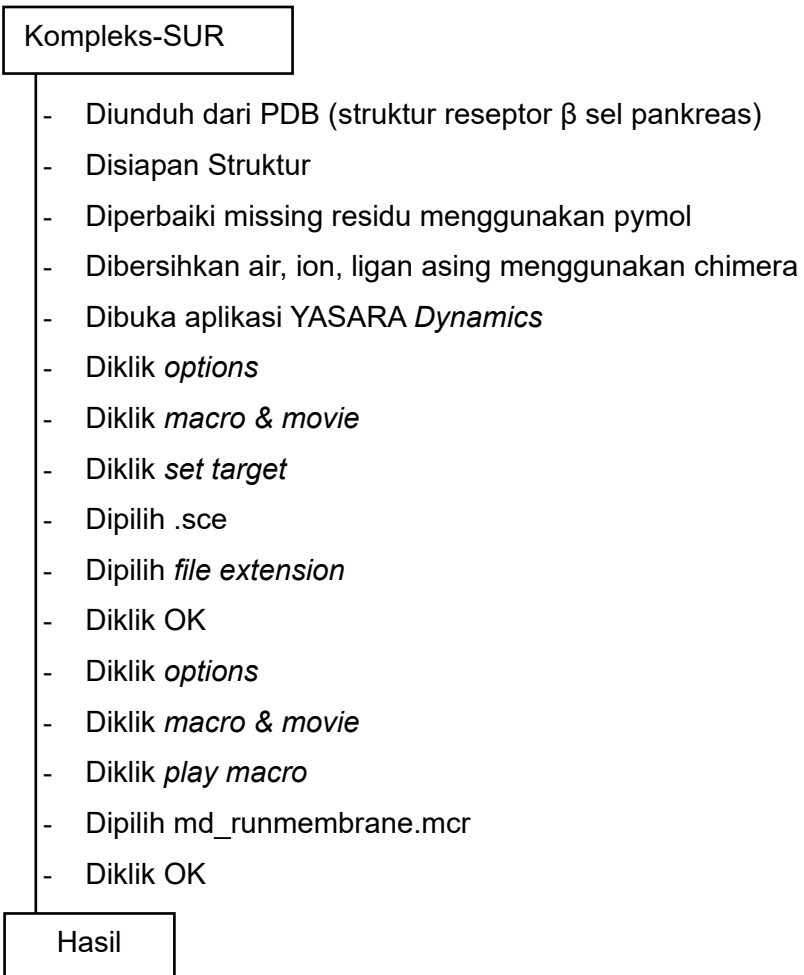
9). Jakarta: Lentera Hati.

- Sari, B. L., Suhendar, U., & Hamdani, R. (2023). PENAMBATAN DAN SIMULASI DINAMIKA MOLEKULER SENYAWA BIOAKTIF TANAMAN BAWANG DAYAK (Eleutherine Sp.) SEBAGAI INHIBITOR KAPSID VIRUS HEPATITIS B. *Jurnal Farmamedika (Pharmamedica Journal)*, 8(2), 103–110. <https://doi.org/10.47219/ath.v8i2.201>
- Satoh, A. (2003). Chapter 2 Statistical ensembles. *Studies in Interface Science*, 17, 7–18.
- Sismanto & Hamidah., (2022). Kajian Ayat-Ayat Syifa dalam Perspektif Tafsir dan Implementasi dalam Pengobatan Ruqyah. *Jurnal STUDIA QURANIKA*, Vol.6, No.2
- Sharma, S., Kumar, P., dan Chandra, R. (2019). *Introduction to molecular dynamics. In Molecular Dynamics Simulation of Nanocomposites using BIOVIA Materials Studio, Lammps and Gromacs*. Elsevier Inc
- Sharma, J., Kumar Bhardwaj, V., Singh, R., Rajendran, V., Purohit, R., dan Kumar, S. (2021). An in-silico evaluation of different bioactive molecules of tea for their inhibition potency against non structural protein-15 of SARS-CoV-2. *Food Chemistry*, 346, 128933.
- Stote, R. (2011). Juli Molecular Dynamics Simulation CHARMM [Online] [http://www.ch.embnet.org/MD\\_tutorial/](http://www.ch.embnet.org/MD_tutorial/)
- Sudoyo AW, Setiyohadi B, Alwi I, Simadibrata KM, Setiati S. (2010). *Buku ajar ilmu penyakit dalam jilid III*. Edisi ke5. Jakarta: Balai Penerbit Fakultas Kedokteran Universitas Indonesia.
- Suherman, S.K. (2007). *Adrenokortikotropin, Adrenokortikosteroid, Analog-Sintetik dan Antagonisnya. Dalam Farmakologi dan Terapi*. Edisi Kelima. Jakarta: Penerbit Bagian Farmakologi FKUI. Hal 486-487, 492-493.
- Sudoyo AW, Setiyohadi B, Alwi I, Simadibrata M, Setiati S. (2014). *Buku ajar ilmu penyakit dalam*. 6th ed. Jakarta: Internal Publishing.
- Tandi J. (2017). Tinjauan Pola Pengobatan Gastritis Pada Pasien Rawat Inap Rsud Luwuk. *Pharmacon*. 6(3). Hal 356.
- Tresnawati, W., & Amelia Saputri, F. (t.t.). *Farmaka REVIEW: ANALISIS PENENTUAN GLIBENKLAMID DALAM PHARMACEUTICAL DOSAGE FORMS*.
- Van Der Spoel, D., Lindahl, E., Hess, B., Groenhof, G., Mark, A. E., dan Berendsen, H. J. C. (2005). GROMACS: Fast, flexible, and free. *Journal of Computational Chemistry*, 26(16), 1701–1718.
- Vaught, A. (1996). Graphing with Gnuplot and Xmgr. *Linux Journal*, 1996(28).
- Wells, G. B., Dipiro, T. J., Schwinghammer, L. T., & Dipiro, V. C. (2015). *Pharmacotherapy Handbook Ninth Edition*. New York: McGraw-Hill Education
- Yuan, S. (2017). *Using PyMOL as a platform for computational drug design*. September. <https://doi.org/10.1002/wcms.1298>

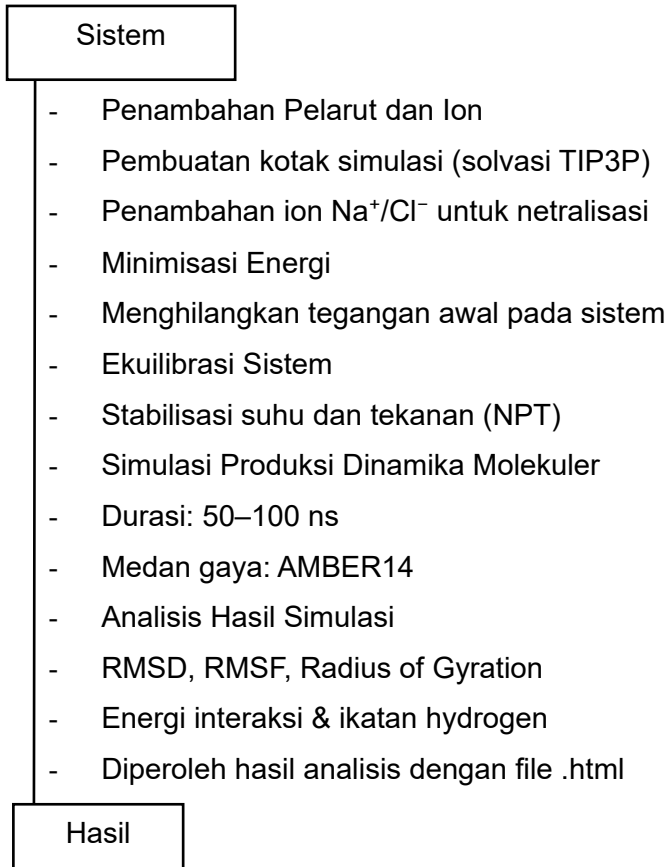
## LAMPIRAN

### Lampiran 1. Rancangan Penelitian



**Lampiran 2. Diagram Alir****2.2 Tahap Awal**

## 2.2 *Running*



## Lampiran 3. Script YASARA

### L.3.1 md\_runmembrane.mcr

```

# YASARA MACRO
# TOPIC:      3. Molecular Dynamics
# TITLE:       Running a molecular dynamics simulation of a membrane
protein with normal or fast speed
# REQUIRES:   Dynamics
# AUTHOR:     Elmar Krieger
# LICENSE:    GPL
# DESCRIPTION: This macro sets up and runs a simulation of a membrane
protein. It scans the protein for secondary structure elements with
hydrophobic surface residues, orients it accordingly and embeds it in a
membrane of adjustable lipid composition. Finally a 250 ps restrained
equilibration simulation is run, which ensures that the membrane can
adapt to the newly embedded protein. Then the real simulation starts.

# Parameter section - adjust as needed, but NOTE that some changes only
take
# effect if you start an entirely new simulation, not if you continue
an existing one.
#
=====
=====

# The structure to simulate must be present with a .pdb or .sce
extension.
# If a .sce (=YASARA scene) file is present, the membrane and cell must
have been added.
# You can either set the target structure by clicking on Options >
Macro > Set target,
# by providing it as command line argument (see docs at Essentials >
The command line),
# or by uncommenting the line below and specifying it directly.
#MacroTarget = 'c:\MyProject\1crn'

# Extension of the cell on each side of the protein in the membrane
plane (=XZ plane)
# '15' means that the membrane will be 30 A larger than the protein
memextension=15

# Extension of the cell on each side of the protein along the third
(water) axis (=Y-axis)
# '10' means that the cell will be 20 A higher than the protein
waterextension=10

# Flag to use a square membrane. This makes sure that also elongated
proteins
# embedded in the membrane can rotate freely during very long
simulations. If
# only a short simulation is planned, it can be speeded up by setting
the flag
# to 0, creating a rectangular membrane that fits the solute more
tightly.
square=1

# Membrane composition: The percentages of phosphatidyl-ethanolamine
(PEA), phosphatidyl-

```

```

# choline (PCH, also known as POPC), phosphatidyl-serine (PSE) and
# cholesterol (CLR),
# must sum up to 100 in each column. All lipids are 1-palmitoyl, 2-
oleoyl by default.
# The left column is for the bottom side of the membrane, the right
column is for the top side.
# When YASARA shows you the suggested membrane embedding, you need to
check that the protein
# orientation matches the membrane composition. If not, flip left and
right columns below and
# rerun the macro. Note that PCH has a large headgroup which cannot
form hydrogen bonds, and
# thus reduces membrane stability. PEA is the most stable membrane
lipid.
# Percentage of phosphatidyl-ethanolamine, bottom and top membrane side
PEApercent=100,100
# Percentage of phosphatidyl-choline, bottom and top membrane side
PCHpercent= 0, 0
# Percentage of phosphatidyl-serine, bottom and top membrane side
PSEpercent= 0, 0
# Percentage of cholesterol, bottom and top membrane side
CLRpercent= 0, 0

# Or uncomment below to use your own membrane template with 10x10
lipids on each side,
# see membrane simulation recipes for details. (If
usermemname='YourChoice', the membrane
# must be saved as yasara/yob/membrane_YourChoice.yob)
usermemname=''
#usermemsize=77.21,73.24

# pH at which the simulation should be run, by default physiological pH
7.4.
ph=7.4

# The ion concentration as a mass fraction, here we use 0.9% NaCl
# (physiological solution)
ions='Na,Cl,0.9'

# Forcefield to use (this is a YASARA command, so no '=' used)
ForceField AMBER14

# Simulation temperature, which also serves as the random number seed
# (see Temp command).
# If you increase the temperature significantly by X%, you also need to
reduce the timestep by X%
# by changing the 'tslist' that matches your speed below.
temperature='310K'

# Pressure at which the simulation should be run [bar].
pressure=1

# Cutoff
cutoff=8

# Equilibration period in picoseconds:
# During this initial equilibration phase, the membrane is artificially
stabilized
# so that it can repack and cover the solute, while solvent molecules
are kept outside.
equiperiod=250

```

```

# Delay for animations, 1=maximum speed
delay=100

# The format used to save the trajectories: YASARA 'sim', GROMACS 'xtc'
# or AMBER 'mdcrd'.
# If you don't pick 'sim', a single *.sim restart file will be saved
# too, since the other
# two formats don't contain velocities, only positions.
format='sim'

# Duration of the complete simulation, must be longer than equiperiod
# above.
# Alternatively use e.g. duration=5000 to simulate for 5000 picoseconds
# 'if !count duration' simply checks if variable 'duration' as been
# defined previously (e.g. by an including macro)
if !count duration
    duration='100000'

# The simulation speed, either 'slow' (2*1 fs timestep), 'normal'
# (2*1.25 fs timestep) or
# 'fast' (maximize performance with 2*2.5 fs timestep and constraints)
# Do not use 'fast' if you simulate incorrect molecules (that would not
# be stable in reality)
# 'if !count speed' simply checks if variable 'speed' as been defined
# previously (e.g. by an including macro)
if !count speed
    speed='normal'

# The save interval for snapshots. Normally you don't need more than
# 500-1000 snapshots
# of your simulation, since that's the resolution limit of a typical
# figure in a journal.
if speed=='fast'
    # Fast speed, save simulation snapshots every 250000 fs, i.e. 250 ps.
    saveinterval=250000
else
    # Slow or normal speed, save simulation snapshots every 100000 fs,
    # i.e. 100 ps.
    saveinterval=100000

# Flag if the protein's membrane embedding needs to be confirmed
confirmneeded=1

# Normally no change required below this point
# =====

RequireVersion 15.1.1

# Treat all simulation warnings as errors that stop the macro
WarnIsError On

# Membrane simulations are always periodic
Boundary periodic

# Do we have a target?
if MacroTarget==''
    RaiseError "This macro requires a target. Either edit the macro file
or click Options > Macro > Set target to choose a target structure"

```

```

# When run as a macro in text mode, add configuration details to log
file
if runWithMacro and ConsoleMode
    Processors

Clear
Console off
SimSteps 1,1
# Do we already have a scene with water?
waterscene = FileSize (MacroTarget)_water.sce
if waterscene
    LoadSce (MacroTarget)_water
else
    # No scene with water present yet
    # Do we have a scene with the protein embedded in the membrane?
    scene = FileSize (MacroTarget).sce
    if scene
        # Yes, protein with membrane is already present
        LoadSce (MacroTarget)
        # Search for the membrane
        c = CountObj Membrane
        if c!=1
            # No membrane object, this must be a user-provided initial scene
            to prevent modifications like Clean/OptHyd, load later
            scene=0
        if !scene
            # No membrane scene present yet
            # Has the user already oriented the protein inside the membrane
            interactively?
            oriscene = FileSize (MacroTarget)_ori.sce
            if oriscene
                LoadSce (MacroTarget)_ori
                Unselect
            else
                # Load the protein, assuming it's a SCE, PDB or YOB file
                for filetype in 'sce','yob','pdb'
                    size = FileSize (MacroTarget).(filetype)
                    if size
                        break
                    if !size
                        RaiseError 'Initial structure not found, expected
(MacroTarget).pdb or .yob. Make sure to create a project directory and
place the structure there in PDB or YOB format'
                # Load structure
                Load(filetype) (MacroTarget)
                DelObj SimCell
                nameclash = CountObj Membrane
                if nameclash
                    NameObj all,Solute
                # In case user accidentally provided a YOb file with selected
atoms
                    Unselect
                # Orient the protein in the membrane
                OriInMem
1,(filetype!='sce'),ph,waterextension,memextension,square,confirmneeded
,delay
                SaveSce (MacroTarget)_ori
            # Next step is to build the membrane
            AutoPosObj 1,X=-150,Z=100,Steps=(delay),Wait=No
            AutoPosObj MembPreview,X=150,Z=100,Steps=(delay),Wait=No
            AutoPosObj SimCell,X=0,Y=150,Z=100,Steps=(delay)

```

```

membranename = BuildMem
MacroTarget,PEApercent,PCHpercent,PSEpercent,CLRpercent,usermemname,del
ay,0
    # Load the orientation scene again and include the membrane
    LoadSce (MacroTarget) _ori
    # Insert the protein into the membrane
    InsertIntoMem 1,membranename,0,0
    SaveSce (MacroTarget)
    # Solvate system with membrane, get membrane Y-coordinate
    SolvateMem ph,ions,cutoff
    # Save scene with water
    SaveSce (MacroTarget) _water
    HideMessage
Wait 1
# Don't keep selected atoms, LoadXTC/LoadMDCRD would load only selected
ones
Unselect

# Choose timestep and activate constraints
if speed=='fast'
    # Fast simulation speed
    # Constrain bonds to hydrogens
    FixBond all,Element H
    # Constrain certain bond angles involving hydrogens
    FixHydAngle all
    # Choose a multiple timestep of 2*2.5 = 5 fs
    # For structures with severe errors, 2*2 = 4 fs is safer (tslist=2,2)
    tslist=2,2.5
else
    # Slow or normal simulation speed
    # Remove any constraints
    FreeBond all,all
    FreeAngle all,all,all
    if speed=='slow'
        # Choose a multiple timestep of 2*1.00 = 2.0 fs
        tslist=2,1.0
    else
        # Choose a multiple timestep of 2*1.25 = 2.5 fs
        tslist=2,1.25
        # With this timestep, atoms may get too fast in very rare
circumstances (only
            # in a specific protein, only once every few nanoseconds). The
command below
            # slows down atoms moving faster than 13000 m/s. Such a 'random
collision' every
            # few nanoseconds has no more impact than the random number seed.
You can comment
            # it out for most proteins, or use the smaller timestep with speed
'slow' above:
            Brake 13000
# During equilibration update the pairlist every 10 steps
SimSteps Screen=10,Pairlist=10
# Calculate total timestep, we want a float, so tslist2 is on the left
side
ts=tslist2*tslist1
# Snapshots are saved every 'savesteps'
savesteps=saveinterval/ts
# Set final simulation parameters
TimeStep (tslist)
Temp (temperature)
Cutoff (cutoff)

```

```

Longrange Coulomb
# Make sure all atoms are free to move
FreeAll
# Already a snapshot/trajectory present?
i=00000
if format=='sim'
    trajectfilename='(MacroTarget)(i).sim'
else
    trajectfilename='(MacroTarget).(format)'
    restartfilename='(MacroTarget).sim'
    # Backwards compatibility: Starting with YASARA version 12.8.1, XTC
    trajectories no longer contain a number in the filename
    old = FileSize (MacroTarget)(i).xtc
    if old
        RenameFile (MacroTarget)(i).xtc, (trajectfilename)
    running = FileSize (trajectfilename)
    if not running
        # Perform energy minimization
        Experiment Minimization
        Experiment On
        Wait ExpEnd
        # And now start the real simulation
        Sim On
    else
        # Simulation has been running before
        ShowMessage "Simulation has been running before, loading last
snapshot..."
        # Switch console off to load the snapshots quickly
        Console Off
        if format=='sim'
            # Find and load the last SIM snapshot
            do
                i=i+1
                found = FileSize (MacroTarget)(i).sim
            while found
                i=i-1
                LoadSim (MacroTarget)(i)
                # Adjust savesteps to save snapshots in the same interval as
                previously
                if i>0
                    t = Time
                    savesteps=0+t/(ts*i)
                else
                    # Do we have a restart file with atom velocities?
                    found = FileSize (restartfilename)
                    if found
                        # Yes. First determine the savesteps if possible by loading the
                        2nd XTC/MDCrd snapshot
                        last,t = Load(format) (trajectfilename),1
                        if !last
                            last,t = Load(format) (trajectfilename),2
                            savesteps=0+t/ts
                        # Then load the restart file
                        LoadSim (restartfilename)
                    else
                        # No restart file found, load the last snapshot in the XTC/MDCrd
                        trajectory
                        do
                            i=i+1
                            last,t = Load(format) (trajectfilename),(i)

```

```

ShowMessage 'Searching (format) trajectory for last snapshot,
showing snapshot (i) at (0+t) fs'
  Sim Pause
  Wait 1
  while !last
    savesteps=0+t/(ts*(i-1))
  Sim Continue
HideMessage

# Set temperature and pressure control
TempCtrl Rescale
PressureCtrl Manometer2D,Pressure=(pressure)

# Now the simulation is running, here you can make changes to the force
field

# Uncomment to fix certain atoms in space
# FixAtom Backbone Mol B

# Uncomment to add distance constraints
# AddSpring O Res Lys 80,H Res Glu 84,Len=1.9

# Uncomment to modify charges, e.g. let Trp 12 in Mol A lose an
electron:
# ChargeRes Trp 12 Mol A,+1

# And finally, make sure that future snapshots are saved
Save(format) (trajectfilename),(savesteps)
if format!='sim'
  # We save an XTC/MDCrd trajectory plus a single Sim restart file
  SaveSim (restartfilename),(savesteps),Number=no

CorrectDrift off

# At the beginning of the simulation, the membrane is not ideally
packed yet and needs
# about 250ps equilibration time. During this period it is still
'veulnerable' to
# water molecules that are squeezed in. We therefore keep these waters
out.
t = Time
if t<equiperiod*1000
  EquilibrateMem equiperiod,ts

# Membrane has been equilibrated, now keep the membrane protein from
diffusing around and crossing periodic boundaries
CorrectDrift on

# After equilibration update the pairlist every 10 (CPU) or 25 (GPU)
steps
_,_,gpu = Processors
if gpu
  SimSteps Screen=25,Pairlist=25
else
  SimSteps Screen=10,Pairlist=10

if duration=='forever'
  Console On
  if ConsoleMode
    # In the console, we need to wait forever to avoid a prompt for
user input

```

```
    Wait forever
else
  Console Off
  measurements=0
  # Wait for given number of picoseconds
  do
    # Tabulate properties you want to monitor during the simulation,
    # e.g. the speeds and velocity vectors of atoms 4, 5 and 7:
    #Tabulate SpeedAtom 4 5 7
    # Or apply a pulling force, in this example downwards
    #AccelRes GLI 1027,Y=-10000
    # Wait for one screen update
    Wait 1
    measurements=measurements+1
    t = Time
  while t<1000.*duration+1
    # Did we create a table with measurements?
    vallist() = Tab Default
    if count vallist
      # Yes, save the table
      SaveTab default,(MacroTarget)_duringsim,Format=Text,Columns=(count
      vallist/measurements),Header='Insert your own header here'
      Sim Off
    # Exit YASARA if this macro was provided as command line argument in
    # console mode and not included from another macro
    if runWithMacro and ConsoleMode and !IndentationLevel
      Exit

    # Include library functions
    include md_library
```

### L.3.2 md\_analyze.mcr

```

# YASARA MACRO
# TOPIC:          3. Molecular Dynamics
# TITLE:          Analyzing a molecular dynamics trajectory
# REQUIRES:       Dynamics
# AUTHOR:         Elmar Krieger and Kornel Ozvoldik
# LICENSE:        GPL
# DESCRIPTION:   This macro analyzes a simulation and creates a detailed
#                 report with a large number of plots, e.g. energies, RMSDs, hydrogen
#                 bonds. It also tries to identify the main ligand and provides ligand-
#                 specific data. All results are additionally written to a simple text
#                 table, which can be imported into your favorite spreadsheet program.
#                 Your own analysis can often be added with just one line of code, search
#                 for 'Example:'.

RequireVersion 20.1.1

# MD report initialization parameters and flags
# =====
# The structure to analyze must be present with a .sce extension.
# You can either set the target structure by clicking on Options >
Macro > Set target,
# by providing it as command line argument (see docs at Essentials >
The command line),
# or by uncommenting the line below (=remove the '#') and specifying it
directly.
#MacroTarget='c:\MyProject\lcrn'

# Forcefield to use for analysis, should be the same as the one used to
run the simulation
ForceField AMBER14,SetPar=Yes    # Default
#ForceField YASARA2,SetPar=Yes  # Example: Add a quality Z-score in
YASARA Structure

# Number of the solute object whose RMSDs from the starting
conformation will be calculated
# If the protein is an oligomer, check the documentation of the 'Sup'
command at 'analyzing a simulation' to avoid pitfalls.
soluteobj=1

# Flag to convert the entire trajectory to PDB format (solute object
only)
pdbsaved=0

# The B-factors calculated from the root-mean-square fluctuations can
be too large to fit them
# into the PDB file's B-factor column. Replace e.g. 1.0 with 0.1 to
scale them down to 10%
bfactorscale=1.0

# Trajectory block to be analyzed. The 'if not count block' skips this
part if this macro is included
# by the md_analyzeblock macro, that analyzes the trajectory in blocks
(see 'Analyzing a trajectory' in the docs).
if not count block
    # First snapshot to be analyzed, increase number to ignore an
equilibration period.
    firstsnapshot=0
    # Number of snapshots to be analyzed
    snapshots='all'

```

```

# Set snapshotstep > 1 if you don't want to analyze every snapshot.
# (e.g. snapshotstep=10 means that only every 10th snapshot will be
analyzed)
snapshotstep=1

# All snapshots will be superposed on this reference snapshot to
calculate RMSDs etc.
# The starting structure is snapshot 0. Having run the macro once, you
can also change
# refsnapshot=X to refsnapshot='average' to superpose on the time
average structure.
refsnapshot=0

## In case you want to use commands like GroupCenter inside a periodic
cell, you will
# get a warning about unexpected results due to periodic boundary
effects. In this
# case set 'central' to an atom in the middle of your region of
interest. This atom will
# be kept at the center of the cell, which will hopefully also keep
your region of interest
# away from the cell boundaries. Then you can safely ignore the
warning.
central=0

# In case you want to cluster the trajectory, set the minimum heavy-
atom RMSD between different clusters.
# A representative structure for each cluster will be saved as
YourProtein_cluster*.yob,
# all representative structures will be at least 'rmsdmin' Angstrom
apart.
rmsdmin=0.0

# Width of figures in pixels
figurewidth=1024

# Flag to save high resolution versions of plots in 4:3 format
hiresplotted=1

# Set maximum number of table rows that will be shown in the report
tabrowsmax=10      # Default: Show only first 10 rows of each table
#tabrowsmax='all' # Example: Show the complete tables

# Selection of atoms to include for 'Calpha' RMSD calculation
# (includes C1* of nucleic acids to consider DNA/RNA)
casel='CA AminoAcid or C1* Nucleotide'

# Ligand atom selection for RMSD analysis
ligandsel=''           # Default: Identify the ligand
automatically
#ligandsel='Res ATP 501 Mol A' # Example: Select residue ATP 501 in
molecule A as ligand

# Atom selection to list individual hydrogen bonds
hbosel=''                 # Default: Choose ligand, i.e. list
ligand hydrogen bonds
#hbosel='Res Arg 17 Mol A'    # Example: List H-bonds of residue Arg
17 in molecule A

# Set minimum and/or maximum residue number which will be included in
the residue RMSF and residue secondary strucure type plot.

```

```

resnummin=-999
resnummax=9999

# Selection to calculate and visualize the dynamic cross-correlation
matrix (DCCM)
dccmsel='Atom CA Protein or C1* NucAcid' # Default: Calculate the DCCM
for protein Calpha atoms or nucleic acid C1* atoms
#dccmsel='Res Protein'                      # Example: Calculate the DCCM
for protein residue centers
#dccmsel=''                                # Example: Don't calculate the
DCCM

# Set the color of the minimum and maximum value of the DCCM
visualization.
dccmcol()='blue','yellow'

# Save a file *_dccm.yob, which visualizes the DCCM by joining atoms
with
# red (correlation>=dccmcut) and blue (correlation<=-dccmcut) lines.
dccmcut=0.9

# Selection to calculate the radial distribution function (RDF)
# Syntax: rdfsellist()='Atom selection 1','Atom selection
2',Bins,BinWidth
# Note that you may have to save more snapshots than usually to avoid
problems with sparse
# data and noisy RDF results.
# Default: Don't calculate an RDF
rdfsellist()=''
# Example: Calculate the RDF of water in 40 bins, each 0.25 Å wide
(thus up to 10 Å).
#rdfsellist()='O Res HOH','O Res HOH',40,0.25
# Example: Calculate the RDF between two specific atoms in 20 bins,
each 0.5 Å wide
#rdfsellist()='CG Res Asp 120','ND1 Res His 200',20,0.5

# Definition of analyses to perform
# =====
#
# Please see the user manual at Recipes > Run a molecular dynamics
simulation > Analyzing a trajectory
# (scroll to the end) for detailed instructions how to add your own
analyses.

# Define the analyses to perform inside the simulation cell,
considering periodic boundaries
#
=====

def AnalyzeInsideCell
    global ligandsel,resnummin,resnummax

    # Plot simulation cell lengths
    celllist1,celllist2,celllist3=Cell
    Plot celllist,'Simulation cell lengths','Length in
Angstrom','CellLengthX CellLengthY CellLengthZ'

    # Plot the total energy...
    elist()=EnergyAll All
    Plot sum elist,'Total potential energy of the system','Energy in
(EnergyUnit)','TotalEnergy'

```

```

# ...and the individual components
Plot elist,'Potential energy components','Energy in
(EnergyUnit)','Bond Angle Dihedral Planarity Coulomb VdW Packing1D
Packing3D'

# Plot the VdW, molecular and solvent accessible surfaces of the
solute
Plot "SurfObj Solute",'Surface areas of the solute','Surface areas in
Angstrom^2','SurfVdW SurfMol SurfAcc'

# Plot the number of hydrogen bonds inside the solute
# We need to divide by two since bonds are listed in both directions
hbolist()=ListHBoAtom Obj Solute,Obj Solute
Plot count hbolist/2,'Number of hydrogen bonds in the
solute','Hydrogen bonds','SoluteHBonds'

# Plot the number of hydrogen bonds between solute and solvent
hbolist()=ListHBoAtom Obj Solute,Obj Solvent
Plot count hbolist,'Number of hydrogen bonds between solute and
solvent','Hydrogen bonds','SltSlvHBonds'

# Tabulate all hydrogen bonds made by the select residue (Default:
ligand).
# We first need to estimate the maximum number of H-bonds so that the
table can be padded accordingly.
# For every H-bond, the table then contains atom names, energy and
hydrogen-acceptor distance.
global hbosel
if hbosel==''
    hbosel=ligandsel
if hbosel!=''
    acceptors=CountAtom Element N O S P and (hbosel)
    donors=CountAtom Element H with bond to Element N O S P and
(hbosel)
    hbondsmax=acceptors*2+donors
    hbolist()=ListHBoAtom (hbosel),!Water,Results=6
    hbonds=count hbolist/6
    hboname=''
    for j=1 to hbondsmax
        hboname=hboname+'HB(j)Atm1 HB(j)Atm2 HB(j)E HB(j)D '
        if j<=hbonds
            # Get data of atom 1 and atom 2.
            for k=0 to 1
                hboreresultlist(4*j-3+k)=ListAtom (hbolist(j*6-
5+k)),Format='ATOMNAME.RESNAME1RESNUM.MOLNAME'
                # Get energy and distance.
                hboreresultlist(4*j-1)=hbolist(j*6-3)
                hboreresultlist(4*j)=hbolist(j*6)
            else
                # If no bond then fill cells with '-' to facilitate parsing.
                for k=1 to 4
                    hboreresultlist(4*j-4+k)='-'
        if hbondsmax>0
            # Write data to table in report.
            WriteTable hboreresultlist,'Hydrogen bonds made by
(hbosel)','(hboname)'
        else
            #If no possible bonds then fill single cell with "None". Hint to
            possibly incorrect selection.
            WriteTable 'None','Hydrogen bonds made by (hbosel)','HB1Atm1'

```

```

# Plot the secondary structure content
proteins=CountMol Protein
if proteins
    Plot "SecStr",'Protein secondary structure content','Secondary
structure fractions in percent','Helix Sheet Turn Coil Helix310
HelixPi'

# Plot a per-residue map of the protein secondary structure
sel='Protein Obj Solute and Res (resnummin)-(resnummax)'
# Define secondary structure types to analyze, must match the SecStr
command
secstrnamelist()= 'Helix','Sheet','Turn','Coil','Helix310','HelixPi'
secstrletterlist()='H',      'E',      'T',      'C',      'G',      'I'
# Make a letter->value dictionary and get default secondary structure
colors
for i=1 to count secstrletterlist
    secstrnum(secstrletterlist(i))=i
    secstrcolorlist(i)=ColorPar SecStr, (secstrnamelist(i))
# Create the residue list
secstrreslist()=ListRes (sel) and SecStr (join secstrnamelist)
if count secstrreslist
    # Get the secondary structure of each residue
    secstrlist()=SecStrRes (join secstrreslist())
    for i=1 to count secstrlist
        secstrlist(i)=secstrnum(secstrlist(i))
    # Plot per-residue data as a function of simulation time
    PlotRes 'secstr',secstrreslist,secstrlist,1,6,'Per-residue protein
secondary structure','(join secstrnamelist)','(join secstrcolorlist)'

# Plot a per-residue map of the number of contacts
# Create a solute residue list
conreslist()=ListRes Protein or NucAcid and Obj Solute Res
(resnummin)-(resnummax)
if count conreslist
    # Count number of contacts for each residue
    conlist()=CountConRes (join conreslist),Obj
Solute,Cutoff=0.5,Subtract=HBoRadii,Exclude=5,Occluded=No
    # Plot per-residue number of contacts as a function of simulation
time
    PlotRes 'con',conreslist,conlist,1,15,'Per-residue number of
contacts','','Blue Yellow'

# Plot a per-residue map of the contacts with the ligand
ligconreslist()=ListRes Protein or NucAcid and Obj Solute Res
(resnummin)-(resnummax)
if ligandsel!="" and count ligconreslist
    # Create a list of empty interaction values (=0)
    for i=1 to count ligconreslist
        vallist(i)=0
    # Loop over the interactions to analyze, ignoring occluding
hydrophobic interactions
    intlist='HBonds','Hydrophobic','Ionic'
    occlist='',          'No',          'Yes'
    for i=1 to count intlist
        # Get the list of residues interacting with the ligand
        if i==1
            intreslist() = ListHBoRes (sel),(ligandsel),Results=1
        else
            intreslist() = ListIntRes
(sel),(ligandsel),Type=(intlist(i)),Exclude=5,Occluded=(occlist(i)),Res
ults=1

```

```

idx=1
intresidues=count intreslist
for j=1 to count ligconreslist
    # Stop if we tagged all interacting residues
    if idx>intresidues
        break
    if ligconreslist(j)==intreslist(idx)
        # Tag residue j with interaction i
        vallist(j)=vallist(j)|(1<<(i-1))
        idx=idx+1
    # Increment vallist, the heatmap starts at 1
    vallist()=vallist+1
    # Now vallist contains values from 1 (no interactions)..8 (all
three interactions).
    # Each interaction is an RGB color component:
HBonds=Red,Hydrophobic=Green,Ionic=Blue, so the legend entries are
    # HB   Hyd   Hyd+HB Ion   Ion+HB Ion+Hyd Ion+Hyd+HB , and the
corresponding colors are
    # Red Green Yellow Blue Magenta Cyan     Gray
    PlotRes 'ligcon',ligconreslist,vallist,1,8,'Per-residue contacts
with ligand','None HB Hyd Hyd+HB Ion Ion+HB Ion+Hyd Ion+Hyd+HB','White
Red Green Yellow Blue Magenta Cyan Gray'

# The following examples provide a few hints for other things to
analyze while
# the simulation is active (i.e. considering periodic boundaries).
# Just delete the '#' character to uncomment the command(s) of each
example.

# Example: Plot the total energy of the ligand and the individual
components
#elist()=EnergyRes (ligandsel),All
#Plot sum elist,'Total potential energy of the ligand','Energy in
(EnergyUnit)','LigTotEnergy'
#Plot elist,'Potential energy components of the ligand','Energy in
(EnergyUnit)','LigBond LigAngle LigDihedral LigPlanarity LigCoulomb
LigVdW LigPacking1D LigPacking3D'

# Example: Plot the distance between the carboxyl group of Glu 123
(Cdelta) in molecule/chain A
#           and the guanidinium group of Arg 345 (Czeta) in
molecule/chain B:
#Plot "Distance CD Res Glu 123 Mol A, CZ Res Arg 345 Mol B",'Distance
between Glu 123 [Cdelta] and Arg 345 [Czeta]','Distance','DGLUARG'

# Example: Plot the angle between three Calpha atoms:
#Plot "Angle CA Res Glu 10, CA Res Asp 30, CA Res Lys 40",'Angle
between three Calpha atoms','Angle','Phi'

# Example: Plot the number of salt-bridges involving Lys,Arg and
Asp,Glu
#lysbridges=CountRes Lys Atom NZ with distance<4 from Asp Glu Atom
OD? OE?
#argbridges=CountRes Arg Atom NE NH? with distance<3.5 from Asp Glu
Atom OD? OE?
#Plot (lysbridges+argbridges),'Number of salt-bridges involving
Lys,Arg and Asp,Glu','Salt-bridges','Bridges'

# Example: Plot the number of residues involved in hydrophobic
interactions with Phe 13
#intlist()=ListIntRes Phe 13,all,Type=Hydrophobic,Exclude=5

```

```

#Plot count intlist,'Residues in hydrophobic interactions with Phe
13','Interactions','IAResPhe13'

# Example: Plot the potential energy of residue Glu 123:
#Plot "EnergyRes Glu 123",'Potential energy of residue Glu
123','Energy','EpotGLU123'

# Example: Plot the solvent accessible surface areas of methionine
sulfur atoms to predict their
# susceptibility for oxidation. Add entire solute to surface
environment for partial surface calculation.
#RemoveEnvAll
#AddEnvObj Solute
#reslist()=ListRes Met Obj Solute,Format=RESNAME1RESNUM
#Plot "SurfAtom SD Res Met Obj
Solute,Type=Accessible,Unit=Atom",'SASA of Met S-delta atoms','SASA in
A^2','(join reslist)'

# Example: Plot the solvent accessible surface area and the
electrostatic surface potential of the residues Thr 1, Ser 11 and Arg
17
#ressel='Thr 1 Ser 11 Arg 17'
#RemoveEnvAll
#AddEnvObj Solute
#reslist()=ListRes (ressel),Format='RESNAME1RESNUM.MOLNAME'
#datalist()=SurfESPRes (ressel),accessible,PME,Res
#for i=1 to count reslist
# saslist(i)=datalist(2*i-1)
# esplist(i)=datalist(2*i)
#Plot saslist,'Solvent accessible surface area of solute
residues','SASA in A^2','(join reslist)'
#Plot esplist,'Electrostatic surface potential of solute
residues','ESP in (EnergyUnit)','(join reslist)'

# Example: Plot the distance from the nearest water molecule to the
atoms selected in dissell1 and dissell2
#dissell1='C Res Gly 2'
#dissell2='NE2 Res Hid 254'
#oatom=ListAtom Element O Res HOH with distance<3.2 from (dissell1)
and with distance<3 from (dissell2)
#for i=1 to 2
# if oatom
#   distance(i)=Distance (oatom),(dissell(i))
# else
#   distance(i)=5
#Plot (distance),'Water distance to 1 = (dissell1) and 2 =
(dissell2)','Distance in Angstrom','WaterDis1 WaterDis2'

# Example: Count water molecules inside a membrane pore
#poreressel='Ile 263'
#_,bottom=GroupCenter Element P Segment MEM1
#_,top=GroupCenter Element P Segment MEM2
#bottom=bottom+2
#top=top-2
#olist()=ListAtom Element O Res HOH LocalY<(top) LocalY>(bottom) with
distance<3.5 from Res (poreressel)
#do
#   waters=count olist
#   olist()=ListAtom (join olist) or Element O Res HOH LocalY<(top)
LocalY>(bottom) with distance<3.5 from (join olist)
#while waters<count olist

```

```

#Style Ball
#StickRes not Atom (join olist)
#ColorRes Atom (join olist),Blue
#Plot count olist,'Number of water molecules in membrane pore
(poreressel)', 'Number of water molecules', 'PoreWaters'

# Example: Tabulate the distance of every protein residue to the
common center of all proteins
#solcen()=GroupCenter Protein Obj Solute
#residlist()=ListRes Protein Obj Solute
#resnamelist()=ListRes Protein Obj
Solute,Format='RESNAME1RESNUM.MOLNAME'
#for i=1 to count residlist
#  rescen=GroupCenter (residlist(i))
#  dis(i)=norm (solcen-rescen)
#WriteTable (dis),'Distance of protein residues to the solute
center','(join resnamelist)'

# Example: Save all solute H-H pair distances with a distance smaller
than 5 Å in an extra tab file
#contactdatalist()=ListConAtom Element H and not Obj Solvent,Element
H and not Obj Solvent,Cutoff=5,Results=3
#contact='None'
#if (count contactdatalist())
#  contact=''
#  for i=1 to (count contactdatalist()) step 3
#    for j=1 to 2
#      atom(j)=ListAtom (contactdatalist(i+j-
1)),Format='ATOMNUM.ATOMNAME.RESNAME3RESNUM.MOLNAME'
#      contact=contact+'| (atom1),(atom2),(0.00+contactdatalist(i+2)) '
#WriteExtraTable 'HCON',contact,'At1,At2,D[A]'

# Example: Plot the total MMPBSA energy of the system
# IMPORTANT: This function must be the last in AnalyzeInsideCell,
# as removing the Solvent turns off the running simulation.
#surfcost=(0.65e0/6.02214199e20)*JToUnit
#RemoveObj Solvent
#epot=Energy
#esolcoulomb,esolvdw=SolvEnergy PBS
#molsurf=Surf molecular
#esol=esolcoulomb+esolvdw+molsurf*surfcost
#etot=epot+esol
#AddObj Solvent
#Plot etot,'Total MMPBSA energy of the system','MMPBSA
Energy','MMPBSAenergy'

# Define the analyses to perform outside the simulation cell, without
periodic boundaries
#
=====
=====

def AnalyzeOutsideCell
  global fof

  # If the force field is YASARA2, plot the model quality
  if fof=='YASARA2'
    for checktype in 'dihedrals','packing1d','packing3d'
      zscore(checktype)=CheckObj Solute,(checktype)

  zscore=zscoredihedrals*0.145+zscorepacking1d*0.390+zscorepacking3d*0.46
  5

```

```

Plot zscore,'Structure quality of the solute','Quality Z-
score','Quality'

# Plot the radius of gyration of the solute
Plot "RadiusObj Solute,Center=Mass,Type=Gyration",'Radius of gyration
of the solute','Radius in Angstrom','RadGyration'

# The following examples provide a few hints for other things to
analyze while the
# simulation is *not* active (periodic boundaries removed), but the
starting structure
# has not yet been added to the soup to perform RMSD calculations,
# just delete the '#' character to uncomment the command(s) of each
example.

# Example: Plot the angle between the transmembrane helix formed by
residues 35-65
# in Mol A and the membrane normal (which is parallel to the Y-axis,
since the membrane is
# parallel to the XZ-plane) using formula
angle=acos(dotprod(dir,Y)/(len(dir)*len(Y)))
#_,_,_,dir()=GroupLine CA Protein Res 35-65 Mol A
#Plot (acos dir2),'Angle between the transmembrane helix and the
membrane normal','Angle','Phi'

# Example: Plot the angle between the secondary structure elements
formed by
# residues 106-140 and 149-169 in Mol B, in the range -180 to 180
(see GroupAngle docs)
#Plot "GroupAngle CA Protein Res 106-140 Mol B,CA Protein Res 149-169
Mol B,Range=360",'Angle between the secondary structure
elements','Angle','Psi'

# Example: Plot the distance between two centers of mass, e.g. the
loop from
# residue Ala 205 to Glu 210, and the ligand NAD:
#cenA()=GroupCenter Res Ala 205 - Glu 210 Obj Solute, Type=Mass
#cenB()=GroupCenter Res NAD Obj Solute, Type=Mass
#Plot norm (cenA-cenB),'Distance between two centers of
mass','Distance','DAB'

# Example: Plot the Coulomb and VdW binding energies between the
solute and the solvent
# EBind=ESolute + ESolvent - ETot. For ligand binding look at
md_analyzebindenergy macro.
#etotvdw,etotcoulomb=Energy VdW,Coulomb
#RemoveObj Solvent
#esoluvdw,esoluvcoulomb=Energy VdW,Coulomb
#AddObj Solvent
#RemoveObj Solute
#esolvvdw,esolvvcoulomb=Energy VdW,Coulomb
#AddObj Solute
#ebindlist()=(esoluvdw+esolvvdw-etotvdw),(esoluvcoulomb+esolvvcoulomb-
etotcoulomb)
#Plot ebindlist,'Coulomb and VdW binding energies between the solute
and the solvent','Binding Energy','CoulombEb VdWEb'

# Define the analyses to perform with respect to the starting
structure, also outside the simulation cell

```

```

#
=====
# The reference structure (object SoluteRef) has been added to the soup
now
def AnalyzeChange
    global casel,caselref,ligandsel,ligandselref

    # Plot Calpha (or C1* of nucleic acids), backbone and all-atom RMSDs
    # Trick: If the solute contains neither CA nor backbone atoms,
    # we simply assign the SupAtom error code (=0)
    resultlist1=SupAtom (casel) and Obj Solute,(caselref) and Obj
SoluteRef
    resultlist2=SupAtom Backbone Obj Solute,Backbone Obj SoluteRef
    resultlist3=SupAtom Element !H Obj Solute,Element !H Obj SoluteRef
    Plot resultlist,'Solute RMSD from the starting structure','RMSD in
Angstrom','RMSDCa RMSDBb RMSDAll'

    # Plot ligand movement RMSD after superposing on the receptor
    if ligandsel!=''
        if casel!='None'
            SupAtom (casel) and Obj Solute and not (ligandsel),(caselref) and
Obj SoluteRef and not (ligandselref)
        else
            SupAtom Element !H Obj Solute and not (ligandsel),Element !H Obj
SoluteRef and not (ligandselref)
            result=RMSDAtom (ligandsel) Obj Solute,(ligandselref) Obj SoluteRef
            Plot result,'Ligand movement RMSD after superposing on the
receptor','RMSD in Angstrom','RMSDLigMove'

        # Plot ligand conformation RMSD after superposing on the ligand
        if ligandsel!=''
            result=SupAtom (ligandsel) Obj Solute,(ligandselref) Obj SoluteRef
            Plot result,'Ligand conformation RMSD after superposing on the
ligand','RMSD in Angstrom','RMSDLigConf'

        # The following examples provide a few hints for other things to
analyze while the
        # simulation is *not* active (i.e. things that can't be analyzed with
periodic boundaries)
        # with respect to the starting structure, just delete the '#'
character to uncomment
        # the command(s) of each example.

        # Example: Plot the backbone RMSD for residues 1-120:
        #Plot "SupAtom Backbone Res 1-120 Obj Solute,Backbone Res 1-120 Obj
SoluteRef",'Backbone RMSD','RMSD','BBRMSD'

        # Example: Plot the sidechain heavy-atom RMSD:
        #Plot "SupAtom Sidechain Element !H Obj Solute,Sidechain Element !H
Obj SoluteRef",'Sidechain heavy-atom RMSD','RMSD','SCHARMSD'

        # Example: Plot how far residue HP6 86 moved since the start (after
superposing on Calphas)
        #SupAtom (casel) and Obj Solute,(caselref) and Obj SoluteRef
        #Plot "GroupDistance Res HP6 86 Obj Solute,Res HP6 86 Obj
SoluteRef",'Drift HP6 86','Distance','DHP6'

        # Optional text printed in the report in front of each analysis
# =====
#

```

```

# Please see the user manual at Recipes > Run a molecular dynamics
simulation > Analyzing a trajectory
# (scroll to the end) for detailed instructions how to add your own
texts.

# Get the force field
fof=ForceField

# AnalyzeInsideCell:

# Text paragraph for the 'Simulation cell lengths' plot
CellLengthXText='Conformational changes of the simulated solute
molecules lead to fluctuations in density. '
    'If the simulation box has a constant size, changes in
density lead to changes in pressure. '
    'This is not realistic, because molecules normally
"live" in a constant pressure environment. '
        'During the simulation the cell is therefore rescaled
to maintain a constant cell '
        'pressure. Depending on the chosen pressure control
mode, '
            'the three cell axes are either rescaled together
[Manometer1D], partly together '
            '[X- and Z-axes, Manometer2D, used for membrane
simulations], independently [Manometer3D], '
            'or not at all [Off]. You can deduce the pressure
control mode from the plot below.'

# Text paragraph for the 'Total potential energy of the system' plot
TotalEnergyText='The total potential energy of the system is plotted,
    'according to the (fof) force field. If you ran the
simulation '
    'with a different force field, you need to adapt the
`ForceField` command '
        'at the top of this macro accordingly.\n\n'
        'When the simulation is started from an energy-
minimized "frozen" conformation, '
            'there is usually a sharp increase in energy during the
first picoseconds, '
            'since the added kinetic energy is partly stored as
potential energy. '
            'Also on a larger time-scale, the potential energy will
often not decrease. '
            'A common reason are counter ions. These are initially
placed at the '
                'positions with the lowest potential energy, usually
close to charged solute groups, '
                    'from where they detach to gain entropy, but also
potential energy. '

# Text function for the 'Potential energy components' plot
def PrintBondInfo
    global fof
    text='The following individual components of the total potential
energy are plotted: '
        'bond energies [Bond], bond angle energies [Angle], dihedral
angle energies [Dihedral], '
        'planarity or improper dihedral energies [Planarity], Van der
Waals energies [VdW] '
    if fof=='YASARA2'

```

```

    text=text+', electrostatic energies [Coulomb], 1D packing energies
[Packing1D] and 3D packing energies [Packing3D]. '
    else
        text=text+' and electrostatic energies [Coulomb]. '
        text=text+'Force field energies help to judge the structural quality
of a protein: '
            'distortions of local covalent geometry can be found by
looking at the bond, angle and planarity energies. '
            'Unrealistically close contacts [bumps] lead to a high Van
der Waals energy, '
            'just like a large number of hydrogen bonds [since they
pull the atoms closer than '
            'their normal Van der Waals contact distance]. The Coulomb
energy is the least '
            'informative, because it strongly depends on the amino acid
composition '
            '[e.g. proteins with a net charge have a higher Coulomb
energy]. '
    WriteReport Paragraph,'(text)'

# Text paragraph for the 'Protein secondary structure' plot
HelixText='The total percentages of alpha helices, beta sheets, turns,
coils, 3-10 helices and pi helices are '
    'calculated and plotted. For clarification, a turn is simply
a stretch of four residues that are not '
    'part of other secondary structure elements and form a
hydrogen bond between the O of the first and '
    'the NH of the last residue. A coil is anything that does not
fit into the other categories. '
    'Note that pi-helices [helices with hydrogen bonds between
residues N and N+5] are rather unstable and '
    'thus do not normally occur in proteins, except for short
bulges in alpha helices '
    '[which are often the result of single residue insertions and
prolines]. '

# Text paragraph for the 'Per-residue protein secondary structure' plot
SecStrText='The following plots show the protein secondary structure
per residue as a function of '
    'simulation time. They are helpful to monitor protein
folding and all other kinds of structural '
    'changes. The default secondary structure colors are used,
you can change them at '
    'View > Color > Parameters > Secondary structure colors. One
plot per protein molecule is shown. '

# Text paragraph for the 'Per-residue number of contacts' plot
ConText='The number of contacts per residue as a function of simulation
time is shown in the following plots. '
    'There is one plot for each protein or nucleic acid molecule.
Even though contacts between atoms separated '
        'by up to four chemical bonds are excluded, neighboring
residues in the molecule usually have enough close '
        'atoms to be counted as a contact. Consequently residues with
zero contacts are very rare and often glycines. '
    'The number of contacts tells you how densely a certain residue
range is packed and allows to identify structurally '
        'very important residues, e.g. a phenylalanine in the
hydrophobic core can contact 15 or more other residues. '

# Text paragraph for the 'Per-residue contacts with ligand' plot

```

LigConText='The following plots show the types of contacts made with the ligand `(ligandsel)` as a function of simulation time. '

'There is one plot for each protein or nucleic acid molecule. Three types of contacts are shown: Hydrogen bonds [red] ', 'hydrophobic contacts [green] and ionic interactions [blue]. Also mixtures of these three colors can show up if a ' certain residue is involved in more than one type of contact with the ligand [see plot legend]. '

# Text paragraph for the 'Surface areas of the solute' plot

SurfVdWText='The Van der Waals [SurfVdW], molecular [SurfMol] and solvent accessible [SurfAcc] surface areas of the ' 'solute in A^2 are plotted. The difference between these surface types can be summarized as follows:\n\n'

'`Van der Waals surface`: if you think of atoms as spheres with a given Van der Waals radius, '

'then the Van der Waals surface consists of all the points on these spheres that are not inside another sphere. '

'In practice, the Van der Waals surface is of limited use, because it can be found throughout a protein and '

'does not tell much about the interaction with the solvent.\n\n'

'`Molecular surface`: this is the Van der Waals surface from the viewpoint of a solvent molecule, '

'which is a much more useful concept. The water is assumed to be a sphere of a given radius '

'[also called the water probe], that rolls over the solute. '

'Those parts of the Van der Waals surface that the water probe can touch are simply copied to the molecular surface '

'[and called the contact surface]. Clefts in the Van der Waals surface that are too narrow for the water probe to enter '

'are replaced by the Van der Waals surface of the water probe itself [and called the reentrant surface]. '

'So the molecular surface is a smooth composition of two Van der Waals surfaces: '

'the one of the solute and the one of the solvent molecule while it traces the contours of the solute. '

'Other common names for the molecular surface are solvent excluded surface or Connolly surface.\n\n'

'`Solvent accessible surface`: this surface consists of all the points that the center of the water probe '

'[i.e. the nucleus of the oxygen atom in the water molecule] can reach while rolling over the solute. '

'The shortest possible distance between the water oxygen nucleus and a solute atom is simply '

'the sum of the Van der Waals radii of the solute atom and the water probe.'

# Text function for the 'Number of hydrogen bonds in solute' plot

```
def PrintSoluteHBondsInfo
    WriteReport Paragraph,
    'The number of hydrogen bonds inside the solute is plotted below. '
    'One hydrogen bond per hydrogen atom is assigned at most, '
    'picking the better one if two acceptors are available.'
    'The following formula yields the bond energy in [kJ/mol] '
    'as a function of the Hydrogen-Acceptor distance in [A] and two scaling factors:'
    WriteReport
Image,Filename=(YASARADir)/doc/ListHBoAtomResMolObj1.png,Style=Center,Name="formula_energyhbo0"
```

```

WriteReport Paragraph,
    'The first scaling factor depends on the angle formed by Donor-
Hydrogen-Acceptor:'

    WriteReport
Image,Filename=(YASARADir)/doc/ListHBoAtomResMolObj2.png,Style=Center,N
ame="formula_energyhbo1"
    WriteReport Paragraph,
        'The second scaling factor is derived from the angle formed by
Hydrogen-Acceptor-X, '
            'where X is the atom covalently bound to the acceptor. If X is a
heavy atom:'

    WriteReport
Image,Filename=(YASARADir)/doc/ListHBoAtomResMolObj3.png,Style=Center,N
ame="formula_energyhbo2"
    WriteReport Paragraph,
        'If X is a hydrogen, slightly smaller angles are allowed:'

    WriteReport
Image,Filename=(YASARADir)/doc/ListHBoAtomResMolObj4.png,Style=Center,N
ame="formula_energyhbo3"
    WriteReport Paragraph,
        'A hydrogen bond is counted if the hydrogen bond energy obtained
with this formula '
            'is better than 6.25 kJ/mol [or 1.5 kcal/mol], which is 25% of the
optimum value 25 kJ/mol.'

# Text paragraph for the 'Number of hydrogen bonds between solute and
solvent' plot
SltSlvHBondsText='The plot shows the number of hydrogen bonds between
solute and solvent.
    'Together with the plot above, it is a good indicator
for successful protein folding,
    'indicated by a decreasing number of bonds with the
solvent and a growing
    'number of bonds within the solute.'

# Text function for the 'Hydrogen bonds made by (hbosel)' table
def PrintHB1Atm1Info
    global hbosel,EnergyUnit
    # The 'caller3' keyword allows to access variables of the 3rd last
calling function
    caller3 acceptors,donors,hbondsmax
    WriteReport Paragraph,
        'The following table shows all hydrogen bonds made by (hbosel). '
        'With (acceptors) acceptors and (donors) donors, '
        'a total number of (hbondsmax) hydrogen bonds are possible -
labeled HB1 to HB(hbondsmax).'
        'The first atom of the bonding pair is labeled Atm1 and the second
Atm2, respectively.'
        'The atom ID separates atom name, residue ID and molecule name with
dots. A lower-case "h" '
        'indicates hetgroups. E and D are short for the hydrogen bonding
energy in [(EnergyUnit)] '
        'and the distance between the bonding partners in [A]. '
        'To list other hydrogen bonds, edit the `hbosel` variable at the
beginning of this macro.'

# AnalyzeOutsideCell:

# Text function for the 'Structure quality of the solute' plot
def PrintQualityInfo
    WriteReport Paragraph,

```

```

'When validating a structure, one can use a gold standard of
highest resolution reference '
'structures to obtain estimates for the expected average energy and
its standard deviation, '
'and then calculate how many standard deviations the actual energy
is away from the average, '
'thereby obtaining a Z-score:'
WriteReport
Image,Filename=(YASARADir)/doc/CheckAtomResObjAll1.png,Style=Center,Nam
e="formula_zscore"
WriteReport Paragraph,
'In the formula above, `x` is the energy of the current structure,
'
'` $\bar{m}$ ` and ` $\sigma$ ` are the average value and the standard deviation
of the energies in the gold standard population. '
'Assuming that the gold standard population has a standard
distribution, '
'95.4% of all proteins have Z-scores between -2 to +2. '
'The others can be called outliers. '
'Positive outliers are usually small perfect proteins like a single
alpha helix, '
'and negative outliers are proteins with serious errors.'
MakeTab zscores,2,2

descriptionlist()='disgusting','terrible','bad','poor','satisfactory','
good'
for i=-5 to 0
    Tabulate '< (i)', '(descriptionlist(i+6))'
    Tabulate '> 0','optimal'
WriteReport Table,zscores,"Mapping between Z-score and human
language.",.0f,InfoColumnName='Z-score',DataColumnName='Description'

# Text function for the 'Radius of gyration of the solute' plot
def PrintRadGyrationInfo()
    WriteReport Paragraph,
    'After determining the center of mass of the solute, the radius '
    'of gyration is calculated and plotted according to this formula:'
    WriteReport
Image,Filename=(YASARADir)/doc/RadiusAtomResMolObjAll2.png,Style=Center
,Name="formula_gyrrad"
WriteReport Paragraph,
'In this formula, `C` is the center of mass, and `Ri` is the
position of atom `i` of `N`.'
# AnalyzeChange:

# Text function for the 'Solute RMSD from the starting structure' plot
def PrintRMSDCaInfo
    global casel,calphas
    WriteReport Paragraph,
    'The plot shows Calpha [RMSDCa], backbone [RMSDBb] and all-heavy
atom [RMSDAll] RMSDs calculated '
    'according to this formula, where `Ri` is the vector linking the
positions of atom `i` [of `N` atoms] '
    'in the reference snapshot and the current snapshot after optimal
superposition: '
    WriteReport
Image,Filename=(YASARADir)/doc/RMSDAtomResMolObj1.png,Style=Center,Name
="formula_rmsd"
    if casel=='None'

```

```

    text='Less than three atoms matched the Calpha selection `(casel)`,
therefore the Calpha RMSD plot '
        'graph is set to flat zero because at least three atoms are
needed for structure superposition. '
    else
        text='The selection for the Calpha RMSD calculation is `(casel)`,
this matched (calphas) atoms. '
        if casel=='CA Protein or C1* NucAcid'
            text=text+'The Calpha selection thus includes the main backbone
carbon C1* of nucleic acids, so '
                'the plot also shows a Calpha RMSD if you simulate just
nucleic acids. In simulations '
                    'of protein-DNA complexes, the Calpha RMSD therefore
considers the DNA too. '
        text=text+'To change the Calpha selection, edit the `casel` variable
at the beginning of this macro.'
        WriteReport Paragraph,'(text)'

# Text paragraph for the 'Ligand movement RMSD after superposing on the
receptor' plot
RMSDLigMoveText='The following plot shows the RMSD of the ligand heavy
atoms '
        'over time, measured after superposing the receptor on
its reference structure. '
            'This procedure delivers information about the movement
of the ligand in its binding pocket.'

# Text paragraph for the 'Ligand conformation RMSD after superposing on
the ligand' plot
RMSDLigConfText='This plot displays the RMSD of the ligand atoms '
        'over time, measured after superposing on the reference
structure of the ligand. '
            'The gained data summarize the conformational changes
of the ligand. '

# Normally no change required below this point
# =====
UnselectAll

# Do we have a target?
if MacroTarget==''
    RaiseError "This macro requires a target. Either edit the macro file
or click Options > Macro > Set target to choose a target structure"

# Check order of residue min/max user selection
if resnummax<resnummin
    RaiseError 'The maximum residue number (resnummax) is smaller than
the minimum (resnummin), please swap resnummin and resnummax'

Clear
Console Off
SurfPar Molecular=Numeric

if not count block
    id=''

# Load scene with water or other solvent
waterscene=FileSize (MacroTarget)_water.sce
solventsscene=FileSize (MacroTarget)_solvent.sce
if waterscene
    LoadSce (MacroTarget)_water

```

```

elif solventscene
    LoadSce (MacroTarget)_solvent
else
    RaiseError 'Could not find initial scene file
(MacroTarget)_water.sce. You must run a simulation with the macro
md_run first'

# Avoid the old empty molecule names
NameMol ' ','_'

# Verify Calpha selection
if casel==''
    calphas=0
else
    calphas=CountAtom (casel)
if calphas<3
    # We cannot superpose 1 or 2 Calpha atoms
    casel='None'

ShowMessage "Preparing analysis, please wait..."
Wait 1

# Backwards compatibility: Starting with YASARA version 12.8.1, XTC
trajectories no longer contain a number in the filename
old=FileSize (MacroTarget)00000.xtc
if old
    RenameFile (MacroTarget)00000.xtc, (MacroTarget).xtc

# Determine trajectory format
for format in 'xtc','mdcrd','sim'
    found=FileSize (MacroTarget).(format)
    if found
        break

# Identify the ligand: choose the largest hetgroup with >6 atoms if any
# Changes here also in md_runsteered.
if ligandsel==''
    mols=CountMol Obj (soluteobj)
    if mols>1
        ligandreportstring='automatically by YASARA'
        reslist()=ListRes Hetgroup !Water Obj (soluteobj) with >0 bonds to
all
        reslenmax=6
        ligandname=''
        carbohydlist()=''
        for res in reslist
            reslen=CountAtom (res)
            resname=NameRes (res)
            carbons=CountAtom Element C (res) with bond to Element O
            if carbons>4 and resname not in carbohydlist
                carbohydlist(1+count carbohydlist)=resname
            if reslen>reslenmax
                reslenmax=reslen
                ligandname=resname
        if ligandname!=''
            # Build ligand selection, adding quotes to deal with unusual
            residue names
            if ligandname in carbohydlist
                # Ligand is a carbohydrate, treat all carbohydrate residues as
                ligands
                ligandsel='Res'

```

```

        for i=2 to count carbohydlist
            ligandsel=ligandsel+ "(carbohydlist(i))'"
        else
            ligandsel='Res "(ligandname)"'
    else
        ligandobjlist()=ListObj (ligandsel)
        if !count ligandobjlist
            RaiseError 'Your ligand selection "(ligandsel)" did not match any
atoms. If you want to select a residue add "Res" at the beginning of
your selection.'
        if count ligandobjlist>1
            RaiseError 'Your ligand "(ligandsel)" is present in objects
(ligandobjlist), but only one ligand object is allowed'
        solfirstatm,sollastatm=SpanAtom Obj (soluteobj)
        ligfirstatm,liglastatm=SpanAtom Obj (ligandobjlist1)
        if ligfirstatm==sollastatm+1
            # Ligand is not part of the solute object, but atoms numbers are
adjacent so we can simply join them
            ligatoms=CountAtom (ligandsel)
            JoinObj (ligandobjlist1),(soluteobj)
            if ligatoms==liglastatm-ligfirstatm+1
                # The entire object has been selected as ligand, adapt selection
since object is gone
                ligandsel='Atom (ligfirstatm)-(liglastatm)'
            else
                # Ligand is only part of the object, show a warning
                RMSDLigMoveText=RMSDLigMoveText+ `Warning: ` The selected ligand
'
                                'is only part of a larger object. The remaining
atoms in this '
                                'object (ligandobjlist1) were treated as solute
atoms in the '
                                'superposition below. If this is not what you
want, please ignore this plot.'
            elif ligfirstatm!=sollastatm
                RaiseError 'Ligand (ligandsel) is not part of the solute, no ligand
RMSD values can be calculated.'
                'You could click Edit > Join > Objects to join the
ligand object (ligandobjlist1) with the solute object (soluteobj) '
                'in the original scene, but this would change the order
of atoms and require to run the MD once again.'
            ligandreportstring='by the user'

if refsnapshot=='average'
    # We superpose on the time average structure
    filename='(MacroTarget)_average(id).pdb'
    exists=FileSize (filename)
    if !exists
        RaiseError "No time-average structure has been calculated yet,
cannot superpose onto it. Run the macro once with refsnapshot=0 (or any
other number), then run again with refsnapshot='average'"
    refobj=LoadPDB (filename)
    SupObj (refobj),(soluteobj)
else
    if refsnapshot
        # We superpose on a certain snapshot
        if format=='sim'
            LoadSim (MacroTarget) (00000+refsnapshot)
        else
            Load(format) (MacroTarget),(refsnapshot+1)
# Duplicate the intial object for RMSD calculation

```

```

refobj=DuplicateObj (soluteobj)
# Select atoms in the reference structure
ligandselref=''
caselref=''
firstatm=ListAtom Obj (soluteobj)
firstatmref=ListAtom Obj (refobj)
atmshift=firstatmref-firstatm
if ligandsel!=''
    ligandref()=ListAtom (ligandsel) and Obj (soluteobj)
    ligandselref=join (ligandref())+atmshift)
if casel!='None'
    caref()=ListAtom (casel) and Obj (soluteobj)
    caselref=join (caref())+atmshift)
# Remove reference structure
RemoveObj (refobj)

# Choose object names to make user-defined analyses easier
objs1=CountObj Solute
objs2=CountObj SoluteRef
if sum objs
    RaiseError "The object names 'Solute' and 'SoluteRef' are reserved
for use by this macro, please rename your objects and try again"
solutename = NameObj (soluteobj)
NameObj (soluteobj),Solute
NameObj (refobj),SoluteRef
NameObj Water,Solvent
if rmsdmin
    # Cluster the trajectory, get a list of representative structures
    clusterobjlist()=refobj

# Check DCCM selection
if dccmsel!=''
    dccmunits=Count(dccmsel) and Obj Solute
    if !dccmunits and dccmsel!='Atom CA Protein or C1* NucAcid'
        RaiseError 'The DCCM selection (dccmsel) did not match any atoms'

# Create the headers for saving the final tables and make the ray-
traced pictures for the report.
# Do this already now to uncover errors in user-provided graph names
# and to determine the total number of table columns
# Calling all analysis functions with task='AddHeader' lets them just
join their graph names to the headers
task='AddHeader'
tables=0
plotrestabs=0

# First analyze inside the cell during a simulation
Sim On
AnalyzeInsideCell
# Then outside the cell
Sim Off
AnalyzeOutsideCell
# Then with respect to the reference structure
AddObj SoluteRef
AnalyzeChange
RemoveObj SoluteRef
if !count introwritten
    # Get ray-traced picture of the entire system
    ShowSystem
    SaveScreenshot 'sim','simulated system'
    # Get ray-traced picture of the solute

```

```

ShowSolute
Style Ribbon,Stick
StickRadius 20
SaveScreenshot 'solute','solute object'
if ligandsel!=""
    # Get ray-traced picture of the ligand
    ligandobj=DuplicateRes (ligandsel)
    SwitchAll off
    SwitchObj (ligandobj),on
    NiceOriObj (ligandobj)
    LabelAtom Obj (ligandobj) Element !H,Format=ATOMNAME,Height=.3
    LabelAtom Obj (ligandobj) Element H,Format=ATOMNAME,Height=.2
    ZoomObj (ligandobj),Steps=0
    Style BallStick
    SaveScreenshot 'ligand','ligand'
    DelObj (ligandobj)
# And show the entire system again
ShowSystem

# Create the main tables with the now known number of columns
for i=1 to tables
    MakeTab (tabnamelist(i)),Dimensions=2,Columns=(tabcolslist(i))

# The data of the main table for the Y-axis can be found in columns 3+,
# column 1/2 contains the simulation time in [ps]/[ns]
ycolumn=3

# Set tabrowsmax
if tabrowsmax=='all'
    tabrowsmax=0

# Run the actual analysis
task='Tabulate'
i=00000+firstsnapshot
emin=1e99
last=0
while !last and snapshots!=0
    # Load next snapshot from SIM or XTC trajectory
    if format=='sim'
        # Set last to 1 if last snapshot loaded
        sim=FileSize (MacroTarget) (i+1).sim
        if not sim
            last=1
        LoadSim (MacroTarget) (i)
    else
        last=Load(format) (MacroTarget), (i+1)
    Sim Pause
    if central
        # Keep a chosen atom at the center of the cell (Cell returns center
        as values 7-9)
        _'_'_','_','_','_','cen()=Cell
        pos()=PosAtom (central)
        MoveAtom all,(cen-pos)
    # Add time in picoseconds and nanoseconds to table
    simtime=Time
    ShowMessage 'Analyzing snapshot (0+i) at (0+(simtime/1000)) ps'
    Wait 1
    for j=1 to tables
        SelectTab (tabnamelist(j))
        Tabulate (simtime/1000),(simtime/1000000)
    # Perform analysis inside cell

```

```

AnalyzeInsideCell
if count rdfsellist==4
    # Collect data for radial distribution function
    BinDistance (rdfsellist)
# Prepare to save the minimum energy structure (ignoring solvent-
solvent interactions)
e=EnergyObj Solute
# Stop simulation
Sim Off
if e<emin
    # Save minimum energy structure
    emin=e
    SaveSce (MacroTarget)_energymin(id)
    SavePDB Solute, (MacroTarget)_energymin(id)
if last
    # Save last structure
    SaveSce (MacroTarget)_last
    SavePDB Solute, (MacroTarget)_last
if pdbsaved
    # Save an entire trajectory of solute PDB files
    SavePDB Solute, (MacroTarget)_(i)
# Perform analysis outside cell
AnalyzeOutsideCell
# Add reference structure to the soup to perform RMSD calculations
etc.
AddObj SoluteRef
# Perform analysis outside cell, with reference structure present in
the soup
AnalyzeChange
# Superpose again and add the current atom positions to internal
table to obtain RMSF and average positions
SupAtom Element !H Obj Solute,Element !H Obj SoluteRef
AddPosAtom Obj Solute
if rmsdmin
    # Add all representative cluster members to the soup, refobj is
already present
    AddObj (join clusterobjlist) and not SoluteRef
    # Superpose the current structure on all representative cluster
members
    for j=1 to count clusterobjlist
        aarmsd = SupAtom Element !H Obj Solute,Element !H Obj
(clusterobjlist(j))
        if aarmsd<=rmsdmin
            break
        if aarmsd>rmsdmin
            # Found a new cluster member, add to list
            obj = DuplicateObj Solute
            members=count clusterobjlist+1
            clusterobjlist(members)=obj
            NameObj (obj),Cluster(members)
            # Store the snapshot number
            PropObj (obj),(i)
            # Remove cluster members from soup again
            RemoveObj (join clusterobjlist)
else
    # No cluster analysis, remove initial structure again
    RemoveObj SoluteRef
# Save last structure if last snapshot not already reached
if !last
    for j=2 to snapshotstep
        # Set last (last file) to 1 if last snapshot loaded

```

```

if format=='sim'
    sim=FileSize (MacroTarget) (i+j).sim
    if not sim
        LoadSim (MacroTarget) (i+j-1)
        last=1
    else
        # Set last (end of file) to 1 if last snapshot loaded
        last=Load(format) (MacroTarget), (i+j)
    if last
        # Save last structure
        Sim Off
        SaveSce (MacroTarget)_last
        SavePDB Solute, (MacroTarget)_last
        break
# Next snapshot
i=i+snapshotstep
if snapshots!='all'
    snapshots=snapshots-1
if i==firstsnapshot
    RaiseError "This macro is meant to analyze a molecular dynamics
trajectory created with md_run, but none was found in this directory"
snapshots=(-firstsnapshot+i)/snapshotstep

if rmsdmin
    # Save all cluster members
    if count block and block>1
        # Omit the refsnapshot except for the first block
        DelObj (clusterobjlist1)
        DelVar clusterobjlist1
    clustermembers=count clusterobjlist
    AddObj (join clusterobjlist)
    for j=1 to clustermembers
        # Get the snapshot number
        obj=clusterobjlist(j)
        snum=PropObj (obj)
        clusterfilenamelist(j)='(MacroTarget)_cluster(id)_zeroed
clustermembers+j)_snapshot(0+snum)'
        SaveYOb (obj), (clusterfilenamelist(j))
        DelObj (join clusterobjlist)

    # Decide if the timescale shown in plots and tables should be
    picoseconds or nanoseconds
    simtime=Time
    if simtime<1000000
        xcolumn=1
        plottimestring='picoseconds'
        tabtimestring='Time [ps]'
        simtime=0.00+simtime/1000
    else
        xcolumn=2
        plottimestring='nanoseconds'
        tabtimestring='Time [ns]'
        simtime=0.00+simtime/1000000

    # Calculate time-average structure
    AveragePosAtom Obj Solute
    # Set B-factors, the dummy assignment '_ =' ensures that B-factors are
    not printed
    _ = RMSFAtom Obj Solute, Unit=BFactor
    if bfactorscale!=1.0
        # Scale B-factors so that they fit into the PDB format

```

```

firstatm,lastatm=SpanAtom Obj Solute
for i=firstatm to lastatm
    bf=BFactorAtom (i)
    BFactorAtom (i),(bf*bfactorscale)
if refsnapshot!='average'
    # The time average structure has incorrect covalent geometry and
    should be energy minimized
    SavePDB Solute,(MacroTarget)_average(id)
# Additionally create an RMSF table, in case B-factors are too large
for the PDB format
MakeTab RMSF
firstatm,lastatm=SpanAtom Obj Solute
rmsflist()=RMSFAtom Obj Solute
for i=firstatm to lastatm
    res=ListAtom (i),Format="'ATOMNAME','RESNAME','RESNUM','MOLNAME'"
    Tabulate '(i)',(res),(rmsflist(i-firstatm+1))
SaveTab
RMSF,(MacroTarget)_rmsf(id),Format=Text,Columns=6,NumFormat=8.2f,"Table
of atomic Root Mean Square Fluctuations in [A]"

bound=Boundary
ycolumn=3
if !count introwritten
    introwritten=1
    # Make an info tab
    MakeTab Info,2,2
    # Tabulate info about proteins and nucleic acids
    infolist()='Protein molecules','Mol Protein','Protein residues','Res
    Protein','Protein atoms','Atom Protein',
    'Nucleic acid molecules','Mol NucAcid','Nucleic acid
    residues','Res NucAcid','Nucleic acid atoms','Atom NucAcid'
    for i=1 to count infolist step 2
        Tabulate '(infolist(i))'
        Tabulate Count(infolist(i+1))
        # Get list of unique residue names that are not part of the
        proteins,nucleic acids or the solvent
        resnamelist()=ListRes !Protein and !NucAcid and
        !Water,Format='RESNAME'
        if count resnamelist
            unilist()=resnamelist1
            for resname in resnamelist
                if resname not in unilist
                    unilist(count unilist+1)=resname
            # Remove residues with only one atom
            for resname in unilist
                # Get number of atoms
                residues=CountRes '(resname)'
                resid=ListRes '(resname)'
                resatoms=CountAtom Res (resid)
                if resatoms==1
                    # Single atom residue, get element
                    infoatomlist(count infoatomlist+1)=ListAtom
                    (resid),Format='Element ATOMELEMENT'
                    infoatomslist(count infoatomslist+1)=residues
                else
                    # Tabulate actual residues with number of atoms
                    Tabulate 'Residue (resname) with (resatoms) atoms',(residues)
            # Tabulate single atoms
            for i=1 to count infoatomlist
                Tabulate '(infoatomlist(i))',(infoatomslist(i))
            # Tabulate water residues

```

```

Tabulate 'Water residues'
Tabulate CountRes Water
# Tabulate total number of atoms
Tabulate 'Total number of atoms'
Tabulate (Atoms)

# Start the report
WriteReport Title,Filename=(MacroTarget)_report,Text='YASARA
Molecular Dynamics Trajectory Analysis for (basename MacroTarget)'
# Write about the system
WriteReport Heading,2,'About the simulation'
if not count block
    WriteReport Paragraph,
        'The trajectory `(MacroTarget)` has been analyzed with YASARA
version (Version) over a period of '
        '(simtime) (plottimestring) with (snapshots) snapshots and the
(fof) force field. Note that the MD '
        'simulation may have been run with a different force field, but
(fof) was used to calculate the '
        'energies in this report. To change this, edit the ForceField
setting at the start of this macro. '
else
    WriteReport Paragraph,
        'The trajectory has been analyzed with YASARA version (Version)
in blocks of (blocksnapshots) snapshots and the (fof) force field.'
    WriteReport Paragraph,
        'All plots and pictures in this report [like the simulated system
below] are (figurewidth) pixels wide, you '
        'can change the `figurewidth` variable in this macro as needed.'
# Include a screenshot of the simulated system
caption='A ray-traced picture of the simulated system. The simulation
cell boundary is set to (bound). '
        'Atoms that stick out of the simulation cell will '
if bound=='periodic'
    caption=caption+'be wrapped to the opposite side of the cell during
the simulation.'
else
    caption=caption+'not be included in the simulation.'
WriteReport
Image,Filename=(MacroTarget)_sim.png,Style=Figure,Caption=(caption),Delete=Yes
# Include table with system composition info
WriteReport Heading,3,'Composition of the system'
WriteReport Paragraph,'The components of the system are shown in the
table below. '
WriteReport Table,Info,'Composition of the simulated
system',.Of,InfoColumnName="Type",DataColumnName="Number"
# Show the solute
WriteReport Paragraph,
    'Object (soluteobj) with name `(solutename)` has been identified as
the solute and is shown below. '
    'If this is not the intended solute, please change the `soluteobj`'
variable in this macro. '
WriteReport
Image,Filename=(MacroTarget)_solute.png,Style=Figure,Caption='The
solute oriented along the major axes.',Delete=Yes
if ligandsel!=''
    ligandresidues=CountRes (ligandsel)
    ligandatoms=CountAtom (ligandsel)
    WriteReport Heading,3,'The ligand'
    WriteReport Paragraph,

```

```

'A special analysis has been performed for the ligand, chosen
(ligandreportstring) with the selection `(ligandsel)`.'
'The number of residues matching the ligand selection is
(ligandresidues), with (ligandatoms) atoms.'
'To change the ligand selection, edit the `ligandsel` variable at
the beginning of this macro.'
WriteReport Image,Filename=(MacroTarget)_ligand.png,Style=Figure,
Caption='A ray-traced picture of the ligand (ligandsel). Bonds
are colored by '
'their order: Gray = 1, blue = 1.25, magenta = 1.33, red
= 1.5, orange = 1.66, '
'bright orange = 1.75, yellow = 2, lime green = 2.5,
green = 3 and cyan = 4.',Delete=Yes
# Write about the analyses inside the simulation cell, with periodic
boundaries
WriteReport Heading,2,'Analyses inside the simulation cell'
WriteReport Paragraph,
'This section shows all analyses that have been performed inside the
simulation cell, '
'when all atoms share the common coordinate system of the simulation
cell. '
if bound=='periodic'
WriteReport Paragraph,
'Periodic boundaries are active and considered for distance
measurements. Calculations '
'that involve groups of atoms [center of mass, regression lines,
enclosing spheres..] '
'are ambiguous and should be placed in the next section, unless it
is known that the '
'atom group does not drift through a periodic boundary.'
# Write the data to the report
task='WriteReport'
Sim on
AnalyzeInsideCell
Sim off
# Write about the analyses outside the simulation cell, without
periodic boundaries
WriteReport Heading,2,'Analyses outside the simulation cell'
WriteReport Paragraph,
'The following section presents data gathered outside the simulation
cell, where each object '
'has its own local coordinate system and no periodic boundaries are
present. Calculations '
'that involve the interaction between objects [common surface areas,
contacts between objects..] '
'must be placed in the previous section.'
AnalyzeOutsideCell
# Write about the analyses done with respect to the reference structure
AddObj SoluteRef
if refsnapshot=='average'
text='Analyses performed with respect to the time average structure'
else
if !refsnapshot
text='Analyses performed with respect to the starting structure'
else
text='Analyses performed with respect to snapshot (refsnapshot)'
WriteReport Heading,2,'(text)'
WriteReport Paragraph,
'(text) are shown in this section.'
'These are also done outside the simulation cell, where each object
has its own local '

```

```

'coordinate systems and no periodic boundaries are present. To choose
another reference '
'snapshot than (refsnapshot), edit the `refsnapshot` variable at the
beginning of this macro.'
AnalyzeChange
RemoveObj SoluteRef
# Loop over the columns (except 1 and 2, the time) to calculate the
mean, minimum and maximum values
# and append them to the main table.
for func in 'Mean','Min','Max'
    SelectTab Main
    Tabulate " "
    Tabulate '(func)'
    for i=3 to tabcolslist1
        vallist()=Tab Main,Column=(i)
        Tabulate ((func) vallist)
    tabname='(MacroTarget)_analysis'
    for i=1 to tables
        if i>1
            tabname=tabname+'_(tabnamelist(i))'
        SaveTab
    (tabnamelist(i)),(tabname)(id),Format=Text,Columns=(tabcolslist(i)),Num
    Format=12.3f,(tabheaderlist(i))

# Special analysis functions
# =====
# Additionally calculate and plot the RMSF (Root Mean Square
Fluctuation) for every residue per molecule
# Lists of solute residues for RMSF calculations
rmsfreslist()=RMSFRes Obj Solute
residlist()=ListRes Obj Solute
resnumlist()=ListRes Obj Solute,'RESNUMWIC'
sel='Protein or NucAcid and Obj Solute'
# Lists of solute macro molecules for RMSF calculations
molnamelist()=ListMol (sel),Format='Mol MOLNAME'
molnametitlelist()=ListMol (sel),Format='MOLNAME'
mols=count molnamelist
# List of solute macro molecule (MM) residues for RMSF calculations
mmresidlist()=ListRes (sel)
mmresidues=count mmresidlist
if mmresidues
    mmrmsflist()=ShortList rmsfreslist,residlist,mmresidlist
    mmmolnamelist()=ListRes (sel),'Mol MOLNAME'
    mmresnumlist()=ListRes (sel),'RESNUMWIC'
    mmresnumlist()=0+mmresnumlist
    # Get min and max residue number
    minlist()=min mmresnumlist,0+resnummin
    maxlist()=max mmresnumlist,0+resnummax
    rmsfresnummin=max minlist
    rmsfresnummax=min maxlist
    # Make a table of solute macro molecule (MM) residues RMSFs
    MakeTab MMRMSF,2,(mols+1),(rmsfresnummax-rmsfresnummin+1)
    Tab MMRMSF,Set=0
    for i=rmsfresnummin to rmsfresnummax
        Tab MMRMSF,1,(i-rmsfresnummin+1),Set=(i)
    # Enter RMSF values
    for i=1 to mmresidues
        if mmresnumlist(i)>=rmsfresnummin and
        mmresnumlist(i)<=rmsfresnummax
            for j=1 to mols
                if mmmolnamelist(i)==molnamelist(j)

```

```

Tab MMRMSF, (1+j), (mmresnumlist(i)-
rmsfresnummin+1), Set=(mmrmsflist(i))

# Lists of solute HET residues for RMSF calculations
sel='!Protein !NucAcid !Water Obj Solute'
hetresinfolist()=ListRes (sel),"MOLNAME", 'RESName` `RESNUM', 'ATOMNUM'
hetresidues=count hetresinfolist
if hetresidues
  hetresidlist()=ListRes (sel)
  hetrmsflist()=ShortList rmsflist,residlist,hetresidlist
  # Make a table of solute HET residues RMSFs
  MakeTab HetRMSF,2,4
  for i=1 to hetresidues
    Tabulate (hetresinfolist(i)),(rmsfreslist(i))
if mmresidues or hetresidues
  WriteReport Heading,2,'Solute residue RMSF'
  WriteReport Paragraph,
    'The Root Mean Square Fluctuation [RMSF] per solute residue is
calculated from the average RMSF of its constituting atoms. '
    'The RMSF of atom i with j running from 1 to 3 for the x, y, and z
coordinate of the atom position vector P and '
    'k running over the set of N evaluated snapshots is given by
following formula:'
    WriteReport
Image,Filename=(YASARADir)/doc/RMSFAtomResMol1.png,Style=Center,Name="f
ormula_rmsf"
  if mmresidues
    WriteReport Paragraph,'Each graph in the following plot represents
one molecule, '
      'so that you can easily see differences
between molecules.'
      'Note: Residue numbers are not unique, so
graphs can overlap. '
    WriteReport Plot,'The Root Mean Square Fluctuation [vertical axis]
per solute protein/nucleic acid residue [horizontal axis] '
      'calculated from the average RMSF of the atoms
constituting the residue. '
      'A RMSF of exactly zero means that that residue
number is not present in the molecule. '
      'Atom RMSF table: "file://(basename
MacroTarget)_rmsf(id).tab"',
      MMRMSF,Width=(figurewidth),Height=480>Title='Solute
protein/nucleic acid residue RMSF',
      XColumn=1,YColumn=2,YColumns=(mols),XLabel='Residue
number',
      YLabel="RMSF in
Angstrom",LegendPos='Outside',Graphname=(molnamelist)
  if hiresplotted
    SavePlot
  Filename="LastReportPlot_hires",MMRMSF,Width=1600,Height=1200>Title='So
lute protein/nucleic acid residue RMSF',
      XColumn=1,YColumn=2,YColumns=(mols),XLabel='Residue
number',YLabel="RMSF in Angstrom",Graphname=(molnamelist)
  if mols>1
    # Additionally create per-molecule RMSF plots
    WriteReport Paragraph,'In case the plot above is too crowded, '
      'the per-residue RMSF values are shown
separately for all (mols) molecules in the following plots:'
    for i=1 to mols
      WriteReport Plot,'The Root Mean Square Fluctuation [vertical
axis] per solute protein/nucleic acid residue [horizontal axis] '

```

```

        'calculated from the average RMSF of the
atoms constituting the residue. '
        'A RMSF of exactly zero means that that
residue number is not present in the molecule. '
        'Atom RMSF table: "file://(basename
MacroTarget)_rmsf(id).tab"',
        MMRMSF,Width=(figurewidth),Height=480,
        Title='Solute protein/nucleic acid residue RMSF of
molecule (molnametitlelist(i))',
        XColumn=1,YColumn=(1+i),YColumns=1,XLabel='Residue
number',
        YLabel="RMSF in
Angstrom",LegendPos='Outside',Graphname=(molnamelist(i))
        if hiresplotted
            SavePlot
Filename="LastReportPlot_hires",MMRMSF,Width=1600,Height=1200,
        Title='Solute protein/nucleic acid residue RMSF of
molecule (molnametitlelist(i))',
        XColumn=1,YColumn=(1+i),YColumns=1,XLabel='Residue
number',YLabel="RMSF in Angstrom",Graphname=(molnamelist(i))
        if hetresidues
            WriteReport Table,HetRMSF,'RMSF in Angstrom for non-protein/nucleic
acid residues in the
solute.',InfoColumnName='Mol',DataColumnName='Residue','First
atom','RMSF[A]'

if count rdfsellist==4
    # Additionally calculate and include the radial distribution function
(RDF) in the report.
    rdflist()=RDF
    MakeTab RDF,2,2
    for i=1 to count rdflist
        Tabulate (rdfsellist4*i),(rdflist(i))
        SaveTab
    RDF,(MacroTarget)_rdf(id),Format=Text,Columns=2,NumFormat=6.3f,
        'Radial distribution function with parameters (rdfsellist) as
a function of the radial distance in A'
        # Write to report
        WriteReport Heading,2,'Radial Distribution Function'
        WriteReport Paragraph,
        'The Radial Distribution Function is calculated by first by
determining distances '
        'between all (rdfsellist1) - (rdfsellist2) pairs and sorting them
in (rdfsellist3) bins '
        'with a bin width of (rdfsellist4) A. The RDF is then computed with
the following formula:'
        WriteReport
Image,Filename=(YASARADir)/doc/RDF1.png,Style=Center,Name="formula_rdf"
        WriteReport Paragraph,
        'The RDF in bin `i` is thus calculated from the number of
`CountsInBin i` divided by `Atoms1` '
        '[the number of atoms matching the first selection (rdfsellist1)] times
the volume of the '
        'shell corresponding to bin i. To change the selection for the RDF
edit the variable "rdfsel" '
        'at the beginning of this macro.'
        WriteReport Plot,'Radial Distribution Function [vertical axis] for
(rdfsellist1) - (rdfsellist2) pairs '
        'as a function of the radial distance r in units of
A [horizontal axis] '

```

```

        'calculated from (rdfsellist3) bins with
(rdfsellist4) A bin width.'
        'A table with the raw data is available here:
"file://(basename MacroTarget)_rdf(id).tab",
        RDF,Width=(figurewidth),Height=480,Title='RDF for
(rdfsellist1) - (rdfsellist2) pairs',
        XColumn=1,YColumn=2,YColumns=1,XLabel='Radial distance r
in A',YLabel="RDF(r)",LegendPos='Outside',Graphname='RDF'
if hiresplotted
    SavePlot
Filename="LastReportPlot_hires",RDF,Width=1600,Height=1200,Title='RDF
for (rdfsellist1) - (rdfsellist2) pairs',
        XColumn=1,YColumn=2,YColumns=1,XLabel='Radial distance r
in A',YLabel="RDF(r)"

# IMPORTANT: This function must be the last. Place additional functions
above this point.
if dccmSel!=''
    # Additionally calculate and show the dynamic cross-correlation
matrix (DCCM).
    # This matrix correlates the displacements from the time average
structure,
    # see the documentation of the 'DCCM' command for details.
    # First get the number of selected units, i.e. the rows/columns in
the matrix
    if !dccmUnits
        WriteReport Heading,2,'Dynamic Cross-Correlation Matrix'
        WriteReport Paragraph,
        'The DCCM selection (dccmSel) did not match any atoms and
therefore the DCCM could not be calculated. '
        'You can change the selection by editing the `dccmSel` variable
at the beginning of the macro.'
    else
        # Take the time average structure as the start object to superpose
onto
        DelObj SoluteRef
        refObj=DuplicateObj Solute
        NameObj (refObj),SoluteRef
        RemoveObj SoluteRef
        # Loop over the snapshots a second time to calculate the
displacements from the time average
        i=00000+firstsnapshot
        last=0
        if count block
            snapshots=blocksnapshots
        while !last and snapshots!=0
            # Load next snapshot from SIM or XTC trajectory
            if format=='sim'
                # Set last (last file) to 1 if last snapshot loaded
                sim=FileSize (MacroTarget) (i+1).sim
                if not sim
                    last=1
                LoadSim (MacroTarget) (i)
            else
                last=Load(format) (MacroTarget), (i+1)
            Sim Pause
            ShowMessage 'Calculating dynamic cross-correlation matrix,
analyzing snapshot (0+i)...'
            Wait 1
            Sim Off
            # Superpose snapshot on the time average structure

```

```

AddObj SoluteRef
SupAtom (casel) and Obj Solute,(casel) and Obj SoluteRef
# Add the current displacements to an internal table to obtain
the DCCM
AddDisp(dccmsel) and Obj Solute,(dccmsel) and Obj SoluteRef
RemoveObj SoluteRef
# Check for last snapshot
if format!='sim' and !last
  for j=2 to snapshotstep
    last=Load(format) (MacroTarget), (i+j)
    if last
      break
  # Next snapshot
  if snapshots!='all'
    snapshots=snapshots-1
  i=i+snapshotstep
HideMessage
# Store the DCCM in a table named DCCM
MakeTab DCCM,Dimensions=2,Columns=(dccmunits)
Tabulate DCCM
# Visualize the DCCM
coordsys=CoordSys
pointwidth=1.
height=5.
dccmobj1>ShowTab DCCM,Width=(pointwidth),Range=(height),Min=-1,MinCol=(dccmcol(1)),Max=1.0,MaxCol=(dccmcol(2))
# By default, ShowTab shows the minimum at Z=0, move so that
correlation 0 is at Z=0
MoveMesh (dccmobj1),Z=(-height*0.5)
# Visualize the zero level with a flat DCCM wireframe
dccmobj2>ShowTab DCCM,Width=(pointwidth),Range=0,Min=-1,Max=1.0
dccmobj3>ShowWireObj (dccmobj2),Static,Mesh=Solid
DelObj (dccmobj2)
PointPar Radius=0.5,Plastic=No
NameObj (dccmobj3),ZeroLevel
ScaleObj (dccmobj1) (dccmobj3),X=(coordsys)
RotateObj (dccmobj1) (dccmobj3),X=180
# Create a text object with the residue names and the table header
textwidth=pointwidth*dccmunits*2
idlist()=List(dccmsel) and Obj Solute,Format='MOLNAME RESName
RESNUM'
if textwidth<4500
  textobj1=MakeTextObj Units,Width=(textwidth),Height=(textwidth)
  Font
  Arial,Height=(pointwidth*0.6),Color=Yellow,Depth=0.5,DepthCol=Red
  for i=1 to dccmunits
    PosText X=(textwidth*0.5+pointwidth*-0.5*(dccmunits+8)),
              Y=(textwidth*0.5+pointwidth*(0.5*dccmunits-
i)),justify=left
      Print (idlist(i))
    # Duplicate the labels at the bottom
    textobj2=DuplicateObj (textobj1)
    RotateObj (textobj2),Z=(90*coordsys)
  # Calculate the projected height of the DCCM and move it to a spot
  where it fits the screen exactly
  r=RadiusObj (dccmobj1)
  r=r+5
  s=PixToA*(ScrSizeY-50)*0.5/sqrt (r*r/2)
  PosObj all,Z=(EyeDis/s-EyeDis)
  DelObj not (dccmobj1) (dccmobj3) Units Solute
  if not count block

```

```

# Make a ray-traced picture of visualized DCCM
SwitchObj Solute,off
SwitchObj ZeroLevel,off
SaveScreenshot 'dccm1','DCCM'
SwitchObj Solute,on
SwitchObj ZeroLevel,on
# Save the matrix
SaveTab
DCCM,(MacroTarget)_dccm(id),Format=Text,Columns=(dccmunits),NumFormat=6
.3f,
'Dynamic Cross-Correlation Matrix for (dccmunits) selected
units'
# Save the matrix to be printed in the report
MakeTab DCCM2,Dimensions=2,Columns=(dccmunits+1)
# Top left corner
Tabulate "DCCM"
# Top row with all residue IDs
Tabulate List(dccmsel) and Obj Solute,Format='MOLNAME\n RESName\n
RESNUM'
# Fill the other rows
idlist()=List(dccmsel) and Obj
Solute,Format='MOLNAME`RESName`RESNUM'
for i=1 to dccmunits
# First the residue ID
Tabulate '(idlist(i))'
# Tabulate row i of table DCCM
Tabulate Tab DCCM,Row=(i)
# Then show ribbon and make sure DCCM atoms are visible so that
arrows
Style Ribbon
ShowAtom (dccmsel)
# Get a list of the first atom in each unit in dccmsel
idlist()=List(dccmsel) and Obj Solute
# Assign the DCCM to a list for quick access
dccmlist()=DCCM
# Show and style solute object
ShowSolute
Style Ribbon,Stick
HideRes Protein
Show(dccmsel)
# Show blue and red lines between strongly anti- and correlated
pairs
# If the selection consists of residues or molecules, the first
visible atom is selected for drawing arrows
for i=1 to dccmunits
atm1=ListAtom (idlist(i)) Visible
for j=1 to dccmunits
corr=dccmlist((i-1)*dccmunits+j)
if corr<-dccmcut
col='Blue'
elif corr>dccmcut
col='Red'
else
continue
atm2=ListAtom (idlist(j)) Visible
ShowArrow
Start=AtAtom, (atm1),End=AtAtom, (atm2),Radius=0.1,Heads=0,Color=(col)
if not count block
# Save the solute with arrows
SaveYOb Solute,(MacroTarget)_dccm
SaveScreenshot 'dccm2','motion correlations'

```

```

    SwitchAll On
    DelObj Solute
    # Save the visualized matrix
    NumberObj all
    PosObj all,Z=(EyeDis/s-EyeDis)
    SaveSce (MacroTarget)_dccm(id)
    # Write to report
    WriteReport Heading,2,'Dynamic Cross-Correlation Matrix'
    WriteReport Paragraph,
        'The dynamic cross-correlation matrix [DCCM] is a square matrix,
        whose rows and columns '
        'match the selected units `(dccmsel)`. To change this selection,
        edit the `dccmsel` variable '
        'at the beginning of this macro. The DCCM shows how the movements
        of all selected pairs correlate. '
        'The values in the DCCM range from -1 [perfectly anti-correlated]
        to +1 [perfectly correlated]. '
        'The values along the diagonal are always +1 [because the motion
        of an atom is perfectly correlated to itself]. '
        'The DCCM element for units i and j is obtained with the
        following formula: '
        Writereport
Image,Filename=(YASARADir)/doc/DCCM1.png,Style=Center,Name="formula_dcc
m"
        WriteReport Paragraph,
        'Here `d` is the displacement between the current position and
        the average position of the '
        'selected unit, and the angle brackets indicate the average over
        all samples. '
        'The highest correlations off the diagonal can often be found for
        bridged cysteines.'
        if not count block
            WriteReport Paragraph,'The image below shows the correlation
            directly in the solute object:'
            WriteReport Image,(MacroTarget)_dccm2.png,Style=Figure,
                'Blue and red lines are shown between strongly anti-
                and correlated pairs. '
                'To change the threshold value for the correlation
                lines edit the `dccmcut` variable at the beginning of this macro. '
                'To look at this structure interactively, open the
                file "file://(basename MacroTarget)_dccm.yob" in YASARA.',Delete=yes
            if not count block
                WriteReport Paragraph,
                    'In the image below, the DCCM is visualized with colors ranging
                    from '
                    '(dccmcol(1)) [-1, fully anti-correlated] to (dccmcol(2)) [+1,
                    fully correlated]. '
                    WriteReport Image,(MacroTarget)_dccm1.png,Style=Figure,
                        'Visualization of the dynamic cross-correlation matrix. Open
                        the file "file://(basename MacroTarget)_dccm.sce" in YASARA '
                        'to look at this matrix visualization interactively. '
                        'In the scene file, the zero level [0, not correlated] is
                        indicated with a wire-frame grid. ',Delete=Yes
                    captiontext='Dynamic cross-correlation matrix. '
                    'The full table is also available in text format, you
                    need a proper text editor '
                    'without line wrapping to look at this file:
"file://(basename MacroTarget)_dccm(id).tab". '
                    if tabrowsmax
                        captiontext=captiontext+'Note: At most (tabrowsmax) rows of the
                        DCCM are shown above. '

```

```

        'Change the `tabrowsmax` variable in the
macro to adjust this number. '
    WriteReport Table,DCCM2,'(captiontext)',RowsMax=(tabrowsmax)

# Additional files block
Writereport Heading,2,'Additional files'
WriteReport Paragraph,'The following additional files have been
created:'
Writereport Heading,3,'The main data table'
WriteReport Paragraph,
    'The main table contains all collected data in a single file. The
column names match the '
    'names used above for graphs in plots and columns in tables. You can
find a more detailed '
    'explanation of this table in the user manual at Recipes > Run a
molecular dynamics simulation > '
    'Analyzing a trajectory. If you parse this file automatically, keep
in mind that the number of '
    'columns can change any time, so you have to use the names in the
first table row to find the '
    'columns of interest: "file://(basename
MacroTarget)_analysis(id).tab"'
if (tables>1)
    Writereport Heading,3,'Extra data tables'
    WriteReport Paragraph,'User defined extra data tables:'
    for i=2 to tables
        WriteReport Paragraph,'"file://(basename
MacroTarget)_analysis_(tabnamelist(i))(id).tab"'
if (plotrestabs>1)
    Writereport Heading,3,'Per-residue data tables'
    WriteReport Paragraph,'Data of the per-residue plots:'
    for i=1 to plotrestabs
        WriteReport Paragraph,'"file://(basename plotrestablist(i)).tab"'
Writereport Heading,3,'The structures'
paragraphtext=''
if count block
    paragraphtext=' of the current block'
WriteReport Paragraph,
    'The `time averaged structure` (paragraphtext) in PDB format:
"file://(basename MacroTarget)_average(id).pdb"'
WriteReport Paragraph,
    'The `snapshot with the minimum solute energy`. Either just the
solute in PDB format '
    '"file://(basename MacroTarget)_energymin(id).pdb", or the complete
system including '
    'solvent as a YASARA scene "file://(basename
MacroTarget)_energymin(id).sce".'
if last
    WriteReport Paragraph,
        'The `last snapshot` of the simulation. Either just the solute in
PDB format '
        '"file://(basename MacroTarget)_last.pdb", or the complete system
including solvent '
        'as a YASARA scene "file://(basename MacroTarget)_last.sce"'
if rmsdmin
    WriteReport Paragraph,'One `representative structure for each
cluster` in YOb format:'
    for i=1 to clustermembers
        WriteReport Paragraph,'"file://(basename
clusterfilenamelist(i)).yob"'
Writereport Heading,3,'The RMSF table'

```

```

WriteReport Paragraph,
  'A table that lists the Root Mean Square Fluctuations [RMSFs] of all
  atoms in [Å] is available '
  'here: "file://(basename MacroTarget)_rmsf(id).tab". The RMSFs have
  also been converted '
  'to B-factors and stored in the B-factor field of the time-average
  structure above. '
if hiresplotted and (last or not count block)
  Writereport Heading,3,'High resolution plots'
  WriteReport Paragraph,
    'To facilitate publication, high resolution versions of the plots
  above have been '
    'created with a 4:3 aspect ratio suited for printing in a single
  column of a typical '
    'journal article. Just look at the figure number above to find the
  right file:'
  for i=1 to 9999
    size=FileSize (MacroTarget)_report_figure(i)_hires.png
    if size
      WriteReport Paragraph,'"file://(basename
MacroTarget)_report_figure(i)_hires.png"'

if last or not count block
  # End report
  WriteReport End
  HideMessage
  if runWithMacro and ConsoleMode
    # Exit YASARA if this macro was provided as command line argument
    in console mode
    Exit
  elif not ConsoleMode
    # Open report in browser if this macro was not run in console mode
    ShowURL file://(MacroTarget)_report.html

# ADD A PLOT OR TABLE TO THE HTML REPORT
# =====
# 'valuelist' is either a list of values to plot or tabulate, or a
command to run that returns such a list of values
# 'title' is the title of the plot or table
# 'ylabel' is the label of the Y-axis
# 'graphnamestr'/'datacolumnstr' is a string with the names of the
graphs/columns to create in the plot/table, joined with ' '
# 'task' is a global variable that tells us what to do: 'Tabulate' to
collect data, 'AddHeader'
# to add the graph/column names to global variable 'header', and
'WriteReport' to write the actual report
# (in the latter case the global variable 'ycolumn' is the starting
column to plot or tabulate).
def Plot valuelist(),title,ylabel,graphnamestr
  ShowData 'Plot',valuelist,title,ylabel,graphnamestr

def WriteTable valuelist(),title,datacolumnstr
  ShowData 'Main',valuelist,title,"None",datacolumnstr

def WriteExtraTable tablename,valuelist(),datacolumnstr
  ShowData tablename,valuelist,"None","None",datacolumnstr

def ShowData resulttype,valuelist(),title,ylabel,graphnamestr
  global
  task,hiresplotted,header,xcolumn,ycolumn,plottimestring,tabtimestring,f

```

```

igurewidth,tabrowsmax,snapshots,tabnamelist,tabheaderlist,tabcolslist,t
ables,id
graphsmax=30
graphcolorlist()=''
command=''
if type valuelist1=='StrongString'
# User provided a command to run
if count valuelist!=1
    RaiseError 'When plotting the output of a YASARA command as
"(title)", exactly one command must be provided, not (count valuelist)'
    # Set graph color for secondary structure content plot
    if task=='WriteReport' and valuelist1=="SecStr"

secstrnamelist()='Helix','Sheet','Turn','Coil','Helix310','HelixPi'
for i=1 to count secstrnamelist
    graphcolorlist(i)=ColorPar SecStr,(secstrnamelist(i))
# Run the command and collect the output as 'valuelist'
command=''+valuelist1
valuelist()=(command)
values=count valuelist
# Check if valuelist is empty
if !values
    RaiseError 'The list of values for (resulttype) "(title)" is empty.
Please check the selection'
if values>graphsmax and resulttype=='Plot'
    RaiseError 'Plot "(title)" has (values) graphs. The maximum allowed
number of graphs per plot is (graphsmax)'
# Check the graph names
graphnamelist()=split graphnamestr
graphnames=count graphnamelist
if values<graphnames
    # Too many graphnames, delete them
    for i=graphnames to values+1 step -1
        DelVar graphnamelist(i)
elif graphnamelist(graphnames)=='Auto'
    # Automatic naming, add graph names if necessary
    for i=graphnames to values
        graphnamelist(i)='Graph(i)'
elif values>graphnames
    if resulttype=='Plot'
        valuename='graph'
    else
        valuename='data column'
    RaiseError 'You tried to add (values) (valuename)s to the
(resulttype) "(title)", but provided only (graphnames) (valuename)
names "(graphnamestr)". '
        'Choose "Auto" as the last or only one (valuename) name
for automatic naming'
# Check which task to perform
if task=='Tabulate'
    SelectTab Main
    if resulttype!='Plot' and resulttype!='Main'
        SelectTab '(resulttype)'
    for i=1 to count valuelist
        # A WeakString can contain commas so it must be protected with
quotes
        if type valuelist(i)=='WeakString'
            Tabulate '(valuelist(i))'
        else
            Tabulate (valuelist(i))
elif task=='AddHeader'

```

```

# Add graph names to table header strings, which will be the first
line of the saved tables
table=1
if !tables or (resulttype!='Plot' and resulttype!='Main')
    tables=tables+1
    table=tables
    tabnamelist(table)=resulttype
    if resulttype=='Plot'
        tabnamelist(table)='Main'
    tabcolslist(table)=2
    tabheaderlist(table)='____Time[ps]____Time[ns]'
for i=1 to values
    graphname=graphnamelist(i)
    graphnamelen=strlen graphname
    if graphnamelen>12
        RaiseError 'Graph or table column name "(graphname)" is
(graphnamelen) characters long, but at most 12 characters are allowed'
        tabheaderlist(table)=tabheaderlist(table)+'_'* (13-
graphnamelen)+graphname
    tabcolslist(table)=tabcolslist(table)+values
elif task=='WriteReport' and (resulttype=='Plot' or
resulttype=='Main')
    # Write the actual report
    WriteReport Heading,3,'(title)'
    charlist()=crack graphnamelist1
    if ' ' not in charlist and '.' not in charlist
        global (graphnamelist1)Text
        if isfunction Print(graphnamelist1)Info
            # Macro contains a function that writes infos to the report
            Print(graphnamelist1)Info
        elif count (graphnamelist1)Text
            # Macro contains a variable with infos to write
            WriteReport Paragraph,'((graphnamelist1)Text)'
    if resulttype=='Plot'
        # Create plot
        caption=title+' [vertical axis] as a function of simulation time
[horizontal axis]'
        if command!=''
            caption=caption+', obtained with the command "(command)"'
            caption=caption+'.'
        # Check if one graph covers another or graph is all zero
        if values>1
            text=''
            textlist()=' Graph','', graph',' graph',' and graph',' has','
have'
            idx=0
            # First, check if there are all zero graphs
            for i=1 to values
                # Initilaize donelist for the covering graph part
                donelist(i)=0
                # Get all values of one column
                columnlist()=Tab Main,(ycolumn+i-1)
                # Add sum of all values to sumlist
                sumlist(i)=Sum columnlist
                if !sumlist(i)
                    # If the sum of all values is zero then we asume that all
values are zero
                    if idx<2
                        idx=idx+1
                    # Add text
                    text=text+textlist(idx)+` (graphnamelist(i))`'

```

```

if idx
    # Add ending text
    text=text+textlist(idx+4)+' all zero values.'
# Second, check if one graph covers another
idx=0
for i=values to 2 step -1
    if !donelist(i)
        # Check if graph covers another only if that graph itself is
not covered and already flaged in donelist
        for j=i-1 to 1 step -1
            if sumlist(j)==sumlist(i) and !donelist(j)
                # If the sum of all values between two graphs is equal
we assume that the graphs are identical
                donelist(j)=1
                if idx<2
                    # Add starting text
                    text=text+textlist(idx+1)+` (graphnamelist(i))`'
completely covers '
                idx=3
                # Add text for every graph that is covered
                text=text+textlist(idx)+` (graphnamelist(j))`'
                idx=4
                if idx
                    # Reset index
                    idx=1
                if idx
                    # Add ending text
                    text=text+', they share the same values.'
if text!=''
    # Add text to caption
    caption=caption+' Note:' +text
if graphnamelist1=='TotalEnergy' and snapshots>1
    tempval1=Tab Main,(ycolumn),1
    tempval2=Tab Main,(ycolumn),2
    if tempval1<tempval2
        caption=caption+' Note: The first value of the plot
[(0.00+tempval1)], coming from the energy minimized starting structure,
'
        'has been replaced with the second value of
the plot [(0.00+tempval2)] to show this plot with a smaller energy
range '
        'and thus a higher resolution. '
        Tab Main,(ycolumn),1,Set=(tempval2)
WriteReport
Plot,Caption='(caption)',Main,Width=(figurewidth),Height=480>Title='(title)',
XColumn=(xcolumn),YColumn=(ycolumn),YColumns=(values),XLabel='Simulation
time in (plottimestring)',

YLabel=(ylabel),LegendPos='Outside',Graphname=(graphnamelist),Graphcol=
(graphcolorlist)
    if hiresplotted
        SavePlot
Filename="LastReportPlot_hires",Main,Width=1600,Height=1200>Title='(tit
le)',

XColumn=(xcolumn),YColumn=(ycolumn),YColumns=(values),XLabel='Simulation
time in (plottimestring)',

YLabel=(ylabel),Graphname=(graphnamelist),Graphcol=(graphcolorlist)

```

```

if graphnamelist1=='TotalEnergy' and snapshots>1
    Tab Main,(ycolumn),1,Set=(tempval1)
else
    # Create table
    caption=title+' as a function of simulation time [first column]'
    if command!=''
        caption=caption+', obtained with the command "(command)"'
        caption=caption+'.'
        if tabrowsmax
            caption=caption+' Note: At most (tabrowsmax) table rows are
shown. '
            'Change the `tabrowsmax` variable in the macro
to adjust the number of shown table rows.'
            'The full table can be found in
"file:///(basename MacroTarget)_analysis(id).tab".'
        WriteReport
Table,Main,Caption='(caption)',NumFormat=.2f,RowsMax=(tabrowsmax),
InfoColumn=(xcolumn),DataColumn=(ycolumn),DataColumns=(values),
InfoColumnName='(tabtimestring)',DataColumnName=(graphnamelist)
ycolumn=ycolumn+values

# PLOT A RESIDUE/TIME HEATMAP
# =====
# A heatmap plot with time as X- and residue number as Y-coordinate
will be added to the report and saved to disk.
def PlotRes
name,reslist(),valuelist(),valmin,valmax,title,graphnamestr,graphcolstr
    global
task,figurewidth,hiresplotted,plottimestring,simtime,xcolumn,plotrestab
s,plotrestablist(),(name)Text,id

    resnumlist()=ListRes (join reslist),RESNUMWIC
    mollist()=ListMol (join reslist)
    start=1
    for i=1 to count mollist
        residues=CountRes (mollist(i)) (join reslist)
        if residues
            if task=='AddHeader'
                # Create tables
                MakeTab (name)Mol(i),2,(residues+2)
                Tabulate "Time_ps","ns\ResNum"
                # Tabulate the residue numbers
                for j=start to start+residues-1
                    Tabulate (resnumlist(j))
                    start=start+residues
            elif task=='Tabulate'
                # Tabulate data
                SelectTab (name)Mol(i)
                Tabulate (simtime/1000),(simtime/1000000)
                # Tabulate values
                for j=start to (start+residues-1)
                    Tabulate (valuelist(j))
                    start=start+residues
                SelectTab Main
            elif task=='WriteReport'
                if i==1
                    # Write text to report only once
                    WriteReport Heading,3,'(title)'
                    if isfunction Print(name)Info

```

```

# Macro contains a function that writes infos to the report
Print(name) Info
elseif count (name) Text
    # Macro contains a variable with infos to write
    WriteReport Paragraph,'((name)Text)'
# Save tab with original values
molname=ListMol (mollist(i)),Format='MOLNAME'
multitle='(title) of molecule (molname)'
plotrestabs=plotrestabs+1

plotrestablist(plotrestabs)='(MacroTarget)_plotres_(name)Mol(molname)(id)'
    SaveTab
(name)Mol(i), (plotrestablist(plotrestabs)),NumFormat=9.0f, (multitle)
graphnamelist()=split graphnamestr
if (count graphnamelist==2 and graphnamelist1=='Min' and
graphnamelist2=='Max')
    graphnamelist1='Min (valmin)'
    graphnamelist2='Max (valmax)'
else
    # For the plot, cap values with valmin and valmax, shift all
values so they start with 1
    used=0
    cap()='', ''
    shift=1-valmin
    tablist()=Tab (name)Mol(i)
    cols=residues+2
    rows=count tablist/cols
    for j=2 to rows
        for k=3 to cols
            idx=(j-1)*cols+k
            if tablist(idx)<valmin
                tablist(idx)=valmin
                cap1='<='
            elif tablist(idx)>valmax
                tablist(idx)=valmax
                cap2='>='
            tablist(idx)=tablist(idx)+shift
            if tablist(idx)>1
                used=1
    # Update table if there has been any change
    if cap1!=' ' or cap2!=' ' or shift
        DelTab (name)Mol(i)
        MakeTab (name)Mol(i),2,(cols)
        tablist1=""+'(tablist1)'
        tablist2=""+'(tablist2)'
        Tabulate (tablist)
    # Generate legend if none provided
    if graphnamestr==' '
        vals=valmax-valmin+1
        graphnamelist1='(cap1) (valmin)'
        for j=2 to vals-1
            graphnamelist(j)='(j+valmin-1)'
            graphnamelist(vals)='(cap2) (valmax)'
    if used
        # Make a plot for each molecule
        WriteReport Plot,'(title) as a function of simulation time
[horizontal axis] for each residue number [vertical axis]. '
                    'A table with the raw data is available
here: "file://(basename plotrestablist(plotrestabs)).tab"',

```

```

(name)Mol(i),Width=(figurewidth),Height=480,Title=(molttitle),Type=Heatmap,
ap,
XColumn=(xcolumn),YColumn=3,YColumns=(residues),XLabel='Simulation time
in (plottimestring)',YLabel='Residue
number',LegendPos='Outside',Graphname=(graphnamelist),Graphcol=(split
graphcolstr)
if hiresplotted
    SavePlot
Filename="LastReportPlot_hires", (name)Mol(i),Width=1600,Height=1200,Tit
le=(molttitle),Type=Heatmap,
XColumn=(xcolumn),YColumn=3,YColumns=(residues),XLabel='Simulation time
in (plottimestring)',YLabel='Residue
number',Graphname=(graphnamelist),Graphcol=(split graphcolstr)

# SHOW THE ENTIRE SIMULATED SYSTEM
# =====
def ShowSystem
    global ligandsel
    SwitchAll On
    alpha,beta,gamma = OriObj SimCell
    RotateAll Y=(-beta)
    RotateAll Z=(-gamma)
    RotateAll X=(-alpha)
    Style BallStick
    Style Ribbon,Stick
    ColorBonds Order
    if ligandsel!=''
        BallRes (ligandsel)
    ZoomAll Steps=0

# SHOW THE SOLUTE OBJECT
# =====
def ShowSolute
    global ligandsel
    # Show only the solute and orient along the major axes
    SwitchAll Off
    SwitchObj Solute,On
    NiceOriObj Solute
    # First show hetgroups as balls&sticks, but ions and the ligand as
    balls
    Style BallStick
    BallAtom all with 0 bonds to all
    if ligandsel!=''
        BallRes (ligandsel)
        # Make sure that the ligand faces to the front
        CenterObj Solute
        TransformObj Solute
        _,_,cenz = GroupCenter (ligandsel) Obj Solute
        if cenz>0
            RotateObj Solute,Y=180
    ZoomObj Solute,Steps=0

# SAVE A RAY-TRACED SCREENSHOT
# =====
def SaveScreenshot fileid,description
    global figurewidth,MacroTarget

```

```
ShowMessage 'Creating ray-traced picture of the (description)...'  
Wait 1  
RayTrace  
Filename=(MacroTarget)_(fileid).png,X=(figurewidth),Zoom=1,LabelShadow=  
No,Display=Off,Outline=0,Background=On  
  
# SHORTEN A LIST  
# =====  
# Returns a list with those items in longdatalist, whose corresponding  
item in longidlist is in shortidlist.  
# longdatalist and longidlist must have the same length, all items in  
shortidlist must be in longidlist and in the same order.  
def ShortList longdatalist(),longidlist(),shortidlist()  
    ids=count longidlist  
    idx=1  
    for i=1 to count shortidlist  
        while longidlist(idx) !=shortidlist(i)  
            idx=idx+1  
        shortdatalist(i)=longdatalist(idx)  
    return (shortdatalist)
```





**Lampiran 5. Risk Assesment**

**LEMBAR IDENTIFIKASI BAHAYA DAN PENILAIAN  
RESIKO KEGIATAN PENELITIAN MAHASISWA**

PROGRAM STUDI KIMIA FAKULTAS SAINS DAN TEKNOLOGI UIN MAULANA MALIK IBRAHIM MALANG		IDENTIFIKASI BAHAYA DAN PENILAIAN RESIKO		PENELITIAN		
				JUMLAH HALAMAN: 3		
No	Tahapan Kerja Penelitian	Potensi Bahaya	Upaya Pengendalian	Level Resiko (R)	Peluang (P)	Tingkat Bahaya (R x P)
1	Inisiasi					
	1 Dibuat topologi menggunakan YASARA dengan menggunakan medan AMBER14	-	-	0	0	0
	2 Dibuat box berbentuk <i>cubic</i> dengan jarak 10A dari tepi menggunakan perintah editconf	-	-	0	0	0
	3 Ditambahkan pelarut berupa air model TIP3P	-	-	0	0	0
	4 Ditambahkan ion Na <sup>+</sup> dan Cl <sup>-</sup> menggunakan parameter <i>ions.mdp</i> dengan perintah genion	-	-	0	0	0
	5 Dilakukan minimalisasi energi menggunakan parameter <i>minim.mdp</i> kemudian running	-	-	0	0	0
2	Ekuilibrasi					
	1 Dilakukan ekuilibrasi tahap pertama menggunakan parameter <i>nvt.mdp</i> dengan suhu 310°C	-	-	0	0	0

	2	Dilakukan ekuilibrasi tahap kedua menggunakan parameter <i>npt.mdp</i> selama 2ns	-	-	-	0	0	0
3	Produksi							
	1	Dilakukan <i>running</i> menggunakan parameter <i>md.mdp</i> selama 100 ns	-	-	-	0	0	0
4	Visualisasi Hasil Simulasi							
	1	Disiapkan hasil produksi menggunakan Gromacs dengan perintah <i>trjconv</i>	-	-	-	0	0	0
	2	Dilakukan visualisasi hasil produksi menggunakan VMD	-	-	-	0	0	0
5	Analisis							
	1	Dilakukan analisis RMSD menggunakan Gromacs dengan perintah <i>rms</i>	-	-	-	0	0	0
	2	Dilakukan analisis RMSf menggunakan Gromacs dengan perintah <i>rmf</i>	-	-	-	0	0	0
	3	Dilakukan analisis RDF menggunakan Gromacs dengan perintah <i>rdf</i>	-	-	-	0	0	0

Keterangan					
<b>RESIKO</b> - merupakan suatu nilai yang ditetapkan untuk menentukan suatu tingkatan dampak/akibat berdasarkan keparahan yang disebabkan oleh kecelakaan kerja			<b>PELUANG</b> - merupakan suatu nilai yang ditetapkan untuk menentukan tingkat frekuensi terhadap kejadian kecelakaan kerja		
Level 1 : Tidak ada cedera, kerugian biaya rendah, kerusakan peralatan ringan			Level 1 : Hampir tidak pernah terjadi		
Level 2 : Cedera ringan (hanya membutuhkan P3K), peralatan rusak ringan			Level 2 : Frekuensi kejadian jarang terjadi waktu tahunan		
Level 3 : Menyebabkan cidera yang memerlukan perawatan medis ke rumah sakit, peralatan rusak sedang			Level 3 : Frekuensi kejadian sedang dalam waktu bulanan		
Level 4 : Menyebabkan cidera yang menyebabkan cacatnya anggota tubuh permanen, peralatan rusak berat			Level 4 : Hampir 100 % terjadi kejadian tersebut		
Level 5 : Menyebabkan korban jiwa (kematian), peralatan rusak berat			Level 5 : 100 % kejadian pasti terjadi		
<b>TINGKAT BAHAYA</b> - merupakan hasil perkalian dari Resiko (R) dan Peluang (P) sebagai tetapan tingkat bahaya dari suatu pekerjaan yang dilakukan					
SKOR 1-4 Rendah		Masih dapat ditoleransi			
5-10 Sedang		Dikendalikan sampai batas toleransi			
11-25 Tinggi		Pemantauan intensif dan pengendalian			
	Disusun oleh :	Telah diperiksa oleh:		Telah disetujui oleh:	
	Mahasiswa Peneliti	Pembimbing I	Pembimbing II	Ketua Program Studi	
Tanggal	26 Juni 2025	26 Juni 2025	26 Junii 2025	26 Juni 2025	
Tanda Tangan					
Nama	Hany'atul Mufliah	Himmatul Barroroh M.Si	Oky Bagas Prasetyo, M.Pd.I	Rachmawati Ningsih, M.Si	
NIM/NIP	200603110100	NIP. 19750730 200312 2 001	NIP. 19890113 202321 1 028	NIP. 19810811 200801 2 010	